

П-168

АЗЭРБАЙЧАН ССР ЕЛМЛЭР АКАДЕМИЈАСЫ
АКАДЕМИЯ НАУК АЗЕРБАЙДЖАНСКОЙ ССР

МЭРҮҮЗЛЭР ДОКЛАДЫ

ТОМ XXX ЧИЛД

2

„ЕЛМ“ НЭШРИЈАТЫ
ИЗДАТЕЛЬСТВО „ЭЛМ“
БАКЫ—1974—БАКУ

МҮЭЛЛИФЛӘР ҮЧҮН ГАЈДАЛАР

1. «Азәрбайчан ССР Елмләр Академијасынын Мә'рүзәләри»ндә нәзәри вә тәчрүби әһәмијәттө малик елми-тәдгигатларын тамамланыш вә һөлә дәрч едилмәмиш нәтичәләри һагында гыса мә'лumatлар чап олуңур.

«Мә'рүзәләр»дә механики сурәтдә бир нечә айры-айры мә'лumatлар шәклини салыныш ири һәчмели мәгаләләр, јени фактики мә'лumatлардан мөһи्रум мүбәнисе хактерли мәгаләләр, мүэjjән нәтижә вә үмүмиләндirmәлөсиз комәкчи тәчрүбәләрин тәсвириңдән ибәрт мәгаләләр, гејри-принципиал, тәсвири вә ичмал хактерли ишләр, төвсүйәдән ишлән методу принципија яени олмајан сырф методик мәгаләләр, набелә битки вә һөjnаныларын систематикасына даир (елм үчүн хүсуси әһәмијәттө малик тапынтыларын тәсвири истисна олмагла) мәгаләләр дәрч едилмир.

«Мә'рүзәләр»дә дәрч олуңан мәгаләләр һәмин мә'лumatларын даңа кепиш шәкилдә башга нәшрләрдә чап едилмәси учун мүэллифиң һүгүгуңу элиндән алмыр.

2. «Мә'рүзәләр»ни редакцијасына дахил олан мәгаләләр јалиыз иxticas үзрә бир ишфәр академик тәгдиматынан соңра редакција һөj'ети тәрәfinдән нәзәрдән кечирилләр. һөр бир академик илдә 5 әдәддән соң олмамаг шәртилә мәгаләләр тәгдим едә биләр.

Азәрбайчан ССР Елмләр Академијасынын мұхбир үзвләрләrin мәгаләләри тәгдиматын систематикасына даир (елм үчүн хүсуси әһәмијәттө малик тапынтыларын тәсвири истисна олмагла) мәгаләләр дәрч едилмир.

Редакција академикләрдән хәниш едир ки, мәгаләләри тәгдим едәркән онларын мүэллифләрдән алымасы тарихини, набелә мәгаләнин յөрләшиләчәји бөлмәнин адыны көстәрсилләр.

3. «Мә'рүзәләр»дә бир мүэллиф илдә 3 мәгалә дәрч етдиရа биләр.

4. «Мә'рүзәләр»дә шәкилләр дә дахил олмагла, мүэллиф вәрәгинин дөрддә бири-дән артыг олмајараг язы макинасында јазылыш 6—7 сөнифе һәчмийдә (10000 чап ишарәси) мәгаләләр дәрч едиллir.

5. Бүтүн мәгаләләрин иницијис дилиндә хұласәси олмалыдыр; бундан башга, Азәр-Сајчан дилиндә јазылан мәгаләләре рус дилиндә хұласә әлавә едилмәлидир. Рус дилиндә јазылан мәгаләләрин исә Азәрбайчан дилиндә хұласәси олмалыдыр.

6. Мәгаләләrin сонунда тәдгигат ишинин յөрине жетирилдији елми идарәнин ады вә мүэллифи телефон нөмрәси көстәрилмәлидир.

7. Елми идарәләрдә апарылан тәдгигат ишләринин нәтичәләринин дәрч олунимасы учун елми идарәнин директорлыгынун ичазәси олмалыдыр.

8. Мәгаләләр (хұласәләр дә дахил олмагла) вәрәгин бир үзүндә ики хәтт ара бурахылараг язы макинасында чап едилмәли вә ики нұхсә тәгдим едилмәлидир. Дүстүрләр дәгиг вә айдын јазылмалы, һәм дә бөյүк һәрфләрни алтындан, кичикләрни исә үстүндән (тарағәләммә) ики хәтт чәкилмәлидир; јунаи элифбасы һәрфләрни гырызыза ғәләмлә даңыраја алмаг лазымдыр.

9. Мәгаләда ситет кәтирилген әдәбијат сәhiфесин ахырында чыхыш шәклини дејил. Элифба гајдасы илә (мүэллифи фамилијасына көрә) мәгаләнин сонунда мәтидәки исәнад нөмрәси көстәрилмәкә үмуми сијаһы үзрә верилмәлидир. Әдәбијатын сијаһысы ашағыдаш шәкилдә тәртиб едилмәлидир:

а) китаблар учун: мүэллифи фамилијасы вә иницијалы, китабын бүтөв ады, чилдин нөмрәси, шәһер, иашријјат вә нәшр или;

б) мәчмуәләрдәкі (әсәрләрдәкі) мәгаләләр учун: мүэллифи фамилијасы вә иницијалы, мәгаләнин ады, мәчмуәнин (әсәрләрни) ады, чилд, бурахылыш, нәшр олуңдугујер, иашријјат, ил, сөнифе;

в) журнал мәгаләләри учун: мүэллифи фамилијасы вә иницијалы, мәгаләнин ады, журналын ады, ил, чилд, нөмрә (бурахылыш), сөнифе көстәрилмәлидир.

Дәрч едилмәмиш әсәрләрә (несабатлар вә елми идарәләрдә саҳланан диссертасијалар истисна олмагла) исәнад етмәк олмаз.

10. Шәкилләрни арха тәрәfinдә мүэллифи фамилијасы, мәгаләнин ады вә шәклини нөмрәси көстәрилмәлидир. Макинада јазылыш шәкилләттө сөзләр айрыча вәрәгдә тәгдим едиллir.

11. Мәгаләләрин мүэллифләри Унификасија олуимуш онимнилик тәснифат үзрә мәгаләләрин индексини көстәрмәли вә «Рефератив журнал» учун реферат әлавә етмәлидир-ләр.

12. Мүэллифләр чөдөлләрдә, график материалларда вә мәгаләнин мәтининдә бу ваја дикәр рәгемләрни тәкрап едилмәсии ѡол бермәмәлидирләр.

Мәгаләләрин һәчми кичик олдугу учун нәтичәләр јалиыз зәрури һалларда бериллir.

13. Ики вә ја даңа соң мәгалә тәгдим едилдикдә онларын дәрчедилмә ардычыллығыны да көстәрмәк лазымдыр.

14. Мәгаләләрин корректурасы, бир гајда олараг, мүэллифләре көндәрилмир. Корректура көндәрилдији тәгдирдә исә јалиыз мәтбәә сөһвләрни дүзәлтмәк олар.

15. Редакција мүэллиф пулсуз олараг мәгаләнин 15 нұхса айрыча оттискини верир.

МӘ'РҮЗӘЛӘР ДОКЛАДЫ

ТОМ XXX ЧИЛД

№ 2

РЕДАКЦИОННАЯ КОЛЛЕГИЯ:

Г. Б. Абдуллаев (главный редактор), Ш. А. Азизбеков,
 Г. А. Алиев, В. Р. Волобуев,
 А. И. Гусейнов, М. А. Дадашзаде (зам. главного редактора),
 М. А. Кашкай, А. С. Сумбатзаде, М. А. Топчибашев,
 Т. Н. Шахтахтинский, Г. Г. Зейналов (ответств. секретарь).

© Издательство „Э” им., 1974 г.

УДК 518

МАТЕМАТИКА

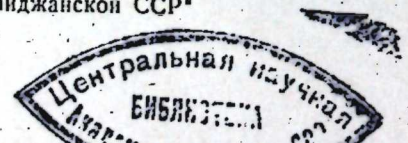
Н. Т. АББАСОВ
**ПРОСТРАНСТВА НАД АЛГЕБРАМИ С БИКВАЗИПРОСТЫМИ
 ФУНДАМЕНТАЛЬНЫМИ ГРУППАМИ**

(Представлено академиком АН Азербайджанской ССР З. И. Халиловым)

В работе определены биквазиэллиптические, биквазигиперболические и биквазисимплектические пространства над алгебрами, получаемые 2-кратным предельным переходом из неевклидовых и симплектических пространств над алгебрами [1]. Эти определенные пространства отличаются от квазиэллиптических, квазигиперболических [2, 3] и квазисимплектических [4] пространств тем, что в абсолютных плоскостях этих пространств эллиптическая, гиперболическая и симплектическая геометрия над алгебрами заменяются, соответственно, их квазиэллиптическими, квазигиперболическими и квазисимплектическими геометриями над теми же алгебрами. В этих пространствах определены метрические и симплектические инварианты точек, коллинеации, сохраняющие эти инварианты называются движениями, а коллинеации, сохраняющие абсолюты этих биквазиэллиптических и биквазигиперболических пространств или перестановочные с абсолютными нуль-системами биквазисимплектических пространств называются подобиями этих пространств.

Рассматриваются: биквазиэллиптические, биквазигиперболические, биквазисимплектические пространства над алгебрами альтернионов A_p [5] и антиальтернионов ${}^Q A_p$ [6], квазиэллиптические, квазигиперболические, квазисимплектические пространства над алгеброй квазиальтернионов A_p^Q [7] и проективные, эллиптические, гиперболические, симплектические пространства над алгеброй биквазиальтернионов $A_p^{Q,Q}$ [8], а также строятся интерпретации этих пространств; фундаментальные группы указанных пространств являются биквазипростыми группами Ли.

Строятся интерпретации биквазигиперболических пространств ${}^{I,I,I} \bar{S}_n^{m_0-1,m_1-1}(A_p)$, ${}^{I,I,I} \bar{S}_n^{m_0-1,m_1-1}({}^Q A_p)$ и биквазисимплектических пространств $\bar{S}p_n^{m_0-1,m_1-1}(A_p)$, $\bar{S}p_n^{m_0-1,m_1-1}({}^Q A_p)$ в виде многообразий эллиптических, эллиптических и гиперболических, симплектических плоскостей в вещественных, комплексных, двойных, кватернионных, дикватернионных, биквазиэллиптических, биквазигиперболических, биквазисимплектических пространствах. В частности, пространства ${}^{I,I,I} \bar{S}_n^{m_0-1,m_1-1}(A_p)$ и $\bar{S}p_n^{m_0-1,m_1-1}(A_p)$ допускают интерпретации в виде



многообразий $\left(2^{\frac{P-1}{2}} - 1\right)$ -мерных плоскостей пространства

$$2^{\frac{P-1}{2}} l_0, 2^{\frac{P-1}{2}} l_1, 2^{\frac{P-1}{2}} l_2, 2^{\frac{P-1}{2}} m_0-1, 2^{\frac{P-1}{2}} m_1-1, 2^{\frac{P-1}{2}} m_0-1, 2^{\frac{P-1}{2}} m_1-1, S_{\frac{P-1}{2}} \text{ и } Sp_{\frac{P-1}{2}},$$

$$2^{\frac{P-1}{2}} (n+1)-1 \quad 2^{\frac{P-1}{2}} (n+1)-1$$

$\left(2^{\frac{P-2}{2}} - 1\right)$ -мерных плоскостей пространств

$$2^{\frac{P-2}{2}} l_0, 2^{\frac{P-2}{2}} l_1, 2^{\frac{P-2}{2}} l_2, 2^{\frac{P-2}{2}} m_0-1, 2^{\frac{P-2}{2}} m_1-1, S_{\frac{P-2}{2}} (i),$$

$$2^{\frac{P-2}{2}} (n+1)-1$$

$$2^{\frac{P-2}{2}} l_0, 2^{\frac{P-2}{2}} l_1, 2^{\frac{P-2}{2}} l_2, 2^{\frac{P-2}{2}} m_0-1, 2^{\frac{P-2}{2}} m_1-1, S_{\frac{P-2}{2}} (e) \text{ и } Sp_{\frac{P-2}{2}} (i),$$

$$2^{\frac{P-2}{2}} (n+1)-1 \quad 2^{\frac{P-2}{2}} (n+1)-1$$

$$Sp_{\frac{P-2}{2}} (e);$$

$$2^{\frac{P-2}{2}} (n+1)-1$$

$\left(2^{\frac{P-3}{2}} - 1\right)$ -мерных плоскостей пространств

$$2^{\frac{P-3}{2}} l_0, 2^{\frac{P-3}{2}} l_1, 2^{\frac{P-3}{2}} l_2, 2^{\frac{P-3}{2}} m_0-1, 2^{\frac{P-3}{2}} m_1-1, S_{\frac{P-3}{2}} (i, j) \text{ и } Sp_{\frac{P-3}{2}} (i, j),$$

$$2^{\frac{P-3}{2}} (n+1)-1 \quad 2^{\frac{P-3}{2}} (n+1)-1$$

$\left(2^{\frac{P-4}{2}} - 1\right)$ -мерных плоскостей пространств

$$2^{\frac{P-4}{2}} l_0, 2^{\frac{P-4}{2}} l_1, 2^{\frac{P-4}{2}} l_2, 2^{\frac{P-4}{2}} m_0-1, 2^{\frac{P-4}{2}} m_1-1, S_{\frac{P-4}{2}} (i, j, E) \text{ и } Sp_{\frac{P-4}{2}} (i, j, E),$$

$$2^{\frac{P-4}{2}} (n+1)-1 \quad 2^{\frac{P-4}{2}} (n+1)-1$$

При этих интерпретациях фундаментальные группы соответственных пространств изоморфны. Строятся также интерпретации квазигиперболических пространств $\bar{S}_n^m (A_P^Q)$ и квазисимплектических пространств $Sp_n^m (A_P^Q)$ в виде многообразий эллиптических, эллиптических и гиперболических, симплектических, поляризованных, параболических, поляризованных квазисимплектических плоскостей в вещественных, комплексных, двойных, кватернионных, дикватернионных, дуальных, полукуватернионных, дуокватернионных, диполукватернионных квазиэллиптических, квазигиперболических, квазисимплектических, 3-квазигиперболических, 3-квазисимплектических пространствах. При этих интерпретациях фундаментальные группы соответственных пространств изоморфны.

Строятся интерпретации проективных пространств $P_n (A_P^{Q_0 Q_1})$ в виде многообразий $\left(2^{\frac{P-2}{2}} - 1\right)$ -мерных поляризованных параболических плоскостей пространства $P_{\frac{P-2}{2}} (n+1)-1 (e), \left(2^{\frac{P-3}{2}} - 1\right)$ -мерных плоскостей и поляризованных плоскостей пространств $P_{\frac{P-3}{2}} (n+1)-1 (e, \eta),$

$\left(2^{\frac{P-5}{2}} - 1\right)$ -мерных плоскостей и поляризованных параболических плоскостей пространств

$$P_{\frac{P-4}{2}} (n+1)-1 (i, \varepsilon), P_{\frac{P-4}{2}} (n+1)-1 (i, \varepsilon, \varepsilon),$$

$$P_{\frac{P-4}{2}} (n+1)-1 (i, \varepsilon, \varepsilon), P_{\frac{P-4}{2}} (n+1)-1 (i, \varepsilon, E),$$

$$P_{\frac{P-6}{2}} (n+1)-1 (i, j, \varepsilon), \left(2^{\frac{P-5}{2}} - 1\right)$$

$\left(2^{\frac{P-5}{2}} - 1\right)$ -мерных плоскостей пространств

$$P_{\frac{P-5}{2}} (n+1)-1 (i, \varepsilon, I, \varepsilon), P_{\frac{P-5}{2}} (n+1)-1 (\varepsilon, \eta, I, J).$$

При этих интерпретациях фундаментальные группы соответственных пространств изоморфны. Строятся также интерпретации гиперболических пространств $\bar{S}_n (A_P^{Q_0 Q_1})$ и симплектических пространств $Sp_n (A_P^{Q_0 Q_1})$ в виде многообразий плоскостей, поляризованных плоскостей, в комплексных, дуальных, полукуватернионных, дуокватернионных, диполукватернионных, дуополукватернионных, четвертькуватернионных, квадриполукватернионных, дуодуальных матриц 2-го порядка, кватерчетвертькуватернионных, евклидовых, симплектических, квазинеевклидовых, квазисимплектических, 3-квазигиперболических, 3-квазисимплектических пространствах. При этих интерпретациях фундаментальные группы соответственных пространств изоморфны.

ЛИТЕРАТУРА

- Джавадов М. А. Неевклидовы пространства над алгебрами. Уч. зап АГУ, № 4, Баку, 1957.
- Аббасов Н. Т. Вещественная интерпретация квазинеевклидов пространств над алгебрами альтернионов. Уч. зап. АГУ, 1972, № 6.
- Аббасов Н. Т. Интерпретация квазинеевклидов пространств над алгеброй антиальтернионов. Изв. АН Казах. ССР, серия физ.-матем. наук. 1973.
- Аббасов Н. Т. Квазисимплектические пространства над алгебрами альтернионов и антиальтернионов. Изв. АН Казах. ССР, серия физ.-матем. наук, № 3, 1973.
- Аббасов Н. Т. Группы движений эллиптических пространств над алгебрами альтернионов. Уч. зап. АГУ, № 4, Баку, 1967.
- Аббасов Н. Т. Структура алгебр антиальтернионов и основная инволюция в этих алгебрах. Уч. зап. АГУ, № 4, Баку, 1970.
- Аббасов Н. Т., Орловская Т. Р. Структура алгебр квазиальтернионов и основная инволюция в этих алгебрах. Изв. АН Азерб. ССР, серия физ.-техн. и матем. наук, 1971, № 2.
- Аббасов Н. Т., Колокольцева И. И. Биквазиростные алгебры, биквазиматрицы и спинорные представления биквазинеевклидовых движений. Изв. ВУЗов, Казань.

АГУ им. С. М. Кирова

Поступило 14. VI 1973

Н. Т. Аббасов

Чәбрләр үзәриндә биквазисадә фундаментал группу фәзлалар

ХҮЛАСӘ

Тәдгигатда чәбрләр үзәриндә биквази гејри-евклид вә биквази симплектик фәзлалар тә'җин олунараг, һәмин фәзлаларын интерпретасиялары гурулмушдур.

T. N. Abbasov

The spaces over the algebras with a be-quasi-simple fundamental group

SUMMARY

In this paper are determined be-quasi-non-Euclidean and be-quasi-symplectic spaces over the algebras and is building interpretation of this spaces too.

АЗЭРБАЙЧАН ССР ЕЛМЛЭР АКАДЕМИЯСЫНЫН МЭРҮЗЭЛЭРИ

ДОКЛАДЫ АКАДЕМИИ НАУК АЗЕРБАЙДЖАНСКОЙ ССР

ТОМ XXX

№ 2

1974

УДК 512. 83

МАТЕМАТИКА

А. И. ВАГАБОВ

ОБ ОБОБЩЕНИИ НЕРАВЕНСТВА АДАМАРА

(Представлено академиком АН Азербайджанской ССР А. И. Гусейновым)

Оценки М. К. Фаге [2] определителя Грамма, геометрический смысл которых заключается в том, что объем m -мерного гиперпараллелепипеда вполне естественным образом оценивается через объемы его граней k -го измерения, где $1 < k < m$ — любое, существенно дополняют неравенство Адамара и являются их обобщением.

В данной статье приводится оценка (6) определителя Грамма, восполняющая пробелы к указанным оценкам.

Рассмотрим в n -мерном евклидовом пространстве определитель Грамма:

$$G(x_1, x_2, \dots, x_m) = \begin{vmatrix} (x_1, x_1) & (x_1, x_2) & \cdots & (x_1, x_m) \\ (x_2, x_1) & (x_2, x_2) & \cdots & (x_2, x_m) \\ \vdots & \vdots & \ddots & \vdots \\ (x_m, x_1) & (x_m, x_2) & \cdots & (x_m, x_m) \end{vmatrix} \quad (1)$$

независимых векторов x_1, x_2, \dots, x_m .

Применяя к этим векторам процесс ортогонализации, придем к векторам y_1, y_2, \dots, y_m :

$$\begin{aligned} y_1 &= x_1 \\ y_2 &= x_2 - \frac{(x_2, y_1)}{(y_1, y_1)} y_1 \\ &\dots \\ y_{k+1} &= x_{k+1} - \frac{(x_{k+1}, y_1)}{(y_1, y_1)} y_1 - \dots - \frac{(x_{k+1}, y_k)}{(y_k, y_k)} y_k \\ &\dots \end{aligned} \quad (2)$$

Из формул (2) нетрудно заметить, что

$$G(x_1, x_2, \dots, x_m) \equiv G(y_1, y_2, \dots, y_m)$$

Учитывая ортогональность векторов игрек, имеем

$$G(x_1, x_2, \dots, x_m) = |y_1|^2 \cdot |y_2|^2 \cdots |y_m|^2 \quad (3)$$

Пусть $1 < k < m$. Указанный процесс ортогонализации применим в отдельности к системам x_1, \dots, x_k и x_{k+1}, \dots, x_m .

Очевидно, для первой системы полученная ортогональная система будет совпадать с первыми k векторами y_1, \dots, y_k формул (2). Для второй системы придем к векторам y_{k+1}, \dots, y_m :

$$y_{k+1} = x_{k+1}$$

$$\tilde{y}_{k+2} = x_{k+2} - \frac{(x_{k+2} \tilde{y}_{k+1})}{(\tilde{y}_{k+1} \tilde{y}_{k+1})} \tilde{y}_{k+1} \quad (4)$$

Из сравнения (2) и (4) можно заключить, что

$$|y_{k+1}| < |\tilde{y}_{k+1}|, |y_{k+2}| < |\tilde{y}_{k+2}|, \dots, |y_m| < |\tilde{y}_m|. \quad (5)$$

Первое неравенство совершенно очевидно. Для обоснования второго достаточно заметить, что y_{k+2} —остаток Фурье для x_{k+2} по системе y_1, \dots, y_{k+1} , а \tilde{y}_{k+2} определенный остаток по той же системе и т. д.

Согласно (3) имеем:

$$G(x_1, \dots, x_m) \cdot G(x_{k+1}, \dots, x_m) = |y_1|^2 \cdot |y_k|^2 \cdot |\tilde{y}_{k+1}|^2 \cdots |\tilde{y}_m|^2,$$

откуда учитывая (5) получим основную формулу:

$$G(x_1, \dots, x_m) \leq G(x_1, \dots, x_k) \cdot G(x_{k+1}, \dots, x_m) \quad (6)$$

Многократное применение (6) приводит к формуле Адамара и другим более общим.

ЛИТЕРАТУРА

1. Смирнов В. И. Курс высшей математики, т. III, ч. 1, 1958. 2. Фаге М. К. ДАН СССР, т. LIV, № 9, 1946.

Дагестанский государственный университет

Поступило 17. II 1971

А. И. Вагабов

Адамар бәрабәрсизлиги үмүмиләшdirмәси үзәк
ХУЛАСӘ

Мәгәләдә $G(x_1, x_2, \dots, x_m)$ Грамм детерминант үчүн

$$G(x_1, x_2, \dots, x_m) \leq G(x_1, x_2, \dots, x_k) \cdot G(x_{k+1}, \dots, x_m)$$

бәрабәрсизлиги исбат олунмушдур. Бу бәрабәрсизликдән Адамар бәрабәрсизлиги вә даңа үмүми аралыг бәрабәрсизликләри алыныр.

A. I. Vagabov

On a generalisation of Hadamard Inequality

SUMMARY

Let $G(x_1, x_2, \dots, x_m)$ of Gramm's determinant of vectors be x_1, \dots, x_m n -dimensional Euclidian space. Inequality is proved:

$$G(x_1, x_2, \dots, x_m) \leq G(x_1, \dots, x_k) \cdot G(x_{k+1}, \dots, x_m)$$

where $1 < k < m$. From this inequality follows series of different inequalities among which Hadamard's inequality is present. This inequality is complement to Fage's inequalities.

УДК 519. 1

МАТЕМАТИКА

С. Я. АГАКИШИЕВА

РАЗБИЕНИЕ МНОЖЕСТВА M НА КЛАССЫ МЕТОДОМ НАХОЖДЕНИЯ З-КОМПОНЕНТ ГРАФА L

(Представлено академиком АН Азербайджанской ССР А. И. Гусейновым.)

В настоящее время все чаще и чаще стали встречаться задачи, требующие решения вопроса оптимальной классификации. Нами предлагается алгоритм разбиения множества M на классы методом нахождения З-компонент графа L .

Пусть дано множество M , состоящее из n -элементов, каждый из которых определяется набором P вещественных параметров, причем двух элементов с одинаковым набором параметров быть не может. Иначе говоря, данному элементу соответствует n точек в p -мерном евклидовом пространстве. Известно, что множество M разбито на l классов: M_1, M_2, \dots, M_l , проверка принадлежности каждого элемента из M к определенному классу M_i ($i = 1, l$) возможна, но ввиду большого количества n , а также отсутствия общего критерия проверки, практически затруднительно. И только с m элементах множества M , где m значительно меньше n ($m \ll n$), известно, к каким классам они принадлежат.

Обозначим подмножество этих m элементов через P . Об элементах множества P также известно, что:

1. Любой элемент $x \in P$ принадлежит только одному подмножеству $\{M_i \cap P\}$ ($i = 1, l$).

2. Среди элементов множества P имеются элементы из всех подмножеств $\{M_i \cap P\}$ ($i = 1, l$). Следовательно, нам известно разбиение множества P на l классов:

$$M_1 \cap P, M_2 \cap P, \dots, M_l \cap P$$

Допустим, что для пар элементов $x = (x_1, x_2, \dots, x_p)$ и $y = (y_1, y_2, \dots, y_p)$ из P мы определим неотрицательную функцию $\rho(x, y)$ и вещественное число ρ_0 такие, что

$$\forall (x, y) \in P [x, y \in P \cap M_i \Rightarrow \rho(x, y) \leq \rho_0] \quad (i = 1, l)$$

Далее строим граф L следующим образом. Вершинами графа L являются элементы множества M . Две вершины z и t будем считать смежными, тогда и только тогда, когда выполняется условие $\rho(z, t) \leq \rho_0$.

В графе L находим все З-компоненты (определение см. [1]). Для этого используем алгоритм нахождения точек сочленения и компо-

нект связности, который предлагается нами в (2). Обозначим их через $M_1^1, M_2^1, \dots, M_l^1$. Далее строим множества $\tilde{M}_1, \tilde{M}_2, \dots, \tilde{M}_l$ следующим образом. Вначале отнесем к множеству $\{M_i\}$ ($i = \overline{1, l^1}$) все те вершины графа L , каждая из которых принадлежит только одной 3-компоненте M_i ($i = \overline{1, l^1}$). В силу построения графа L элементы всех множеств $\{M_i \cap P\}$ ($i = \overline{1, l^1}$) удовлетворяют этому условию, поэтому для любого i $M_i \cap P \subset M_i$ ($i = \overline{1, l^1}$). Следовательно, все множества $\{\tilde{M}_i\}$ ($i = \overline{1, l^1}$) не пусты. Далее, если вершина x принадлежит более чем одной 3-компоненте графа L , то отнесем ее к тому множеству \tilde{M}_i , в котором количество вершин смежных с x , наибольшее, если же эти количества одинаковы, то вершину x отнесем к любому из этих множеств. Таким образом, мы получили разбиение множества M на l^1 классов

$$\tilde{M}_1, \tilde{M}_2, \dots, \tilde{M}_l.$$

Будем считать, что функция $r(x, y)$ и число r_0 подобраны идеально, если разбиение $\{\tilde{M}_i\}$ ($i = \overline{1, l^1}$) и $\{M_i\}$ ($i = \overline{1, l^1}$) совпадают. Если же они не совпадают, то будем считать, что $r(x, y)$ и r_0 подобраны удачно, если это несовпадение будет для относительно небольшого количества элементов $x \in M/P$.

Для каждой конкретной задачи функция $r(x, y)$ и число r_0 подбираются свои. Так, например, пусть множество P составляют элементы, природа которых самая различная, о которых имеется достоверное заключение. Каждый элемент характеризуется набором параметров, который определяет вектор. Для того, чтобы ввести этот вектор в машину, его надо представить в двоичном коде. Параметры, входящие в вектор, должны быть записаны дискретно. Поэтому значения параметров разбиваются на интервалы. Входной вектор составляется следующим образом: если показания параметра совпадают в какой-либо интервал, то на месте, соответствующем этому интервалу, ставится единица, в остальных разрядах, относящихся к этому параметру, ставятся нули. На множестве P для любых двух элементов x и y определяли булево произведение между соответствующими векторами \bar{x} и \bar{y} . За значение функции $r(x, y)$ принимаем количество единиц в этом булевом произведении. Число r_0 подбиралось таким образом, чтобы условие $r(x, y) \leq r_0$ выполнялось тогда и только тогда, когда элементы x и y были из одного класса..

ЛИТЕРАТУРА

1. Зыков А. А. Теория конечных графов. „Наука”, Новосибирск, 1969.
2. Агакишиева С. Я. О k -сплетаемых классах и компонентах связности графа. „ДАН Азерб. ССР”, т. XXV, № 8, 1969.

АзИНХ им. Азизбекова

Поступило 14. VII 1973

С. Я. Агакишиева

***M* чохлуғунун синифләрә *L* графының 3-компонентләринин тапылмасы үсулу илә белүмәси**

ХҮЛАСЭ

Мэгләдә *M* чохлуғунун синифләрә белүмәси мәсәләси һәлл олунур. Бунун үчүн *L* графы гурулур вә онун бүтүн 3-компонентләри тапылып, соңра исә онлар синифләрә бирләшдирилүп.

S. Ya. Agakishieva

Separation of the *M* set into classes by detecting 3-components of the graph

SUMMARY

The paper deals with separation of the *M* set into classes. A graph *L* is constructed, all its 3-components of compondency are found and, subsequently, united in classes.

УДК 517. 512. 2/4.

МАТЕМАТИКА

Т. М. САФАРОВ

КОМПЛЕКСНЫЕ ТАУБЕРОВЫ ТЕОРЕМЫ С ОСТАТОЧНЫМ ЧЛЕНОМ ДЛЯ ОБЩИХ РЯДОВ ДИРИХЛЕ

(Представлено академиком АН Азербайджанской ССР И. И. Ибрагимовым)

В данной заметке приводятся теоремы, дающие оценки для средних Рисса любого положительного порядка коэффициентов ряда Дирихле.

Пусть D_1 —множество точек $s = \sigma + ti$, удовлетворяющих условиям

$$|t| \leq \sigma^\omega L_1\left(\frac{1}{\sigma}\right), \quad 0 \leq \omega < 1; \quad 0 < \sigma \leq \sigma_0 < \frac{1}{2},$$

а D_2 —множество точек $z = rl^{-\beta}$, $r = |z|$, удовлетворяющих неравенствам

$$|t| \leq (1-r)^\omega L_1\left(\frac{1}{1-r}\right), \quad 0 \leq \omega < 1; \quad \frac{1}{2} < r_0 \leq r < 1.$$

Функции $L_1(u)$ и $L_2(u)$ предполагаются неотрицательными, причем $L_1(u)$ —монотонной и изменяющейся медленнее, чем любая степень u или тождественно постоянной, а $L_2(u)$ —удовлетворяющей условию

$$L_2(\lambda u) = O\{L_2(u)\}, \quad \lambda > 0 \text{—постоянная.}$$

Через $F_a(s)$ и $F_b(s)$ обозначим соответственно общие ряды Дирихле

$$\sum_{n=0}^{\infty} a_n e^{-s\lambda_n} \text{ и } \sum_{n=0}^{\infty} b_n e^{-s\lambda_n}, \quad s = \sigma + ti, \quad \lambda_0 > 0, \quad \lambda_{n+1} > \lambda_n, \quad \lambda_n \rightarrow \infty,$$

абсолютно сходящиеся при $\sigma > 0$, а через $f(z)$ —степенной ряд

$$\sum_{n=0}^{\infty} a_n z^n, \quad z = re^{-\beta}, \quad r = |z|,$$

абсолютно сходящийся при $r < 1$.Теорема 1. Пусть $F_a(s)$ в области D_1 удовлетворяет оценкам

$$F_a(s) = l + O\left\{|s|^\alpha L_2\left(\frac{1}{\sigma}\right)\right\}, \quad (1)$$

$$\frac{\partial}{\partial t} F_a(s) = O\left\{\sigma^{\alpha-1} L_2\left(\frac{1}{\sigma}\right)\right\}, \quad 0 < \alpha < 1, \quad (2)$$

и пусть

$$a_n = O\left(\frac{\lambda_n - \lambda_{n-1}}{\lambda_n^\beta}\right) \quad (3)$$

или

$$a_n > -H \frac{\lambda_n - \lambda_{n-1}}{\lambda_n^\beta}, \quad n > n_0, \quad H > 0, \quad 0 < \gamma < 1. \quad (4)$$

в случае вещественных a_n и

$$\lambda_n - \lambda_{n-1} = O(\lambda_{n-1}^\gamma), \quad 0 < \gamma < 1. \quad (5)$$

Тогда для любого $\beta \geq 0$

$$\sum_{\lambda_n < x} \left(1 - \frac{\lambda_n}{x}\right)^\beta a_n = l + O\{R_1(x)\} + O\{R_2(x)\}, \quad x \rightarrow \infty,$$

где

$$R_1(x) = \begin{cases} x^{-\alpha} L_2(x) \ln x, & \text{если } \beta = 0, \\ x^{-\alpha} L_2(x), & \text{если } \beta > 0; \end{cases}$$

$$R_2(x) = \begin{cases} x^{\tau-\gamma+\beta(\omega-1)} L_1^{-\beta}(x), & \text{если } \tau > \omega, \\ x^{\omega-\gamma+(\omega-1)} L_1^{-1-\beta}(x), & \text{если } \tau < \omega. \end{cases}$$

Здесь множитель $x^{-\alpha}$ в остатке заменяется на $\ln x$, если $\alpha = 0$.Теорема 2. Пусть в точке $s = 0$ функция $F_a(s)$ регулярна и удовлетворено условие (5). Пусть, кроме того, имеет место (3) или (4).Тогда для любого $\beta \geq 0$

$$\sum_{\lambda_n < x} \left(1 - \frac{\lambda_n}{x}\right)^\beta a_n = F_a(0) + O(x^{\tau-\gamma-\beta}) + O(x^{-1}), \quad x \rightarrow \infty.$$

Здесь при $\gamma \leq \tau - \beta$ главный член не выделяется, т. е. остаток превосходит $F_a = 0$.Теорема 3. Пусть $F_a(s)$ в области D_1 удовлетворяет оценке

$$F_a(s) = O\left\{|s|^{-\alpha} L_2\left(\frac{1}{\sigma}\right)\right\}, \quad \alpha > 0,$$

и пусть удовлетворительно условие (5).

Пусть, кроме того, имеет место (3) или (4) при $-\nu_0 < \gamma < 1$, $\nu_0 > 0$.Тогда для любого $\beta \geq 0$

$$\sum_{\lambda_n < x} \left(1 - \frac{\lambda_n}{x}\right)^\beta a_n = O\{x^\alpha L_2(x)\} + O\{R_2(x)\}, \quad x \rightarrow \infty,$$

где $R_2(x)$ означает то же самое, что и в теореме 1.Теорема 4. Пусть $F_a(s)$ и $F_b(s)$ в области D_1 удовлетворяют оценке

$$F_b(s) = F_a(s) + O\left\{|s|^{-\alpha} L_2\left(\frac{1}{\sigma}\right)\right\}, \quad \alpha > 0.$$

Пусть, кроме того, выполнены условия: $a_n > 0$, $b_n > 0$,

$$\sum_{\lambda_n < x} a_n < (v + u^\tau) \sum_{\lambda_n < u} a_n, \quad 0 < h < u < v, \quad 0 < \tau < \omega, \quad \gamma > 0.$$

Тогда для любого $\beta \geq 0$

$$\begin{aligned} \sum_{\lambda_n < x} \left(1 - \frac{\lambda_n}{x}\right)^\beta b_n &= \sum_{\lambda_n < x} \left(1 - \frac{\lambda_n}{x}\right)^\beta a_n + O\{x^\alpha L_2(x)\} + \\ &+ O\left\{x^{(1+\beta)(\omega-1)} L_1^{-1-\beta}(x) \sum_{\lambda_n < x} a_n\right\}, \quad x \rightarrow \infty. \end{aligned}$$

Приведенные теоремы являются обобщением соответствующих теорем из работ [1, 2], установленных для $\beta = 0$. Они доказываются тем же методом, что и соответствующие теоремы из [1, 2], но формула

$$\frac{1}{2\pi} \int_{-\Lambda}^{\Lambda} \frac{(\Lambda^2 - t^2)^2}{\sigma + ti} e^{(\sigma+ti)t} dt = \begin{cases} (\Lambda^2 + \sigma^2)^2 + O(e^{\sigma v} \min(\Lambda^4, \Lambda^2 v^{-2})), & v > 0, \\ O(e^{\sigma v} \min(\Lambda^4, \Lambda^2 v^{-2})), & v < 0, \end{cases}$$

используемая в [1, 2], здесь заменяется следующей

$$\frac{1}{2\pi} \int_{-\Lambda}^{\Lambda} \frac{\Lambda^2 - t^2}{(\sigma + ti)^{1+\beta}} e^{(\sigma+ti)t} dt = \begin{cases} \frac{(\Lambda^2 + \sigma^2) v^\beta}{\Gamma(1+\beta)} - \frac{2\sigma v^{\beta-1}}{\Gamma(\beta)} + \frac{v^{\beta-2}}{\Gamma(\beta-1)} + O(e^{\sigma v} v^{-2} \Lambda^{-\beta}), & v > \frac{1}{\Lambda}, \\ O(e^{\sigma v} \min(\Lambda^{2-\beta}, v^{-2} \Lambda^{-\beta})), & v < \frac{1}{\Lambda}, \end{cases}$$

где $0 < \sigma < \Lambda$, $\beta > -1$, $\Gamma(u)$ — гамма-функция Эйлера и постоянная оценка O зависит от β .

Из приведенных теорем можно вывести соответствующие теоремы для степенного ряда. Например, из теоремы 1 вытекает следствие:

Пусть $f(z)$ в области D_2 удовлетворяет оценкам

$$f(z) = I + O\left\{ |1-z|^\alpha L_2\left(\frac{1}{1-z}\right)\right\},$$

$$\frac{\partial}{\partial z} f(z) = O\left\{ (1-z)^{\alpha-1} L_2\left(\frac{1}{1-z}\right)\right\}, \quad 0 < \alpha < 1,$$

и пусть

$$a_n = O(n^{-\gamma})$$

или

$$a_n > -Hn^{-\gamma}, \quad n > n_0, \quad H > 0, \quad 0 < \gamma < 1.$$

Тогда для любого $\beta \geq 0$

$$\sum_{n < x} \left(1 - \frac{n}{x}\right)^\beta a_n = I + O(x^{\omega-\gamma+\beta(\omega-1)} L_1^{-1-\beta}(x)) + O(R_1(x)), \quad x \rightarrow \infty,$$

где $R_1(x)$ означает то же самое, что и в теореме 1.

ЛИТЕРАТУРА

- Субханкулов М. А. Об одной теореме Литтльвуда. Изв. АН Узбек. ССР, серия физ.-матем. наук*, 1, 1964, 22—30.
- Субханкулов М. А. О тауберовой теореме Хирди—Литтльвуда для рядов Дирихле. Изв. АН Тадж. ССР, серия физ.-техн. науки, 3 (16), 1965, 16—26.

Башкирский гос. ун-т им.
40-летия Октября

Поступило 3. IX 1972

Т. М. Сафаров

Үмүмиләшмиш Дирихле сыралары үчүн галыглы комплекс
Таубер теоремләри

ХҮЛАСӘ

Тәдгигатда үмүмиләшмиш Дирихле эмсалларының ихтијари мусбәт тәртибдән Рисс орталарының гијметләндирән галыглы комплекс Таубер теоремләри алынышдыр.

Т. М. Safarov

Complex tauberian theorems with remainder for the general Dirichlet series

SUMMARY

The present paper describes some complex Tauberian theorems with remainder for the general Dirichlet series to estimate the Riesz averages of coefficients of the Dirichlet series.

3. Г. КЕРИМОВ, С. А. БАГИРОВ

**ПРИМЕНЕНИЕ МЕТОДА ГЕОМЕТРИЧЕСКОГО
ПРОГРАММИРОВАНИЯ ПРИ ОПТИМАЛЬНОМ
КОНСТРУИРОВАНИИ МЕХАНИЧЕСКИХ ПЕРЕДАЧ**

(Представлено академиком АН Азербайджанской ССР А. И. Гусейновым)

Механические передачи очень широко распространены в технике, и в зависимости от назначения имеют различные конструкции. Даже незначительное уменьшение стоимости или веса этих конструкций из-за массовости их производства может привести к значительному экономическому эффекту. Остюда и необходимость в их оптимальном конструировании. Одним из методов оптимизации, который может быть успешно применен в области оптимального конструирования механических передач, является метод геометрического программирования [1]. Возможность применения этого метода проиллюстрируем на примере оптимального конструирования 2-ступенчатого червячно-цилиндрического редуктора. Как известно, одним из основных недостатков редукторов с червячной ступенью является необходимость изготовления венца червячного колеса из бронзы. В связи с этим, определенный интерес представляет такое проектирование указанного редуктора, при котором суммарная стоимость материалов обеих ступеней минимальна. Можно показать, что эта задача сводится к решению задачи „A“ минимизации показателя P :

$$P = C_1 i_2^2 t + C_2 i_2^{1/2} i_2^{-1/2} A_2 + C_3 i_1^{1/2} i_2^{1/2} A_2 \quad (1)$$

при следующих ограничениях на переменные проекта:

$$C_4 i_1^{-1/2} t^{-1/2} < 1 \quad (2)$$

$$C_5 i_1^{1/2} i_2^{1/2} A_2^{-1} + C_6 i_1^{1/2} i_2^{-1/2} A_2^{-1} < 1 \quad (3)$$

$$C_7 i_1^{-1} i_2^{-1} \leq 1 \quad (4)$$

В выражении (1) первое слагаемое представляет собой показатель стоимости материалов червячного колеса, а сумма второго и третьего слагаемых—показатель стоимости материалов цилиндрической ступени.

Неравенства (2) и (3) являются условиями контактной прочности соответственно для червячной и цилиндрической ступеней, а неравенство (4) есть кинематическое требование к проектируемому редуктору.

Константы C_i , $i = 1, 2, \dots, 7$ представляют собой:

$$C_1 = \frac{1}{4} \cdot 0.75 \cdot \gamma_1 \cdot a \quad (5)$$

$$C_2 = C_3 = \pi \cdot \psi_A \cdot C_5^2 \cdot \gamma_2 \quad (6)$$

$$C_4 = \frac{a_1}{[\sigma]_{k_1}} \sqrt{8K \cdot M_1 \cdot \eta_1} \quad (7)$$

$$C_5 = C_6 = \sqrt[3]{\left(\frac{a_2}{[\sigma]_{k_2}} \right)^2 \frac{K \cdot M_1 \cdot \eta_1}{\psi_A \cdot K_{nu}}} \quad (8)$$

$$C_7 = i_0 \quad (9)$$

Переменная t представляет собой:

$$t = q \cdot z_1^2 \cdot m_s^3 \quad (10)$$

В (1)–(10) обозначено: i_1 и i_2 —передаточные числа соответственно первой и второй ступеней; i_0 —общее передаточное число редуктора; z_1 —число заходов червяка; m_s —осевой модуль; q —относительная толщина червяка; γ_1 и γ_2 —средние удельные веса материалов соответственно червячного колеса и цилиндрической ступени; a —весовой коэффициент, показывающий во сколько раз средняя стоимость материалов червячного колеса выше средней стоимости материалов зубчатых колес цилиндрической ступени; a_1 и a_2 —константы, зависящие от принятой системы единиц; A_2 —межосевое расстояние второй ступени; ψ_A —коэффициент ширины зуба; $[\sigma]_{k_1}$ и $[\sigma]_{k_2}$ —допускаемые контактные напряжения материала первой и второй ступеней; K —коэффициент нагрузки; η_1 —кПД червячной передачи; M_1 —крутящий момент на валу червяка; K_{nu} —коэффициент, учитывающий повышенную нагрузочную способность косозубой передачи по сравнению с прямозубой.

Метод геометрического программирования работает с так называемыми позионами [1], имеющими вид:

$$g(t) = \sum_{i=1}^n C_i \prod_{j=1}^m t_j^{a_{ij}}$$

Следовательно выражение (1) и левые части выражений (2), (3), и (4)—позионы.

Таким образом, сформулированная выше задача представляет собой задачу геометрического программирования, степень трудности которой равна [1]:

$$d = n - (m + 1) = 7 - (4 + 1) = 2, \quad (11)$$

где $n = 7$ —общее число членов во всех позионах; $m = 4$ —число переменных проекта, т. е. i_1 , i_2 , t и A_2 .

Соответствующая этой задаче двойственная программа „B“ состоит в максимизации двойственной функции [1]:

$$v(\bar{\delta}) = K_0^{-1} K_1^{-1} K_2^{-1} \left(\prod_{i=1}^7 \delta_i(\bar{r})^{-b_i(\bar{r})} \right) \prod_{k=1}^3 \lambda_k(\bar{r})^{\lambda_k(\bar{r})} \quad (12)$$

где:

$$\delta_i(\bar{r}) = b_i^{(0)} + r_1 b_i^{(1)} + r_2 b_i^{(2)}, \quad i = 1, 2, \dots, 7 \quad (13)$$

$$\lambda(\bar{r}) = \lambda_k^{(0)} + r_1 \lambda_k^{(1)} + r_2 \lambda_k^{(2)}, \quad k = 1, 2, 3 \quad (14)$$

На вектор \bar{r} накладываются условия неотрицательности:

$$b_i^{(0)} + r_1 b_i^{(1)} + r_2 b_i^{(2)} \geq 0, \quad i = 1, 2, \dots, 7 \quad (15)$$

Кроме того:

$$K_1 = \prod_{i=1}^7 C_i^{b_i^{(1)}}, \quad j = 0, 1, 2 \quad (16)$$

$$\left. \begin{array}{l} \lambda_1^{(0)} = b_4^{(0)} \\ \lambda_2^{(0)} = b_5^{(0)} + b_6^{(0)} \\ \lambda_3^{(0)} = b_7^{(0)} \end{array} \right\} \quad (17)$$

Множители $C_i > 0$ — коэффициенты при членах в (1), (2), (3) и (4). Вектор нормализации $\bar{b}^{(0)}$ удовлетворяет условию нормализации:

$$\sum_{i=1}^3 b_i^{(0)} = 1 \quad (18)$$

и условию ортогональности:

$$\sum_{i=1}^7 a_{ij} b_i^{(0)} = 0, \quad j = 1, 2, 3, 4 \quad (19)$$

Векторы невязки $\bar{b}^{(j)}, j = 1, 2$, образуют базис пространства решений линейной однородной системы:

$$\sum_{i=1}^3 y_i = 0 \quad (20)$$

$$\sum_{i=1}^7 a_{ij} y_i = 0, \quad j = 1, 2, 3, 4 \quad (21)$$

Матрица (a_{ij}) — это матрица экспонента задачи „A“. Построение векторов $\bar{b}^{(0)}, \bar{b}^{(1)}$ и $\bar{b}^{(2)}$ было проведено по методике, приведенной в [1], а общее решение двойственных ограничений имеет вид:

$$\delta = \begin{vmatrix} 1 & -1 & -1 & \delta_1 = 1 - r_1 - r_2 \\ -1 & 1 & 1 & \delta_2 = -\frac{1}{2} + r_1 + \frac{1}{2} r_2 \\ 2 & 2 & 2 & \\ \frac{1}{2} & 0 & \frac{1}{2} & \delta_3 = \frac{1}{2} + \frac{1}{2} r_2 \\ 2 & +r_1 & -2 & \text{или } \delta_4 = 2 - 2r_1 - 2r_2 \\ 0 & 1 & 0 & \delta_5 = r_1 \\ 0 & 0 & 1 & \delta_6 = r_2 \\ 1 & 0 & 0 & \delta_7 = 1 \end{vmatrix} \quad (22)$$

Для удовлетворения условий неотрицательности (15) необходимо, чтобы:

$$r_1 > 0, \quad r_2 > 0, \quad r_1 + \frac{1}{2} r_2 > \frac{1}{2} \quad \text{и} \quad r_1 + r_2 < 1.$$

Значения r_1 и r_2 , максимизирующие двойственную функцию определим из решения системы [1]:

$$\left. \begin{array}{l} K_1 = \left(\prod_{i=1}^7 \delta_i^{b_i^{(1)}} \right) \prod_{k=1}^3 \lambda_k(\delta)^{-\lambda_k^{(1)}} = \frac{r_1 \cdot \left(-\frac{1}{2} + r_1 + \frac{1}{2} r_2 \right)}{(1 - r_1 - r_2) \cdot (r_1 + r_2)} \\ K_2 = \left(\prod_{i=1}^7 \delta_i^{b_i^{(2)}} \right) \prod_{k=1}^3 \lambda_k(\delta)^{-\lambda_k^{(2)}} = \frac{r_2 \cdot \left(-\frac{1}{2} + r_1 + \frac{1}{2} r_2 \right)^{\frac{1}{2}} \cdot \left(\frac{1}{2} + \frac{1}{2} r_2 \right)^{\frac{1}{2}}}{(1 - r_1 - r_2) \cdot (r_1 + r_2)} \end{array} \right\} \quad (23)$$

где базисные постоянные имеют значения:

$$K_1 = \prod_{i=1}^7 C_i^{b_i^{(1)}} = \frac{C_2 \cdot C_5}{C_1 \cdot C_4} \quad (24)$$

$$K_2 = \prod_{i=1}^7 C_i^{b_i^{(2)}} = \frac{C_6 \cdot C_2}{C_1 \cdot C_4} \quad (25)$$

Так как $C_5 = C_6$ (8), то $K_1 = K_2$.

После определения максимизирующих значений r_1, r_2 и определения из (23) значений двойственных переменных, можно вычислить максимальное значение двойственной функции из выражения [1]:

$$V(\delta)_{\max} = K_0 \left(\prod_{i=1}^7 \delta_i^{-b_i^{(0)}} \right) \prod_{k=1}^3 \lambda_k(\delta)^{\lambda_k^{(0)}}, \quad (26)$$

где базисная постоянная K_0 равна:

$$K_0 = \prod_{i=1}^7 C_i^{b_i^{(0)}} = C_1 \cdot C_4^2 \cdot C_7 \quad (27)$$

Согласно тесции геометрического программирования минимум прямой функции (1) равен максимуму двойственной функции $V(\delta)_{\max}$, определенному из (26), а значения переменных проекта i_1, i_2, t и A_2 , минимизирующие показатель стоимости P определяются из решения системы [1]:

$$\left. \begin{array}{l} C_1 \cdot i_1^2 \cdot t = \delta_1 \cdot v(\delta)_{\max} \\ C_2 i_1^{v_1} \cdot i_2^{v_2} \cdot A_2^{-1} = \delta_2 \cdot v(\delta)_{\max} \\ C_3 i_1^{v_3} \cdot i_2^{v_4} \cdot A_2^{-1} = \delta_3 \cdot v(\delta)_{\max} \\ C_5 i_1^{v_5} \cdot i_2^{v_6} \cdot A_2^{-1} = \frac{\delta_5}{\lambda_2} \end{array} \right\} \quad (28)$$

По приведенной выше методике, была оценена оптимальность по показателю P червячно-цилиндрического редуктора, рассчитанного в [2]. В примерном расчете мощность на валу электродвигателя $N = 400 \text{ вт}$, а общее передаточное число $i_0 = 140$. Рассчитанные по данным примерного расчета коэффициенты $C_i, i = 1, 2, \dots, 7$ имеют значения $C_1 = 259,64 \cdot 10^{-6}, C_2 = C_3 = 11634,41 \cdot 10^{-6}, C_4 = 134,20, C_5 = C_6 = 13,88, C_7 = 140$. При определении C_1 было принято, что бронзовый венец составляет примерно 50% от общего объема червячного колеса.

Рассчитанные по формулам (24), (25) и (27) базисные постоянные имеют значения: $K_0 = 654,63; K_1 = K_2 = 0,0344$. Далее из решения системы (23) было получено: $r_1 = 0,4745; r_2 = 0,0940$. Согласно (22) и (14): $\delta_1 = 0,439; \delta_2 = 0,018; \delta_3 = 0,543; \delta_4 = 0,878; \delta_5 = 0,475; \delta_6 = 0,086; \delta_7 = 1,0000; \lambda_1 = 0,878; \lambda_2 = 0,561; \lambda_3 = 1,0000$. Минимальное значение показателя суммарной стоимости, рассчитанное по (26) равно $P_{\min} = 271,5$, а значения переменных проекта, определенные из решения системы (28), равны: $i_1 = 25,63; i_2 = 5,46; t = 698,83; A_2 = 149,8$. Для примерного расчета [2], рассчитанный по (1), показатель суммарной стоимости материалов имеет значение $P_p = 283,8$, а параметры проекта равны: $i_1 = 35; i_2 = 4; z_1 = 1; m_s = 3,5 \text{ мм}; q = 12; A_2 = 143 \text{ мм}$. Из отношения:

$$\frac{P_p}{P_{\min}} = \frac{283,8}{271,5} = 1,05$$

видно, что оптимальный проект в 1,05 раза „дешевле“ примерного из [2], по показателю P . Кроме того расчеты показали, что показатель веса червячного колеса для примерного расчета [2] в 1,38 раза пре-восходит показатель веса колеса для оптимального проекта. Это гово-

рит о том, что в оптимальном проекте количество расходуемой бронзы примерно на 38% ниже, чем в примерном из [2].

Полученное оптимальное значение $t = 698,83$, можно использовать для дальнейшей оптимизации проекта, т. е. решить задачу об оптимальном распределении этого значения между z_1 , q и m_s с целью минимизации технологических затрат с учетом ГОСТовских, конструктивных и других ограничений.

Таким образом, выше приведенная методика может быть использована как для оценки оптимальности спроектированного червячно-цилиндрического редуктора (в качестве проектировочного расчета), так и для оптимального проектирования нового редуктора (в качестве проектировочного).

ЛИТЕРАТУРА

1. Даффин Р., Питерсон Э., Зенер К. Геометрическое программирование. М., «Мир», 1972. 2. Спицын Н. А., Капканец И. И., Лейман В. А., Ключарев В. А., Чернин И. М., Ган К. Г. Сборник задач по деталям машин. М., «Высшая школа», 1969.

АзИИХ им. Азизбекова

Поступило 24. II 1973

[З. Г. Керимов вэ С. А. Багиров]

Механики ётурмэлэрийн оптималь конструксија едилмэсиндэ
һэндэси програмлашдырма методуун тэтбиги

ХҮЛАСЭ

Мэгалэдэ ики пиллэли сонсуз винт—цилиндрик редуктор мисалында механики ётурмэлэрийн оптималь конструксија едилмэсиндэ һэндэси програмлашдырма методуун тэтбиги имкани, көстэрлимишдир. Оптимумлашдырма критеријасы кими һэр ики пиллэний материалынын там дэјэр көстэричиси гэбул едилмиш, һэр ики пиллэний һэндэси вэ кинематик параметрлэрийндэн ибарэти олан лајиһэ дэшишнэлэричэ исэ мөнкэмлик вэ кинематик мэхдүдлашмалар тооулмушдур. Көстэрлимишдир ки, бахылан мэсэлэ мүрэккаблик дэрэчэси икије бэрэбэр олан һэндэси програмлашдырма мэсэлэсидир.

Бахылан мэсэлэ үмуми һалда вэ елэчэ дэ бир хүсуси һал үчүн һэлл едилмишдир.

Z. G. Kerimov, S. A. Bagirov

The use of the geometrical programming method for the optimal construction of the mechanical gearing

SUMMARY

The possibility of the use of the geometrical programming method for the optimal construction of the mechanical gearing is shown in the article on the example of the two-step-like vermicular cylinder reduction gear. The index of the total value of the materials of both two steps is picked out in the quality of the optimal criterion and for the variable of the project prescuted by itself. geometrical and cinematic parameters of both steps strength and cinematic restrictions are laid over. It is shown that the task of decision offers the task of geometric programming with the degree of complication which is two. The task of decision is worked out in common aspect as well as in the quality of the example for some particular case.

АЗЭРБАЙЧАН ССР ЕЛМЛЭР АКАДЕМИЈАСЫНЫН МЭРҮЗЭЛЭРИ

ДОКЛАДЫ АКАДЕМИИ НАУК АЗЕРБАЙДЖАНСКОЙ ССР

ТОМ XXX

№ 2

1974

УДК 539. 293. 531. 9

ФИЗИКА

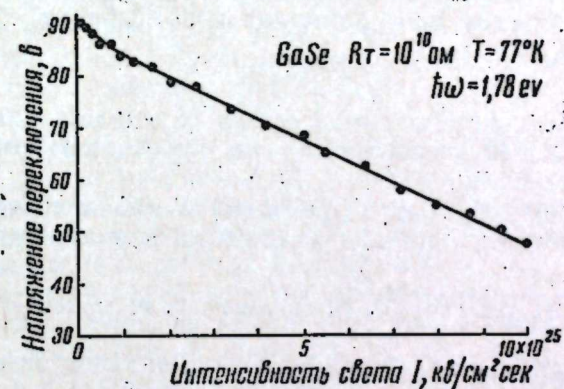
[Г. А. АХУНДОВ], В. М. САЛМАНОВ, Ю. П. ШАРОНОВ

ЭФФЕКТ ПЕРЕКЛЮЧЕНИЯ В СЕЛЕНИДАХ ГАЛЛИЯ И
ИНДИЯ ПОД ДЕЙСТВИЕМ ЛАЗЕРНОГО ИЗЛУЧЕНИЯ

(Представлено академиком АН Азербайджанской ССР
Г. Б. Абдуллаевым)

В настоящем сообщении приводятся предварительные данные о переключении в GaSe и InSe при воздействии лазерного света.

В качестве источника излучения использовались рубиновые ($\hbar\omega = 1,78 \text{ эв}$) и неодимовые ($\hbar\omega = 1,17 \text{ эв}$) лазеры, работающие в режиме модуляции добротности ($t_{\text{имп.}} = 5 \cdot 10^{-8} \text{ сек}, I = 10^{26} \text{ кв/см}^2 \text{ сек}$) и свободной генерации ($t_{\text{имп.}} = 5 \cdot 10^{-3} \text{ сек}, I = 10^{23} \text{ кв/см}^2 \text{ сек}$). Были исследованы монокристаллы GaSe, InSe, полученные методом Бриджмена, с темновыми сопротивлениями $R_t \sim 10^4 \div 10^5 \text{ ом}$ и CaSe, полученные газотранспортным методом с $R_t \sim 10^{10} \text{ ом}$. Измерения проводились при



300 и 77° с образцами, вмсючими прижимные контакты. Лазерный свет направлялся на межконтактную область. Длительности световых импульсов всегда превышали время переключения, которое оказалось меньше, чем $2 \cdot 10^{-8} \text{ сек}$.

Было обнаружено, что при облучении образцов импульсами лазеров, работающих в режиме модуляции добротности при 300 и 77°К происходит переключение при напряжениях, меньших порогового. Этот эффект наиболее отчетливо наблюдается в кристаллах GaSe с $R_t \sim 10^{10} \text{ ом}$ под действием рубинового лазера с модулированной доб-

* Ввиду отсутствия специального знака постоянная Бланка обозначена буквой h

ротностью при 77°К. На рисунке приведена зависимость напряжения переключения от интенсивности переключающего света. Видно, что с ростом интенсивности возбуждающего света наименьшее напряжение, требуемое для переключения, падает. Под действием того же лазера, работающего в режиме свободной генерации, переключение не происходит даже при пороговых напряжениях. Во всех исследованных образцах влияние неодимового лазера оказалось намного слабее, чем рубинового.

На наш взгляд, приведенные данные могут быть объяснены концентрационной теорией эффекта переключения [1, 2]. Оценки показывают, что характеристическая концентрация, требуемая для сдвига энергии активации локальных состояний

$$\bar{n} = m^* \epsilon (\kappa T)^2 / 2 \pi h^2 q^2 [1]$$

(где m^* —эффективная масса электрона, ϵ —диэлектрическая проницаемость, q —заряд электрона), для GaSe при 77°К равна 10^{17} см^{-3} , которая может быть достигнута при воздействии лазерного света.

Влияние лазерного света на концентрационную неустойчивость в полупроводниках требует дальнейших исследований, результаты которых будут сообщены позже.

Авторы выражают благодарность Г. Б. Абдуллаеву за внимание к работе и ценные обсуждения.

ЛИТЕРАТУРА

1. Сандамирский В. Б., Суханов А. А., Ждан А. Г. ЖЭТФ. 58, 1683, 1970.
 2. Суханов А. А. ФТП, 5, 1315, 1971.
- АГУ им. С. М. Кирова

Поступило 12. VI 197

Г. А. Ахундов, В. М. Салманов, Й. П. Шаронов

GaSe өн InSe кристалларында лазер шұаларының тәсіри илә „дәјишидірмәк“ ефекті

ХУЛАСӘ

GaSe өн InSe кристалларында астана кәркинилийндән кичик кәркинилиләрдә лазер шұаларының тәсіри илә „дәјишидірмәк“ ефекті мүшәнді едилмишdir.

Мәгәләдә „дәјишидірмәк“ ефектинин минимал кәркинилийнин лазер шұасының интенсивилендән асылылығы верилмишdir.

G. A. Akhundov, V. M. Salmanov, Y. P. Sharopov

Switching effect in GaSe and InSe under laser irradiation

SUMMARY

This paper is concerned with the investigation of switching effect arising in GaSe and InSe at a high level of optical excitation. It is given dependence of switching voltage on light intensity.

АЗЭРБАЙЖАН ССР ЕЛМЛӘР АКАДЕМИЯСЫНЫН МӘРҮЗӘЛӘРИ

ДОКЛАДЫ АКАДЕМИИ НАУК АЗЕРБАЙДЖАНСКОЙ ССР

ТОМ XXX

№ 2

1974

УДК 678. 028. 3

ХИМИЯ ПОЛИМЕРОВ

С. М. АЛИЕВ, В. Б. ГУСЕЙНОВ, М. А. АГАЕВА,
А. А. САРКИСЯН, А. К. ФАТУЛЛАЕВА

ТЕРМИЧЕСКАЯ ПОЛИМЕРИЗАЦИЯ ОЛИГОБУТАДИЕНСТИРОЛОВ

(Представлено академиком АН Азербайджанской ССР С. Д. Мехтиевым)

Синтезированные ранее [1] нами свободнорадикальной соолигомеризацией в растворе олигобутадиенстиролы благодаря высокой полиреакционности в работе [2] легко отверждались под действием УФ-облучения. Известно, что в технике с целью ускорения высыхания покрытий широко используется температура. В этой связи появилась необходимость исследовать термическую полимеризацию олигобутадиенстиролов.

Объектом исследования явился олигобутадиенстирол с соотношением стирола и дивинила 62:38, которое в работе [2] было избрано как наиболее оптимальное по ряду свойств.

Пленки толщиной 50 мк, полученные из раствора в м-ксилоле были подвергнуты действию температуры в термошкафу с доступом воздуха.

Изучение термической полимеризации олигобутадиенстиролов проводилось в двух направлениях: с целью выявления температуры начала стверждения (скорость роста температуры — 2°/мин (1) и выяснения кинетики термополимеризации в изотермических условиях (температуры последовательно 140, 180, 220°C) (11).

Образцы через определенную температуру (1) и определенное время (11) извлекались из термошкафа для анализа на степень сшивания, твердость и другие свойства.

На рис. 1 и 2 показано влияние изменения температуры на степень сшивания и твердость (рис. 1). Здесь видно, что при достижении температуры около 150°C происходит резкое повышение твердости и степени сшивания. Скачкообразное изменение свойств олигобутадиенстирола при достижении температуры около 150°C также показано на рис. 2, где построены кривые зависимости влияния роста температуры на прочностные свойства. Здесь также видно, что при температурах выше 150°C начинается резкое падение ударопрочности и эластичности, что, по-видимому, связано с проявлением процесса поперечного сшивания цепей олигобутадиенстирола.

Полное затвердевание пленки при комнатной температуре происходит в течение 6 дней; при этом степень сшивания незначительна ~10%. При повышенных температурах олигомерная пленка отверж-

Таблица 1

Время отверждения, ч	Твердость по М-3			Прочность на удар, кг·см			Прочность при изгибе, мм			Адгезионная прочность, кг/см ²		
	140	180	220	140	180	220	140	180	220	140	180	220
Температура отверждения, °С												
0,5	0,15	0,21	0,65	50	35	20	1	5	15	—	1,8	20,3
1	0,27	0,44	0,80	30	20	15	1	10	15	0,8	2,6	22,8
3	0,57	0,70	0,85	20	15	10	7	15	15	7,7	10,5	37,5
6	0,70	0,88	0,85	20	10	10	15	15	15	12,7	14,7	44,7
9	0,9	0,92	0,92	15	10	10	15	15	15	20,7	33,8	54,0

дается в течение 1–3 ч со значительно высоким выходом гельфракции (50–90%).

На рис. 3 представлены кинетические кривые зависимости степени сшивания от времени термической полимеризации при температурах 140, 180, 220°C. Здесь видно, что скорость сшивания прямо

Таблица 2

Время отверждения, ч	Водопоглощаемость в течение 500 ч, %			Теплостойкость по карандашу T, °С			Электрическое сопротивление изоляционных покрытий толщиной в 5 мк, ом·см ²			Блеск по 100% шкале, %		
	140	180	220	140	180	220	140	180	220	140	180	220
Температура отверждения, °С												
1	0,03	0,01	0,008	41	50	110	3,4	32	318	60	80	78
3	0,01	0,007	0,007	52	85	123	4,9	189	331	65	83	77
6	0,008	0,004	0,003	62	105	148	18,9	320	374	84	78	97
9	0,005	0,004	0,003	75	145	165	25,3	343	388	88	79	95

пропорциональна температуре полимеризации. На кривой 1 (рис. 3) после 3-часового отверждения при 220°C наблюдается некоторый изгиб, что, по-видимому, связано с частичной деструкцией, сопутствующей процессу отверждения. Более длительная выдержка при той же температуре в дальнейшем уже не влияет на ход кривой; уменьшение степени сшивания почти не наблюдается.

В табл. 1 представлены данные физико-химических испытаний олигомера, отверженного в различных условиях. Как видно, увеличение температуры и времени полимеризации приводит, с одной стороны, к повышению твердости и адгезионных свойств, а с другой, к падению прочностных показателей, что связано с проявлением хрупкости, присущей трехмерным структурам.

В табл. 2 сведены данные по блеску, электрическому сопротивлению, водо- и теплостойкости олигомерных покрытий, отверженных в различных условиях. Здесь также видно, что увеличение времени и температуры полимеризации приводит к повышению тепло- и водостойкости, а также диэлектрических свойств покрытий.

Как и у высыхающих масел, молекулярные цепи олигомера содержат двойные связи с α-метиленовыми и метиновыми группами, которые содержат наиболее подвижные водородные атомы. Поэтому термополимеризация олигомера в присутствии кислорода воздуха про-

Рис. 3. Зависимость степени сшивания от времени отверждения при постоянных температурах (1—220; 2—180; 3—140°C).

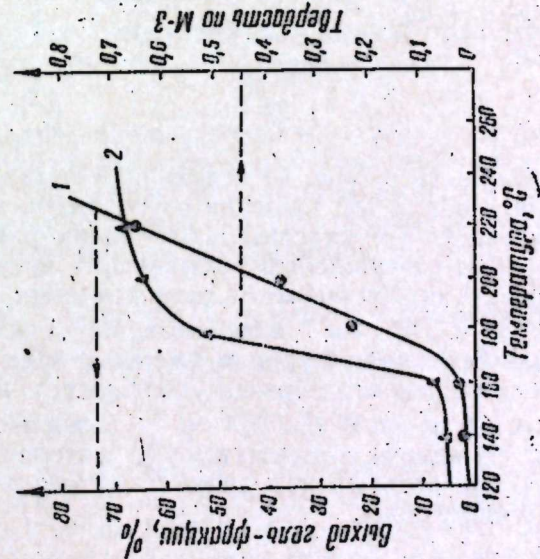
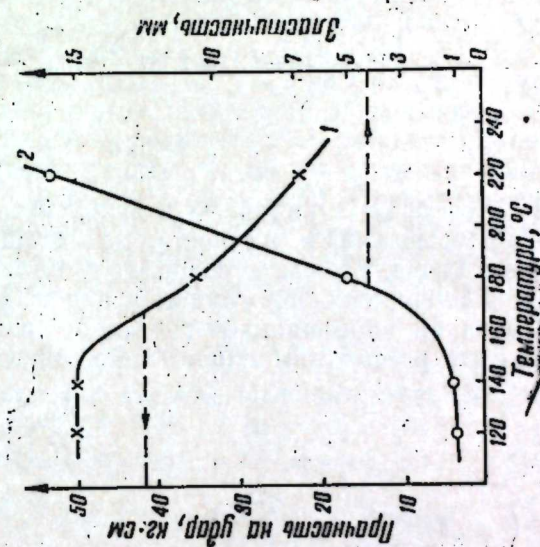
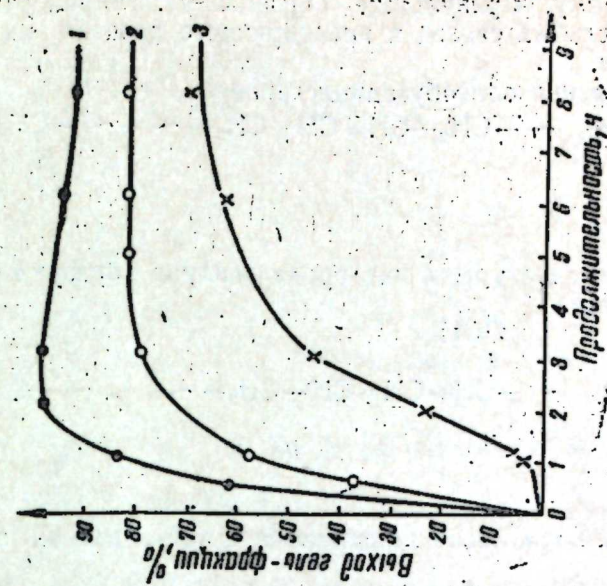
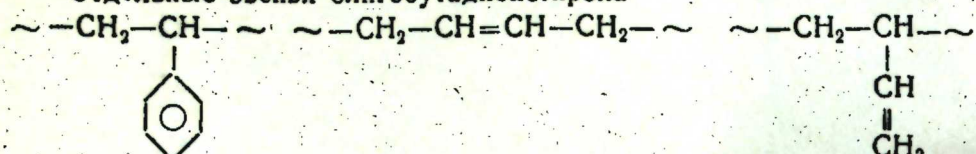


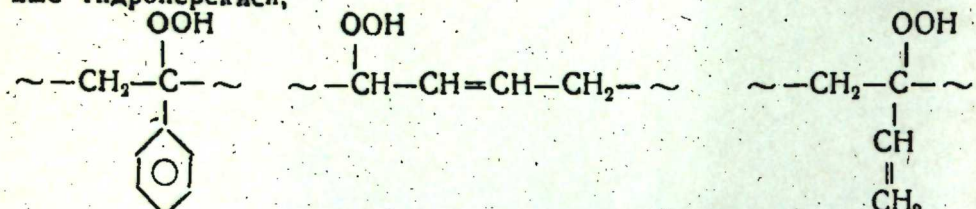
Рис. 1. Влияние роста температуры на степень сшивания (1) и твердость (2) покрытия при постоянной скорости роста температуры 2°C/мин.

текает, по-видимому, в результате сбразования гидроперекисей по месту наиболее слабых связей и последующего распада их на свободные радикалы.

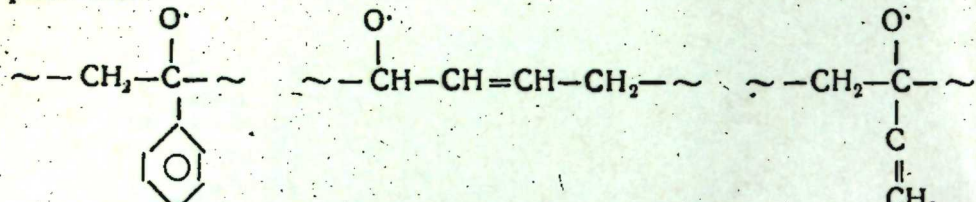
Отдельные звенья олигобутадиенстирола



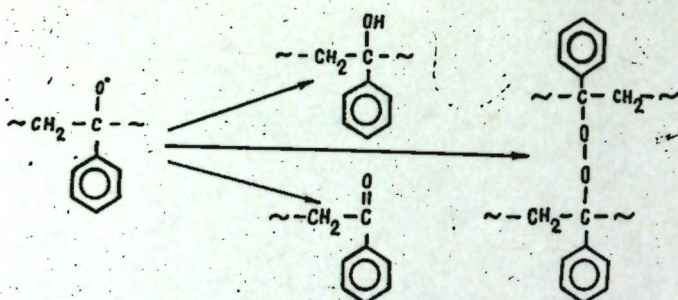
под действием температуры и кислорода воздуха образуют олигомерные гидроперекиси,



которые в дальнейшем легко распадаются с образованием свободных радикалов:



Образовавшиеся свободные радикалы в дальнейшем могут вступать в различные превращения, в частности, рекомбинировать с образованием поперечной связи, отрывать водород от олигомерной молекулы с образованием гидроксильной группы и нового радикала, обрывать цепь с образованием карбонильной группы и нового радикала. Здесь для удобства мы рассмотрим лишь отдельное звено, например, стирольное:



Сравнение ИК-спектров (рис. 4) исходной и термически отверженной (в течение 3 ч при 180°) пленки со олигомером показало, что в результате термической атоокислительной полимеризации, которая по механизму подобна отверждению высыхающих масел, в олигомерной пленке возникают карбонильные и гидроксильные группы (полосы поглощения 1732 и 3530 cm^{-1} соответственно), особенно проявляющиеся при высоких температурах и длительной выдержке. Кроме того, в спектре отверженного образца наблюдается некоторое снижение интенсивностей полос 909 и 967 cm^{-1} (двойные связи 1,2 и 1,4-присоединения бутадиена соответственно), которое ранее [2] не наблюдалось нами при отверждении дивинил-стирольных олигомеров под действием УФ-облучения.

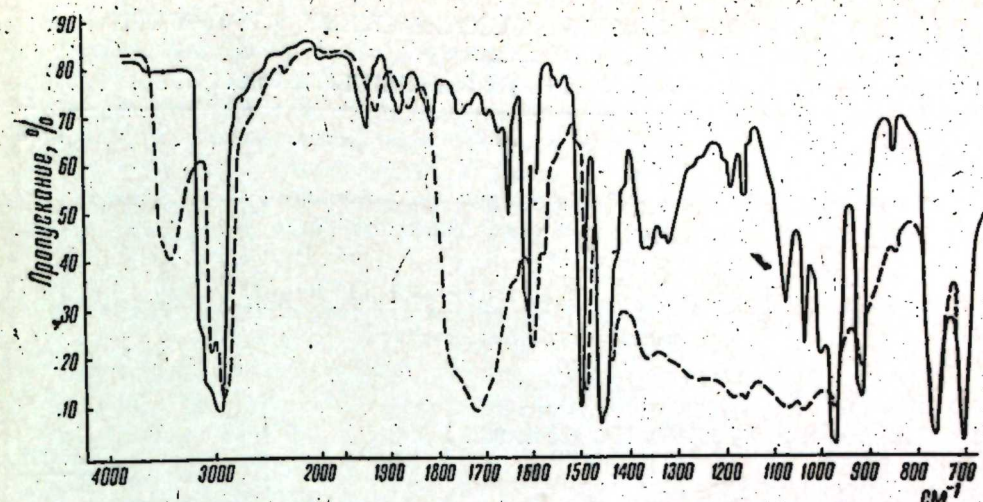


Рис. 4. ИК-спектры олигобутадиенстирола (—) и трехмерного полимера (---).

Выводы

- Проведена термическая полимеризация олигобутадиенстирола в присутствии воздуха. Найдено, что начало структурирования пленки лежит в пределах 150°C.
- Изучено влияние температуры и времени термической полимеризации на выход гель-продукта. Показано, что с увеличением температуры и времени отверждения растут степени сшивания, твердость, электроизоляционные и другие свойства покрытия.
- Изучен механизм термической полимеризации олигобутадиенстиролов с помощью ИК-спектроскопии и установлено, что в процессе термополимеризации участвуют двойные связи бутадиеновых звеньев, а также имеет место образование карбонильных и гидроксильных групп.

ЛИТЕРАТУРА

1. „Азербайджанское нефтяное хозяйство“, № 8, 1972. 2. „Азербайджанское нефтяное хозяйство“, № 9, 1972.
- ИНХП им. Ю. Г. Мамедалиева

Поступило 17. IV 1972

С. М. Элиев, В. Б. Гусейнов, М. А. Агаева, А. А. Саркисян,
А. Г. Фатуллаев

Олигобутадиенстиролун термики полимерләшмәси

ХУЛАСӘ

Һава иштиракы илә олигобутадиенстиролун термики полимерләшмәси мүэйянләшдирилмишdir. Кел мәңсулуун чыхымына температурин вә термики полимерләшмә мүддәттинин тә'сири тәдгиг едилмишdir. ИГ-спектроскопија јолу илә олигобутадиенстиролун термики полимерләшмәсинин механизми өјрәнилмишdir.

S. M. Aliev, V. B. Guseinov, M. A. Agaeva, A. A. Sarkisyan, A.K. Fatullaev

Thermal polymerization of oligobutadienestyrene

SUMMARY

Thermal polymerization of oligobutadienestyrene has been carried out in the presence of air. The effect of thermopolymerization temperature and time upon the hardening process has been studied. Thermopolymerization mechanism has been studied by IR-spectroscopy.

УДК 547:541. 124:547. 53:665, 652. 4:542. 952. I

ХИМИЯ

М. А. ШАХГЕЛЬДИЕВ, Р. М. ШАМХАЛОВ, Э. А. КЯЗИМОВ

О СОСТАВЕ ПРОДУКТОВ АЛКИЛИРОВАНИЯ АРОМАТИЧЕСКИХ УГЛЕВОДОРОДОВ ЦИКЛОГЕКСЕНОМ

(Представлено академиком АН Азербайджанской ССР А. М. Кулевым)

В развитие наших предыдущих работ по циклосалкилированию ароматических соединений нами исследовано алкилирование бензола, толуола, *o*-, *m*- и *n*-ксилолов циклогексеном в присутствии H_2SO_4 . Для анализа продуктов циклоалкилирования использовали ИК-спектроскопию (спектрофотометр ИКС-14, призма $NaCl$) и газожидкостную хроматографию (прибор "Цвет" с пламенно-ионизационным детектором, снабженный капиллярными колонками длиной 20 или 50 м, покрытыми реоплексом или апиезоном-*L*; были использованы также набивные колонки длиной 6 м, заполненные этими же стационарными фазами, нанесенными на хромосорб-*W*). В процессе выполнения газохроматографического анализа (для которого использовались свидетели, приготовленные встречными синтезами) был разработан ряд методик и получены данные по удерживанию циклоалкилпроизводных. Специальными опытами установлено, что в принятых условиях не происходило изомеризации или диспропорционирования исходных и конечных продуктов реакции. Некоторые полученные в данной работе результаты приведены в табл. 1 и 2.

Таблица 1
Выход алкилатов при алкилировании ароматических углеводородов циклогексеном

Температура, °C	Выход, %				
	Бензол	Толуол	<i>o</i> -Ксилол	<i>m</i> -Ксилол	<i>n</i> -Ксилол
25 ¹	44	1	63	55	42
50 ¹	41	44	57	46	34
25 ²	32	40	54	44	30

¹ Молярное соотношение ароматический углеводород:циклогексен: серная кислота равно 0,5:0, 125:0,25. ² Молярное соотношение ароматический углеводород:циклогексен:серная кислота равно 0,5:0,125:0,5.

Как известно, при проведении реакций в одинаковых условиях, с одинаковыми концентрациями реагирующих веществ и катализаторов,

величина выхода может служить мерой реакционной способности субстрата, поскольку в определенных пределах выход пропорционален логарифму константы скорости реакции. Исходя из этого метилбензолы по их реакционной способности в реакции циклогексилирования (табл. 1) можно расположить в ряд: *o*-ксилол > *m*-ксилол > толуол > *n*-ксилол, аналогичный ряду основности (π -комплексы), установленному при комплексообразовании метилбензолов с ионом серебра [1].

Таблица 2

Распределение изомеров в продуктах алкилирования ароматических углеводородов циклогексеном

Температура, °C	Толуол			<i>o</i> -Ксилол		<i>m</i> -Ксилол		
	1,2	1,3	1,4	1,2, 3	1, 2, 4	1, 2, 3	1, 3, 4	1, 3, 5
25 ¹	37,2	19,8	43,0	30,7	69,3	7,6	86,1	6,3
50 ¹	34,9	20,3	44,8	29,7	71,3	—	92,6	7,4
25 ²	36,9	20,6	42,5	29,2	70,8	—	98,1	6,9

a) Приведено соотношение между циклогексильными производными соответствующих углеводородов (без учета содержания других компонентов в алкилате);

b) результаты таблицы являются средними из двух—четырех определений. ¹ См. примечания к табл. 1; ² см. там же.

В настоящее время имеется достаточно данных, свидетельствующих, что алкилирование ароматических соединений олефинами в присутствии сильных протонных кислот представляет собой взаимодействие между нуклеофильной ароматической молекулой и электрофильным ионом карбения (или его предшественником), образовавшимся из олефина [2]. Отсюда вытекает, что при алкилировании ароматических соединений относительная реакционная способность должна возрастать с увеличением основности бензольного кольца. Действительно, обширными исследованиями показано, что между логарифмами относительных скоростей реакции электрофильного замещения метилбензолов и логарифмами относительных основностей (фтористый водород—трехфтористый бор) этих же углеводородов (σ -комpleksы) существует простая линейная зависимость [3]. Это наводит на мысль, что при электрофильном замещении в ароматическом кольце скорость реакции, по всей вероятности, зависит от стабильности промежуточных соединений типа σ -комплексов. Однако, как уже отмечалось выше, реакционная способность при циклоалкилировании метилбензолов возрастает в порядке, симметричном стабильности π -комплексов этих же углеводородов с ионом серебра. Кажущийся противоречивым этот результат можно понять, если предположить, что при циклоалкилировании ароматических соединений переходное состояние реакции ближе по своему строению к π -комплексам [4].

Интересно, что бензол циклоалкилируется несколько легче *n*-ксилола. На первый взгляд, этот факт противоречит известным теоретическим представлениям об активизации ароматической системы к реакциям электрофильного замещения при введении в бензольное кольцо метильной группы. Это противоречие, по-видимому, может быть объяснено статистическими факторами, с одной стороны, и меньшей, по сравнению с бензолом, растворимостью *n*-ксилола в катализаторном слое, с другой (ср. с [5]).

Из табл. 2 видно, что алкилирование толуола циклогексеном приводит к получению соответствующих алкилатов с высоким содержанием *m*-изомера (ср. с [6]), в то время как в соответствии с прави-

лами ориентации присоединение циклогексильной группы должно происходить в *o*- и *n*-положения к метилу.

Как известно, среди факторов, определяющих реакционную способность и ориентацию при электрофильном замещении в ароматическом ряду, важную роль играет "активность" электрофильного агента [7]. При этом, чем выше "активность" электрофильного агента, тем в меньшей степени проявляются различия в реакционной способности отдельных позиций в атакуемом ароматическом субстрате. По-видимому, высокое содержание *m*-изомера в продуктах циклогексилирования толуола обусловлено сильным электрофильным характером циклогексил-катиона или его предшественника (реакционноспособного и неселективного реагента), в результате чего нивелируются скорости электросильной атаки неравнозначных атомов углерода в бензольном кольце. Таким образом, *m*-ориентацию при циклоалкилировании ароматических углеводородов следует рассматривать не как аномальный результат, но как закономерное явление.

Определение состава продуктов циклогексилирования толуола в зависимости от температуры и относительных количеств катализатора показало, что соотношение позиционных изомеров в алкилате существенно не зависит от условий реакции (в изученных пределах). При циклоалкилировании *n*-ксилола единственным изомером сказался 1,4-диметил-2-циклогексилбензол. В продуктах циклоалкилирования *o*-ксилола преобладал 1,2-диметил-4-циклогексилбензол, причем распределение изомеров и в этом случае заметным образом не зависит от условий реакции. Из *m*-ксилола, в отличие от других ксилолов, в результате реакции образовались три изомера, преобладающим из которых являлся 1,3-диметил-4-циклогексилбензол. Интересно отметить, что при алкилировании *m*-ксилола небольшое количество циклогексильных групп входит в бензольное кольцо даже между двумя метилами (ср. с [8]). При этом установлено, что повышение температуры реакции, увеличение количества катализатора или продолжительности процесса приводит к быстрой изомеризации первоначально образующегося 1,3-диметил-2-циклогексилбензола с накоплением в алкилате термодинамически более устойчивых изомеров.

Таблица 3
Степень изомеризации при алкилировании ароматических углеводородов циклогексеном

Температура, °С	Бензол	Толуол	<i>o</i> -Ксилол
25 ¹	0,8	1,7	4,2
50 ¹	1,6	2,3	5,5
25 ²	2,4	3,0	4,9

а) Под "степенью изомеризации" подразумевается доля метилциклопентильных производных в алкилате; б) степень изомеризации (при циклоалкилировании *m*-ксилола установить не удалось из-за экспериментальных трудностей. ¹ См. при мечания к табл. 1; ² См. там же.

При изучении сернокислотного циклоалкилирования ароматических углеводородов мы встретились с некоторыми ранее не отмеченными в литературе интересными особенностями этого процесса. Так, оказалось, что наряду с нормальной реакцией циклоалкилирования протекает частичная скелетная изомеризация алкилирующего агента, приводящая к образованию метилциклопентильных производных. По возрастающей доле метилциклопентильных производных в алкилате исследуемые углеводороды располагаются в последователь-

ности: бензол < толуол < *o*-ксилол. В случае же циклогексилирования *n*-ксилола соответствующего метилциклопентильного производного не образуется, по-видимому, из-за стерических факторов, затрудняющих вступление метилциклопентильной группы в *o*-положение к метилу.

С увеличением количества катализатора (т. е. с ростом полярности среды, в которой протекает реакция) и при повышении температуры доля скелетного изомера в алкилате возрастает.

Это наблюдение находится в согласии с работой Леонтьевой [9], которая нашла, что повышение температуры реакции и увеличение ионизирующей способности среды при сольволизе циклогексилтозила приводят к росту степени изомеризации циклогексил-каталина. По-видимому, в этих условиях имеется большая вероятность образования сольватированных катионов, и, следовательно, должна увеличиваться доля участия карбениевых ионов в процессах изомеризации.

Согласно [10], скорость реакции алкилирования ароматических соединений значительно превосходит скорость изомеризации алкилирующего реагента. Отсюда следует, что чем более низкую реакционную способность проявляет ароматический субстрат в реакции алкилирования, тем в большей степени подвергается изомеризации алкилирующий реагент. Однако нами установлено, что накопление доли скелетного изомера при алкилировании бензола, толуола и *o*-ксилола циклогексеном происходит параллельно с ростом реакционной способности этих углеводородов в реакции метилциклопентилирования. По-видимому, на соотношение между скоростями реакции алкилирования и скелетной изомеризации в значительной мере влияет как строение алкилирующего агента, так и природа катализатора. Действительно, при взаимодействии ароматических углеводородов с хлорциклогексаном в присутствии хлористого алюминия образуются лишь циклогексильные производные.

ЛИТЕРАТУРА

1. Эндрюс Л., Кифер Р. Молекулярные комплексы в органической химии. Изд-во "Мир", М., 1967. 2. Беккер Г. Введение в электронную теорию органических соединений. Изд-во "Мир", М., 1965. 3. Ле-Руа К., Нелсон, Браун Г. К. В кн. "Химия углеводородов нефти", т. 3, Гостоптехиздат, М., 1959. 4. Шахгельдиев М. А. Межвузовская научная конференция по вопросам рационального использования газообразных и жидких углеводородов нефти (тез. докладов). Баку, 1967, стр. 47; Материалы научно-технической конференции молодых ученых, Баку, 1970, стр. 48. 5. Лемани Р. Автореф. канд. дисс. ЛГУ им. А. А. Жданова. Л., 1969. 6. Nickinbottom W. J. Rev. chim. Acad. RPR, 1962, 7, 907; Пашаев Т. А., Мамедов Ф. А., Исеева Ф. А. Азерб. хим. журн., № 4, 95, 1970. 7. Brown H. C., Nelson K. Le Roy, J. Am. chem. Soc., 75, 6292, 1953. 8. Хейфиц Л. А., Подберезина А. С. Труды ВНИИСНДВ, вып. VIII, Пищепромиздат, М., 1968, стр. 115; Вороненков В. В., Юлина В. И., Лазурин Е. А. "Нефтехимия", 11, 857, 1971. 9. Леонтьева Е. В. Автореф. канд. дисс. МГУ им. Ломоносова, М., 1968. 10. Roberts R. M. и др. J. Am. Chem. Soc., 77, 1764, 1955.

ИХП

Поступило 5. I 1973

М. А. Шаһгэлиев, Р. М. Шамхалов, Е. А. Казымов

Ароматик карбоидрокенләрин тисклөкексенлә алкилләшмәсиндән алынан мәсулларын тәркиби нағында

ХУЛАСӘ

Бензол, толуол вә ксилолларын (*o*- *m*- *v*- *n*-изомерләр) гаты сульфат түршусунун иштиракы илә тисклөкексенлә алкилләшмәсиндән алынан арилтисклокаинларын изомер тәркиби тәдгиг едилшидир. Мүэjjән олунмушшур ки, ароматик карбоидрокенләрин тискоалкил-

ләшмәсі тсиклопентил катионуна изомерләшмәсі илә кедир. Бұз за-
ман алкилатда изомерин мигдары ашағыдаға гајда үзәрә артырып: бен-
зол<толуол<*o*-ксилол.

Реаксија температурунун вә жа сулфат туршусу мигдарының
артырылмасы изомерләшмә дәрәчесини артырып, лакин практики
олараг орто-, мета- вә пара-изомерләри нисбәтінә та'сир етмір.

Мүәжжән олунмушдур ки, тсиклоңексенлә алкилләшмә заманы
алынан тсиклоңекситолуолларын 20%-ни мета-изомер тәшкіл едір
ки, бу да тсиклоңексил катионунун јүксәк реаксија габилиїті илә
әлагәдардыр. Мәгәләдә сулфат туршусунун иштиракы илә тсикло-
а-килләшмә заманы π -комплексий әмәлә қәлмәсінин реаксијаның
сүр'етини мүәжжәнләшdirән мәрһәлә олмасы нағында фикир ирәли
сүрулмушдур.

M. A. Shakhgeldiev, R. M. Shamkhalov, E. A. Kazimov |

On the products composition of aromatics
alkylation by cyclohexene

SUMMARY

The isomeric composition of arylcycloalkanes formed during the alkylation of benzene, toluene and all xylenes by cyclohexene in the presence of concentrated H_2SO_4 have been studied.

It was shown that cycloalkylation of aromatic hydrocarbons was followed by partial structural isomerization of cyclohexyl cation to methylcyclopentyl-cation with the increase of the structural isomer fraction in aromatic series as following benzene<toluene<*o*-xylene. It was found that cyclohexyltoluenes had obtained by cyclohexene alkylation consisted of about 20% m-isomer due to high reactivity of cyclohexylcation. It was stated that rate-determining stage of cycloalkylation reaction in the presence of H_2SO_4 was the formation of π -complex.

АЗӘРБАЙЖАН ССР ЕЛМЛӘР АКАДЕМИЯСЫНЫН МӘРҮЗӘЛӘРИ

ДОКЛАДЫ АКАДЕМИИ НАУК АЗЕРБАЙДЖАНСКОЙ ССР

ТОМ XXX

№ 2

1974

УДК 541. 123 3:546. 654. 19'22

НЕОРГАНИЧЕСКАЯ ХИМИЯ

П. Г. РУСТАМОВ, В. Б. ЧЕРСТВОВА, Г. Г. ГУСЕЙНОВ

СИНТЕЗ СОЕДИНЕНИЙ $PrBiS_3$ И $GdBiS_3$

(Представлено академиком АН Азербайджанской ССР
Г. Б. Шахтахтинским)

Основным стимулом для поиска новых тройных и более сложных веществ явилась потребность современной науки и техники в качественно новых материалах, обладающих различными сочетаниями важных свойств—оптических, фотоэлектрических, магнитных и др.

В последнее время было синтезировано и изучено большое число новых тройных химических соединений с участием лантаноидов со свойствами полупроводников.

В настоящей работе ставилась цель синтезировать тиовисмутиты празеодима и гадолиния.

Из соединений типа $A^{III}B^VX_3^{VI}$ ранее получены только $A^{III}B^VS_3$, (где A^{III} —Ln, B^V —P, As) [1], а также $TlSbTe_3$, обладающие полупроводниковые свойствами [2].

Результаты эксперимента и их обсуждение

Синтез тиовисмутитов Pr и Gd осуществлялся сплавлением эквимолярных количеств Bi_2S_3 с хлоридами Pr и Gd .

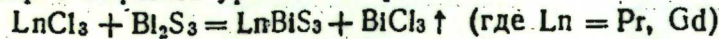
Bi_2S_3 получался сплавлением стехиометрических количеств элементов визуально-комбинированным методом [3]. Для этого применялся висмут Bi —000, сера особой чистоты В—5 и хлориды празеодима и гадолиния марки х. ч.

Методика синтеза заключалась в следующем: стехиометрические количества Bi_2S_3 и хлоридов Pr , Gd измельчались, тщательно перемешивались и помещались в кварцевый стаканчик, который вставлялся в кварцевый реактор с отводной трубкой для выделяющегося во время реакции $BiCl_3$. Реактор перед синтезом продувался инертным газом (аргоном) и через водяной затвор склянки Тищенко подсоединялся к водоструйному насосу. Необходимую температуру достигали при помощи тигельной самодельной печи, в которую помещался реактор.

Опытным путем установлен оптимальный режим синтеза: температура 650—800°C, время—4—5 ч.

В процессе сплавления Bi_2S_3 с $LnCl_3$ происходит сложное химическое взаимодействие, в результате которого получались порошко-

образный и газообразный продукты. Рентгеновский, термический и химический анализы показали, что взаимодействие Bi_2S_3 с LnCl_3 можно суммарно выразить уравнением реакции:



Продукты реакции идентифицировались химическим, дифференциальным-термическим (ДТА) и рентгенофазовым (РФА) анализами.

DTA проводился на приборе НТР-70 в эвакуированных до 10^{-3} мм рт. ст. в кварцевых ампулах. На термограммах обоих образцов вплоть до 1200°C термических эффектов не обнаружено; следовательно их температуры плавления лежат выше 1200°C . При комнатной температуре они устойчивы на воздухе, не взаимодействуют с водой и органическими растворителями (ацетоном, бензолом, этиловым спиртом). Минеральные кислоты (HCl , HNO_3 , H_2SO_4) разлагают их с выделением H_2S .

Состав синтезированных тиовисмутитов был установлен химическим анализом (таблица).

Результаты химического анализа соединений LnBiS_3 ($\text{Ln} = \text{Pr}, \text{Gd}$)

Соединение	Химический состав					
	Рассчитано, вес. %			Найдено, вес. %		
	Ln	Bi	S	Ln	Bi	S
PrBiS_3	31,60	46,86	21,54	31,39	46,04	22,57
GdBiS_3	34,0	45,20	20,80	33,86	45,52	20,62

Периоды решеток указанных соединений определены из порошковых рентгенограмм (рис. 1 *a, b*), полученных в камере РКД с диаметром 57,3 мм на $\text{CuK}\alpha$ -излучении с экспозицией 12 ч. Параметры решетки соответственно равны: $a = 11,20$; $b = 11,28$; $c = 3,96 \text{ \AA}$; $a = 11,1$; $b = 11,24$; $c = 3,90 \text{ \AA}$, пространственная группа $D_{2h}^{16} = \text{Pbnn}$. Расчет индицировки рентгенограмм показал, что "раздробление" катионной части структуры Bi_2S_3 [4] и замена части атомов Bi на редкоземельный металл не влияет на общий мотив структуры. Однако следует ожидать искажение координационных полигонов вокруг РЗМ, поскольку ионные радиусы этих металлов намного больше, чем у катионов в структурах типа Bi_2S_3 .

Тройные соединения LnBiS_3 можно рассматривать как продукт взаимодействия Ln_2S_3 и Bi_2S_3 в соотношении 1:1.

Синтезированные тройные тиовисмутиты празеодима и гадолиния по своим физико-химическим свойствам очень близки друг к другу, что, по-видимому, объясняется электронным строением атомов лантаноидов.

Известно, что образование тех или иных конфигураций связано в каждом отдельном случае с положением валентных электронов, возникновением валентных связей, а также значением ионизационного потенциала изолированных атомов элементов, входящих в состав соединений.

Изолированный атом серы имеет конфигурацию валентных электронов s^2p^4 и стремится в соединениях к захвату электронов партнёров с достройкой до наиболее стабильной электронной конфигурации s^2p^6 . Однако в определенных условиях вероятна отдача атомом халькогена части электронов с образованием квазистабильной конфигурации sp^3 .

При образовании связи в соединениях LnBiS_3 (рис. 1) s^2 -электрона лантаноида переходит к одному атому серы, т. к. второй ион-

изационный потенциал Pr и Gd почти в два раза ($11,54$ и $12,0$ эВ соответственно) меньше, чем у серы (23,4 эВ). При этом атом халькогена сбрасывает устойчивую конфигурацию инертного газа s^2p^6 . Второй атом серы принимает по одному электрону от Ln и Bi , также приобретая устойчивую конфигурацию s^2p^6 . Одновременно атом Ln образует устойчивую конфигурацию s^0d^0 ($n - 1$) $^{10-14}$.

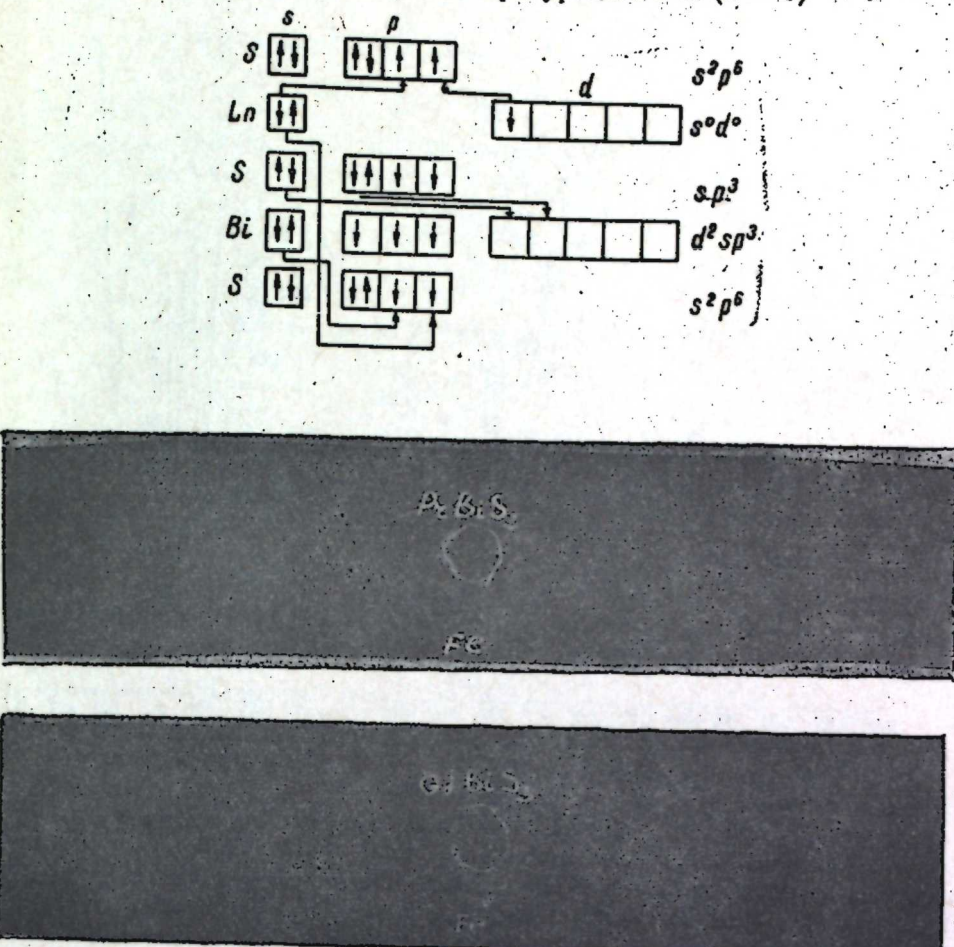


Рис. 1. Схема образования связей в соединениях LnBiS_3 .

В случае Gd образуется устойчивая конфигурация s^0d^0 . Значения ионизационных потенциалов Bi и S близки; поэтому возможна передача электронов от S к Bi при этом третий атом S приобретает квазистабильную конфигурацию sp^3 , а висмут— d^2sp^3 .

Таким образом, между Ln и S имеется место ионная связь, между Bi и S—ковалентная. Наличие этих связей в соединениях должно подтвердиться проявлением полупроводниковых свойств этих соединений. То же самое можно сказать и для празеодима.

Так как 4f—оболочка атомов лантаноидов, сравнительно слабо возбуждается при образовании химической связи [5], то максимальная вероятность $f-d$ -переходов соответствует наименьшим числам возможных состояний [6].

Вследствие $f-d$ -переходов в атомах лантаноидов образуются d -состояния, что приводит к относительно близкому механизму взаимодействия их с халькогенами и халькогенов с d -переходными металлами.

Практически это подтверждается образованием однотипных соединений лантаноидов и некоторых трехвалентных переходных металлов [7, 8]. Эта близость электронного строения лантаноидов, определяемая $f \rightarrow d$ -переходами, к электронному строению d -переходных металлов определяет сходство характера химической связи в халькогенидах этих групп, с изменением долей различных типов связи.

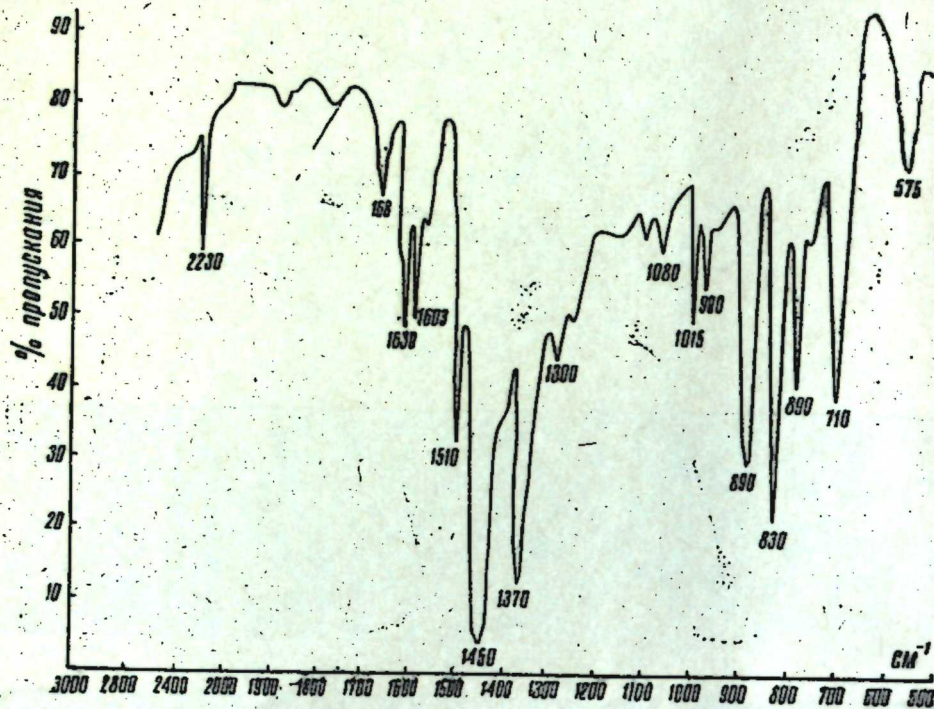


Рис. 2. Дебаеграммы соединений PrBeS_3 (а) и GdBeS_3 (б).

Из этого следует, что халькогенидные соединения лантаноидов как двойные, так и тройные, и, возможно, более сложные, обладают высокими температурами плавления и другими свойствами как и подобные соединения d -переходных элементов.

Следует отметить, что с увеличением сложности указанных соединений, с возникновением различных типов связи ослабляется связь через d -состояния, что приводит к постепенному уменьшению температуры плавления и др.

Выводы

Впервые синтезированы и охарактеризованы тиовисмутиты празеодима и гадолиния, рентгенографически установлено, что эти соединения являются структурными аналогами Bi_2S_3 . Для предварительный механизм образования связей в тройных халькогенидах лантаноидов и высказано предположение о сходстве взаимодействия халькогенидов с d - и f -элементами.

ЛИТЕРАТУРА

1. Серебренников В. В., Дашиев М. Д. *Изв. АН СССР*, *Ж. неорган. материалы*, 5, 12, 2210, 1939.
2. Борисова Л. А., Ефремова М. В. *Изв. АН СССР*, *Ж. неорган. материалы*, 2, 7, 1320, 1956.
3. Рустамов П. Г., Мардаев Б. Н. *ДАН Азерб. ССР*, 20, 9, 13–15, 1964.
4. Hofmann W. Z. *Kristallogr.* 86, 225, 1938.
5. Йост Д., Рассель Г., Гарнер К. *Редкоземельные элементы*

и их соединения. ИЛ, М., 1949.

6. Саисонов Г. В., Нешпор В. С. *Ф.ДАН СССР*, 122, 1021, 1958.

7. Nguyen-Huy-Dug. Etienne F., Laruelle P. *Bull. Soc. chim. France*, 7, 2433–2437, 1971.

8. Dismukes E. P., Smith R. T., White I. G. *Kristallogr.* 132, 4–6, 272–275, 1970.

Институт неорг. и физической химии

Поступило 7. V 1973

П. Г. Рустамов, В. Б. Черствова, Г. Г. Гусевнов

PrBeS_3 ۋە GdBeS_3 بىرلەشىمەلەرىنىن سىنتېزى

ХУЛАСЭ

Долајы синтез үсүлү илә мубадилә ғеаксијасы иәтичәсийдә PrBeS_3 , GdBeS_3 яни үчлү бىрлەشمەلәр илк дәфә синтез ۋە ҳарактеризә олунмушdur. Мәгаләдә һәмин бىрлەشمەلەрдәки әлагәләрин әмәлә қелмәсдин тәхмини механизми өөрлимишидир.

P. G. Rustamov, V. B. Cherstova, G. G. Guseinov

The synthesis of PrBeS_3 and CdBeS_3 compounds

SUMMARY

Using the exchange reactions of decomposition, new triple compounds PrBeS_3 and CdBeS_3 have been firstly synthesized and characterized by the indirect synthesis method; a suppositional mechanism of its bond formation has been presented.

УДК 66. 011

ХИМИЯ

С. М. АЛИЕВ, Н. И. ГУСЕЙНОВ, Р. И. ГУСЕЙНОВ

СООЛИГОМЕРИЗАЦИЯ ИЗОПРОПЕНИЛСТИРОЛА
АКРИЛОНИТРИЛОМ

(Представлено академиком АН Азербайджанской ССР В. С. Алиевым)

В работах [1, 2] была изучена олигомеризация и соолигомеризация изопропенилстирола со стиролом и α -метилстиролом в присутствии свободно-радикальных инициаторов в растворе CCl_4 . Полученные соолигомеры благодаря наличию изопропенильной группы обладают повышенной термореактивностью. Они способны структурироваться стиролом или при нагревании.

В данной статье приводятся некоторые результаты исследований полигомеризации изопропенилстирола с акрилонитрилом.

с

Экспериментальная часть

В качестве сырья были использованы изопропенилстирольные фракции 100–105°C и 105–108°C/20 мм рт. ст. и акрилонитрил. Характеристика исходных фракций представлена в табл. 1. Изопропен-

Таблица 1

Характеристика исходных диалкенилароматических фракций

Фракция	Предел кипения фракций °C (мм рт. ст.)	n_d^{20}	d_4^{20}	Содержание, % вес. (по данным хроматографического анализа)			
				винил-изопропилбензолы	этил- α -метилстиролы	винил-изопропенилбензолы	не расшифрованный продукт
Изопропенилстирольная	100–105/20	1,5600	0,9243	1,4	30,0	67,6	1,0
	105–108/20	1,5670	0,9328	0,4	16,3	81,7	1,6

стирол получали дегидрированием изопропилэтилбензолов в присутствии катализаторов „стирол–контакт”, К-93, R-1 и R-2. Опыты по соолигомеризации проводились в запаянных ампулах. Было изучено влияние температуры, количества и природы инициатора, соотно-

Таблица 2

Соолигомеризация изопропенилстирольных фракций с акрилонитрилом

№ опыта	Температура, °C	Инициатор	Весовое соотношение растворителя: мономеры (изопропенилстирол): акрилонитрил	Время соолигомеризации, ч	Выход соолигомеров, % вес. на мономеры*	Температура размягчения, °C	Растворитель	диметилформамид		
								P	P	P
Фракция (105–108)°C/20 мм рт. ст.										
1	140	ПТВ	100:8,67:1,33	1,0	26,0	155–160	P.	P.	P.	P.
2	140	"	"	2,0	54,0	158–163	P.	P.	P.	P.
3	140	"	"	3,0	58,8	162–168	H.P.	H.P.	H.P.	H.P.
4	140	"	"	4,0	70,0	165–170	H.P.	H.P.	H.P.	H.P.
5	140	"	"	5,0	65,0	156–160	P.	P.	P.	P.
6	140	"	"	6,0	60,0	158–162	H.P.	H.P.	H.P.	H.P.
7	140	"	"	7,0	30,0	164–168	H.P.	H.P.	H.P.	H.P.
8	80	Гиперз.	100:7,33:2,65 10:8,67:1,33	12,0	25,0	160–164				
Фракция (100–105)°C/20 мм рт. ст.										
9	140	ПТВ	100:8,67:1,33	1,0	21,0	153–160	P.	P.	P.	P.
10	140	"	"	2,0	49,5	158–162	P.	P.	P.	P.
11	140	"	"	3,0	56,2	160–164	P.	P.	P.	P.
12	140	"	"	4,0	61,0	162–168	H.P.	H.P.	H.P.	H.P.
13	140	"	"	5,0	64,0	165–172	H.P.	H.P.	H.P.	H.P.
14	140	"	"	6,0	50,0	160–168	P.	P.	P.	P.
15	80	Гиперз.	100:7,35:2,65 50:8,67:1,33	12,0	22,5	162–169				

* Гелеобразование не наступило.

** Соолигомеризацию прекращали за 30 мин до наступления гелеобразования.

шения растворитель: мономеры (изопропенилстирол: акрилонитрил) на выход и состав соолигомеров, а также на время начала гелеобразования.

Наличие двойных связей в соолигомере определялось спектральным анализом. Данные характерных опытов приведены в табл. 2. Как видно, при найденных оптимальных условиях (температура 140°C, время 4—5 ч, количество инициатора 1% на смесь мономеров, весовое соотношение CCl_4 :изопропенилстирол:акрилонитрил=100:8,67:1,33) выход соолигомера доходит до 70%.

Полученные соолигомеры растворяются в CCl_4 , бензоле и диметилформамиде.

Из использованных инициаторов: гидроперекиси кумола (Гипериз) и перекиси трет. бутила (ПТБ) наибольшие выходы соолигомеров достигаются в присутствии последнего.

Температура размягчения их колебается в пределах 153—172°C. Характеристическая вязкость в бензоле при 25°C составляет 0,1—0,2. Соолигомеры содержат в своем составе около 7—10% хлора. Образцы для получения спектров были растворены в вазелиновом масле и сняты спектры в области 500—2400 cm^{-1} . Спектры всех образцов по полосам поглощения основных структурных групп идентичны; в них хорошо проявлены полосы поглощения валентного колебания $\text{C}\equiv\text{N}$ с частотой 2230 cm^{-1} . В спектре четко видна изопропенильная группа (структурна) $\text{CH}_2=\text{C}(\text{R})\text{CH}_3$.

Полоса поглощения внеплоскостного деформационного колебания $\text{C}-\text{H}$ с частотой 890 cm^{-1} . Паразамещенное бензольное кольцо (полоса поглощения в неплоскостного деформационного колебания незамещенных водородных атомов кольца с частотой 830 cm^{-1}) имеет существенное значение для установления структуры полимерных молекул.

В целях выяснения возможности структурирования полученных соолигомерных продуктов проводились опыты со смесями соолигомер:стирол (или α -метилстирол) при их весовом соотношении 5:95—30:70.

Как показали результаты исследования этой серии, в случае применения стирола быстро наступало гелеобразование в течение 0,5—15 мин и отверженный продукт не плзвился и не растворялся в бензоле, диметилформамиде и в четыреххлористом углероде.

В случае же применения α -метилстирола гелеобразование не наступало даже за 20 ч. Полученные данные также свидетельствуют о том, что в соолигомерах главным образом содержатся изопропенильные группы, которые легко вступают в привитую соолигомеризацию со стиролом с последующим структурированием образующихся привитых сополимеров.

Изопропенильные группы соолигомеров, как и следовало ожидать, не вступают с α -метилстиролом в привитую соолигомеризацию и структурирование соолигомеров не наблюдается. Из полученных данных видно, что небольшие количества (5%) соолигомеров являются активными спивающими компонентами для винильных мономеров.

Выводы

1. Исследована соолигомеризация (теломеризация) изопропенилстирола с акрилонитрилом в растворе четыреххлористого углерода с применением в качестве инициатора перекиси трет. бутила и гидроперекиси изопропилбензола.

2. Установлено, что теломеризация указанных мономеров протекает главным образом по винильным группам и полученные теломеры содержат изопропенильные группы, способные участвовать в реакциях трехмерной сополимеризации со стиролом.

ЛИТЕРАТУРА

1. Исмайлова Р. Г., Алиев С. М., Гусейнов Н. И., Гусейнов Р. И. ДАН Азерб. ССР, № 9, 1968. 2. Исмайлова Р. Г., Алиев С. М., Гусейнов Н. И., Гусейнов Р. И., Алиева А. Г. Получение и исследование мономеров из нефтяного сырья. Сб. трудов ИНХП АН Азерб. ССР, вып. VI.

ИНХП им. Ю. Г. Мамедалиева

Поступило 20. III 1973

С. М. Элиев, Н. И. Гусейнов, Р. И. Гусейнов

Изопропенилстирол илэ акрилонитрилин биркэ олигомерләшмәси

[ХУЛАСЭ]

Үчлү бутилпероксиди вә изопропилбензолун һидропероксидинин иштиракы илэ изопропенилстиролун акрилонитриллә карбон дөрдхлорид мәһлүлунда биркә олигомерләшмәси (теломерләшмәси) тәдгиг едилмишdir.

Мүәјжән олуимушдур ки, көстәрилән мономерләрин теломерләшмәси есас е'тибагилә винил групласы үзрә кедир.

Алынан теломерләрин тәркибиндә изопропенил групласы галыркы, бунлар да йенидән стирол илэ биркә полимерләшмә реаксијасына ғадирдир.

S. M. Aliev, N. I. Guseinov, R. I. Guseinov

Isopropenyl styrene cooligomerization with acrylonitrile

SUMMARY

1. Cooligomerization (telomerization) of isopropenyl styrene with acrylonitrile in carbon tetrachloride solution has been studied by using tert-butyl peroxide and isopropyl benzene hydroperoxide as initiators.

2. Telomerization of above monomers has been established to proceed essentially at vinyl groups, telomers obtained contains isopropenyl groups, capable to involve in three-dimensional-cooligomerization reaction with styrene

шения растворитель: мономеры (изопропенилстирол : акрилонитрил) на выход и состав соолигомеров, а также на время начала гелеобразования.

Наличие двойных связей в соолигомере определялось спектральным анализом. Данные характерных опытов приведены в табл. 2. Как видно, при найденных оптимальных условиях (температура 140°C, время 4–5 ч, количество инициатора 1% на смесь мономеров, весовое соотношение CCl_4 : изопропенилстирол : акрилонитрил—100:8,67:1,33) выход соолигомера доходит до 70%.

Полученные соолигомеры растворяются в CCl_4 , бензоле и диметилформамиде.

Из использованных инициаторов: гидроперекиси кумола (Гипериз) и перекиси трет. бутила (ПТБ) наибольшие выходы соолигомеров достигаются в присутствии последнего.

Температура размягчения их колебается в пределах 153–172°C. Характеристическая вязкость в бензоле при 25°C составляет 0,1–0,2. Соолигомеры содержат в своем составе около 7–10% хлора. Образцы для получения спектров были растворены в вазелиновом масле и сняты спектры в области 500–2400 cm^{-1} . Спектры всех образцов по полосам поглощения основных структурных групп идентичны; в них хорошо проявлены полосы поглощения валентного колебания $-\text{C}\equiv\text{N}$ с частотой 2230 cm^{-1} . В спектре четко видна изопропенильная группа (структура) $\text{CH}_2=\text{C}(\text{R})\text{CH}_3$.

Полоса поглощения внеплоскостного деформационного колебания $\text{C}-\text{H}$ с частотой 890 cm^{-1} . Паразамещенное бензольное кольцо (полоса поглощения в неплоскостного деформационного колебания незамещенных водородных атомов кольца с частотой 830 cm^{-1}) имеет существенное значение для установления структуры полимерных молекул.

В целях выяснения возможности структурирования полученных соолигомерных продуктов проводились опыты со смесями соолигомер:стирол (или α -метилстирол) при их весовом соотношении 5:95–30:70.

Как показали результаты исследования этой серии, в случае применения стирола быстро наступало гелеобразование в течение 0,5–15 мин и отверженный продукт не плавился и не растворялся в бензоле, диметилформамиде и в четыреххлористом углероде.

В случае же применения α -метилстирола гелеобразование не наступало даже за 20 ч. Полученные данные также свидетельствуют о том, что в соолигомерах главным образом содержатся изопропенильные группы, которые легко вступают в привитую соолигомеризацию со стиролом с последующим структурированием образующихся привитых сополимеров.

Изопропенильные группы соолигомеров, как и следовало ожидать, не вступают с α -метилстиролом в привитую соолигомеризацию и структурирование соолигомеров не наблюдается. Из полученных данных видно, что небольшие количества (5%) соолигомеров являются активными сшивющими компонентами для винильных мономеров.

Выводы

1. Исследована соолигомеризация (теломеризация) изопропенилстирола с акрилонитрилом в растворе четыреххлористого углерода с применением в качестве инициатора перекиси трет. бутила и гидро-

2. Установлено, что теломеризация указанных мономеров протекает главным образом по винильным группам и полученные теломеры содержат изопропенильные группы, способные участвовать в реакциях трехмерной сополимеризации со стиролом.

ЛИТЕРАТУРА

1. Исмайлов Р. Г., Алиев С. М., Гусейнов Н. И., Гусейнов Р. И. ДАН Азерб. ССР, № 9, 1968. 2. Исмайлов Р. Г., Алиев С. М., Гусейнов Н. И., Гусейнов Р. И., Алиева А. Г. Получение и исследование мономеров из нефтяного сырья. Сб. трудов ИНХП АН Азерб. ССР, вып. VI.

ИНХП им. Ю. Г. Мамедалиева

Поступило 20. III 1973

С. М. Элиев, Н. И. Гусейнов, Р. И. Гусейнов

Изопропенилстирол илэ акрилонитрилин биркэ олигомерләшмәси

(ХУЛАСЭ

Үчлү бутилпероксиди вә изопропилбензолун һидропероксидинин иштиракы илэ изопропенилстиролун акрилонитриллә карбон дөрдхлорид мәһлүлунда биркә олигомерләшмәси (теломерләшмәси) тәдгиг едилмишdir.

Мүәјжән олуимушдур ки, көстәрилән мономерләрин теломерләшмәси есас етібагилә винил групласы үзрә кедир.

Алынан теломерләрин тәркибинде изопропенил групласы галырки, бунлар да јенидән стирол илэ биркә полимерләшмә реаксијасына ғадирдир.

S. M. Aliev, N. I. Guseinov, R. I. Guseinov

Isopropenyl styrene cooligomerization with acrylonitrile

SUMMARY

1. Cooligomerization (telomerization) of isopropenyl styrene with acrylonitrile in carbon tetrachloride solution has been studied by using tert-butyl peroxide and isopropyl benzene hydroperoxide as initiators.

2. Telomerization of above monomers has been established to proceed essentially at vinyl groups, telomers obtained contains isopropenyl groups, capable to involve in three-dimensional-cooligomerization reaction with styrene

УДК 561. 42 (479. 24)

ГЕОЛОГИЯ

Академик К. А. АЛИЗАДЕ, Х. С. ДЖАБАРОВА

НОВЫЕ ДАННЫЕ О ФЛОРЕ АКЧАГЫЛЬСКИХ ОТЛОЖЕНИЙ СЕВЕРО-ЗАПАДНОЙ ЧАСТИ АЗЕРБАЙДЖАНА ПО ДАННЫМ ПАЛИНОЛОГИИ

В статье изложены результаты спорово-пыльцевого анализа акчагыльских отложений пл. Хатыны, расположенной в западной части Куринской депрессии.

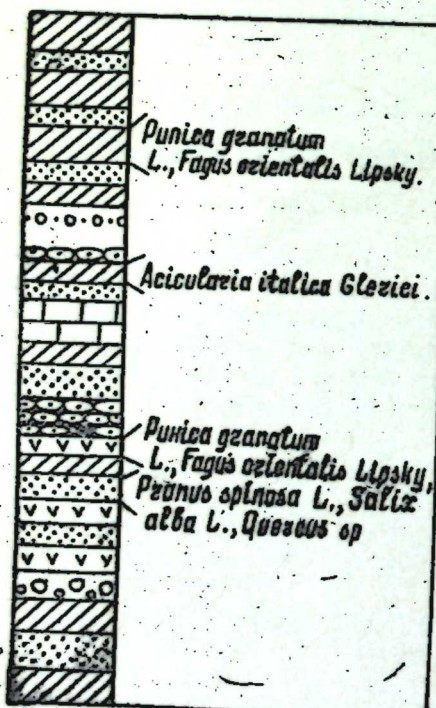


Рис. 1. Разрез акчагыльских отложений района Нафталан по К. А. Ализаде

тии широколиственных сем. *Juglandaceae*, *Ulmaceae* и субтропических растений р. р. *Rhus*, *Ilex*, *Liquidambar* и др. Очень характерно присутствие водных, прибрежно-водных растений р. р. *Phragmites*, *Саргес*, *Potamogeton* и т. д.

На р. Геокчай у с. Банк из низов акчагыла, представленных глиниами с прослойками вулканических пеплов и обилием гипса, а иногда выцветами ярозита, совместно с наземной (*Helix*) фауной, были собраны и растительные остатки.

Среди последних, наряду с ныне произрастающими здесь видами, присутствовали вечнозелёные растения—циннамонов, лавровиция [8].

Средний ачагыл. Характеризуется уменьшением пыльцы древесных и травянистых пород, а также спор. Совершенно исчезает пыльца сем. *Podocarpaceae*, *Taxodiaceae*, *Ulmaceae*, *Aceraceae* и т. д. (таблица).

Семейство и число родов акчагыльских древесных и кустарниковых пород

Выпадение числа родов спор и пыльцы из комплекса среднего подъяруса акчагыла объясняется, возможно, различными генетическими типами осадков.

Верхний акчагыл. Наблюдаются резкое увеличение пыльцы древесных растений, прежде всего лиственных пород, среди которых преобладает *Fagaceae*—80 п. з., сем. *Betulaceae*, *Juglandaceae*, *Ulmaceae*, *Aceraceae*, а теплолюбивые формы *Aralia*, *Palmae*, *Eucalyptus*, *Acer*, *Пех* и др. имеют подчиненное значение. Пыльцы *Picea* и *Pinus* представлены, примерно, в равных количествах, при незначительном участии *Podocarpus*, *Abies*, *Tsuga*, *Cedrus* и т. д.

Травянистые растения представлены весьма разнообразно, при доминирующем значении сем. *Chenopodiaceae*, водные растения *Gramineae*, *Turhaceae*, *Potamogetonaceae* занимают подчинённое положение. Количество *Ephedra* снижается до минимума, отмечено довольно много спор, представленных в основном сем. *Polypodiaceae* (*Polypodium*, *Pteris*), *Gleicheniaceae* (*Gleichenium*), *Selaginellaceae* (*Selaginella*) и (*Osmundaceae* (*Osmunda*)).

Таким образом, акчагыльскую флору составляли представители различных ценотических групп, которые могли произрастать лишь в условиях расчленённого горного рельефа.

Вертикальная зональность растительного покрова, по всей вероятности, была обусловлена климатической.

Спорово-пыльцевой комплекс акчагыльских отложений Хатыны отличается от такового юга Европейской части СССР и указывает на седиментацию их в условиях теплого и влажного климата, что подтверждается наземными гастроподами, прибрежным характером морской акчагыльской фауны и наличием водорослей *Acicularia italicica* Glerici, свидетельствующих о прозрачности вод и хорошей прогреваемостью их солнцем [5]. Указанные виды гастропод в настоящее время обитают в предгорий Талыша и Северного Ирана [7]. Таким образом, исследованный район в акчагыльский век характеризовался среднегодовой температурой 15°, среднегодовым количеством осадков от 600 до 1400 мм и в климатическом отношении может быть отнесен к влажным субтропикам с мягкой зимой и длительной засухой в летнее время [9].

Временами климат становится аридным, о чём свидетельствует образование прослоя гипса в краевых частях регрессирующего бассейна акчагыла, а также мелколистность растительных остатков [3].

Наземная фауна распределена по разрезу неравномерно, видовой состав её не изменяется, что указывает на постоянство климата в течение всего акчагыльского века [5] и подтверждается незначительным изменением состава флоры в течение всего акчагыла.

ЛИТЕРАТУРА

1. Али-заде А. А. Акчагыл Азербайджана. Л., „Недра“. 1969.
2. Али-заде К. А. Акчагыльский ярус Азербайджана. Изд-во АН Азерб. ССР. 1954.
3. Али-заде К. А., Касумова Г. М., Расулов Г. Л. Сообщение о составе флоры верхнеплиоценовой эпохи Азербайджана. „ДАН Азерб. ССР“, т. 12, 1966.
4. Богачев В. В. Геологическое строение Арешского уезда. Перепечатано из XII т. „Изв. Кавказского музея“, Тифлис. 1916.
5. Кабакова Р. И. Гастроподы акчагыльских отложений области Азербайджана. Автореф. канд. дисс. Баку, 1969.
6. Палибин И. В. Некоторые данные о плиоценовой флоре Восточного Закавказья. „Изв. Кавк. музея“, т. 8, 1915.
7. Стеклов А. А. Наземные моллюски неогена Предкавказья и их стратиграфическое значение. Изд.-во АН СССР, вып. 163, 1966.
8. Хани В. Е., Шарданов А. Н. Геологическая история и строение Куриńskiej впадины. Изд-во АН Азерб. ССР, 1952.
9. Шихлинский Э. М. Климатические особенности Азербайджанской ССР. Сб. „10 лет АН Азерб. ССР“, Баку, 1957.

Институт геологии

Поступило 20. VII 1971

Г. Э. Элизадә, Х. С. Чабарова

**Палинологија тәдгигатына әсасен Азәрбајҹаның шимал-гәрб
ниссәсиндәки ағчакил чөкүнтуләринин биткиләри
наттында мә’лumat**

ХУЛАСӘ

Палинологија тәдгигатына әсасен ағчакил чөкүнтуләриндә З спор-тозчуг комплекси аյрылыр ки, бу комплексләр ағчакилин алт, орта вә үст јарыммәртабәләринә мұвағиғдир.

Бүтүн бу комплексләрдә ағач чиңсләри үстүнлүк тәшкіл едир. Ағчакилин алт јарыммәртабәсендән үст јарыммәртабәсендә кечид заманы битки тәркибиндә о гәдәр дә бөйүк дәжишикликләр мүшәнидә олмур. Ағчакилин орта јарыммәртабәсендә исә ағач вә от чиңсли тозчугларын кәсқин азалмасы мұхтәлиф кенетик типли чөкүнтуләрлә изаһ едилir.

Спор вә тозчугларын комплексләри, еләчә дә гуруда јашајан нејван галыглары о заман исти вә нәм иглимин олмасыны тәсдиғ едир.

G. A. Alizada, Kh. S. Jabarova.

New data on flora of akchagyl deposits of the north-western part in Azerbaijan on palynology data

SUMMARY

Palynological study of akchagyl deposits allowed to distinguish 3 sporopollenin complexes.

Pollen of wood plants are dominated in all complexes. Insignificant change takes place in composition of flora in transition from lower sub-stage of akchagyl to upper one.

Spore and pollen data, sub-aerial gastropods show about wet and warm climate of akchagyl.

ГЕОЛОГИЯ НЕФТИ

Академик А. А. АЛИ-ЗАДЕ, П. А. ШОЙХЕТ

**К ОЦЕНКЕ НЕФТЕМАТЕРИНСКИХ СВОЙСТВ
ВЕРХНЕПЛИОЦЕНОВЫХ ОТЛОЖЕНИЙ
МОРСКИХ ПЛОЩАДЕЙ АЗЕРБАЙДЖАНА**

В основу современной органической теории происхождения нефти положены, как известно, представления о нефтематеринских и нефтепроизводящих отложениях. Проблема их опознавания еще далека от полного разрешения, однако исследования последних лет принесли определенные успехи в области разработки различных диагностических критериев [3–7], позволяющих в известном приближении оценивать нефтегазогенерирующую способность (так называемый „нефтематеринский потенциал“) осадочных отложений и возможность ее реализации с образованием скоплений нефти. В последнем случае потенциально нефтематеринские свиты становятся реально нефтепроявляющими.

Поскольку нефтематеринские качества пород зависят „... только от характера органического вещества...“ [6], критерии опознавания таких пород основаны на определенном комплексе свойств органического материала, характеризующих его фациально-генетический тип [4, 6].

В АзНИПИнефти проведено в таком аспекте детальное геологогеохимическое изучение органического вещества верхнеплиоценовых отложений отдельных площадей северной и средней части Бакинского архипелага и Приапшеронского участка шельфа (районы о. Глиняного, Булла-море, о. Гарасу, б. Савенко-б. Военмор, К. Игнатия, Мардакяны-море).

Перечисленные морские площади были, по-видимому, приурочены к относительно глубоководным погруженным областям палеобассейна, удаленным от речного приноса, что обусловило преимущественно глинистый характер пород акчагыла и апшерона.

Все исследованные разрезы верхнеплиоценовых отложений характеризуются развитием восстановительных условий разного типа — слабо-восстановительных, восстановительных, иногда резковосстановительных.

Обширная акчагыльская трансгрессия с вторжением солоноватых вод из Арало-Каракумского реликта [1] способствовала формированию осадочных отложений в условиях явно восстановительной геохимической фации. Обмеление и периодическое опреснение бассейна в апшеронское время привело к ухудшению фациально-геохимичес-

ких условий по сравнению с акчагыльским ярусом. По всей площади Бакинского архипелага отмечается смягчение восстановительной обстановки, выраженное чередованием по разрезу апшеронского яруса слабо-восстановительных геохимических фаций с умеренно восстановительными. При этом средне- и нижнеапшеронские отложения тяготеют к более восстановительным фациям, чем отложения верхнего подъяруса.

Согласно современным воззрениям, все перечисленные типы восстановительных геохимических фаций верхнеплиоценовых отложений морских площадей (от слабо до резковосстановительных) являются благоприятными для нефтеобразования, что не исключает количественных различий между ними в масштабах накопления органического вещества и генерации нефтяных компонентов [5]. Действительно, содержание органического вещества и битума (представленного преимущественно более чем на 90%, восстановленной бензольной частью спиртобензольного экстракта), изменяется по разрезу и в региональном плане соответственно фациально-геохимической обстановке.

Отложения акчагыльского яруса характеризуются обогащенностью пород органическим веществом (1,3–4,2%) и более высокой битуминозностью (в среднем по всему акчагылу — 0,120%), чем породы апшеронского яруса (0,2–2,4% органического вещества и 0,032% битума), а в разрезе апшеронского яруса лучшими показателями отличаются средний и нижний подъярусы (0,036 и 0,030% битума) по сравнению с верхним апшероном (0,022% битума).

Распределение битумов по площади носит различный характер в акчагыльских и апшеронских отложениях.

В акчагыльском ярусе отмечается закономерное уменьшение битуминозности пород с севера на юг (Мардакяны-море — 0,187% битума, Булла-море — 0,109%, б. Военмор — 0,046%, К. Игнатия — 0,012%), т. е. в направлении уменьшения мощности отложений (от 40–60 до 25 м).

В апшеронских отложениях, формировавшихся в условиях большей скорости прогибания бассейна и отложения ссадков, отличающихся значительной мощностью на всей площади Бакинского архипелага (порядка 700–1000 м), подобная тенденция не прослеживается, а напротив наблюдается некоторое возрастание среднего содержания битумов в указанном направлении (о. Глиняный — 0,020%, б. Военмор — 0,030%, К. Игнатия — 0,039%).

Коэффициент битуминизации органического вещества (β) пород верхнего плиоцена изменяется, за редкими исключениями, в пределах невысоких значений — 1,2–8,2%, свойственных сингенетическим битумам осадочных отложений. Содержание гуминовых кислот (гуминовый коэффициент) в органическом веществе большей части образцов из районов Бакинского архипелага относительно понижено — 5–17%; и еще меньше оно (1–5%) на площади Мардакяны-море.

Фракционный и элементарный состав битуминозных компонентов свидетельствует о достижении ими значительной степени восстановленности. Содержание масляной фракции в битуме в среднем выше 30% (пределы 10,1–47,6%), при этом оно возрастает с увеличением стратиграфической глубины, приобретая максимальные значения в породах акчагыла. Не менее показателен элементарный состав битумов, а именно — высокое содержание углерода и водорода и, особенно, повышенная величина атомного отношения H/C (1,6–2,1), как одного из характерных критериев нефтематеринских свит.

Масла битумов верхнеплиоценовых отложений площадей Бакинского архипелага содержат 30–91% углеводородов, что составляет 5,6–46,7% — в расчете на битум, 0,14–2,60 — на органическое вещество (углеводородный коэффициент) и 1,7–46,7 · 10⁻³ — на сухую по-

роду. Значения углеводородного коэффициента в большинстве случаев превышают 0,5% (0,6–0,9%), а на отдельных интервалах разреза верхнего плиоцена они выше 1% (1,4–2,6%).

В составе углеводородов метаново-нафтеновая фракция значительно преобладает над нафтеново-ароматической: отношение МН/НА изменяется от 3,5 до 33,3, причем, как правило, оно больше 10.

Комплекс рассмотренных количественных и качественных характеристик органического вещества верхнеплиоценовых отложений также, как условия накопления в удаленных от берега частях палеобассейна, где основным исходным материалом служил планктон, позволяет отнести его к автохтонному сапропелевому и гумусово-сапропелевому фациально-генетическому типу с преобладанием той или иной разности в зависимости от геологического возраста и местонахождения.

В результате проведенных исследований впервые установлена нефтегенерирующая способность акчагыльских и ашеронских отложений морских площадей. Согласно существующим критериям, количественные значения которых известны из работ [4, 7] и приведены также в нашем предварительном сообщении [2], эти отложения по своим геохимическим и битуминологическим характеристикам (восстановительным условиям среды, содержанию и типу органического вещества, степени битуминизации и гумификации последнего, обогащенности битумом восстановленными компонентами, повышенным значениям углеводородного коэффициента и атомного отношения Н/С) отнесены к нефтегенераторским свитам с категориями оценки „хорошие“ (акчагыл) и „благоприятные“ (ашерон).

Нефтепроизводящая роль верхнеплиоценовых отложений, зависящая не столько от свойств органического материала, сколько от особенностей самих пород и внешней обстановки, не могла быть реализована на площадях северной и средней части Бакинского архипелага из-за малой мощности акчагыльского яруса и отсутствия достаточных коллекторов как в акчагыле, так и в ашероне.

В то же время полученные результаты позволяют наметить перспективность тех площадей, на которых геологическая обстановка и, особенно, литофациальные условия более благоприятны для образования скоплений нефти и газа в верхнеплиоценовых отложениях, как например, в Прикуриńskiej низменности и, возможно, в южной части Бакинского архипелага.

ЛИТЕРАТУРА

1. Али-Заде А. А. Акчагыл Туркменистана, т. 1. „Недра“, М., 1961.
2. Али-Заде А. А., Шойхет П. А., Бабаева И. И. О фациальном типе органического вещества верхнеплиоценовых отложений б. Веинмор и К. Игнатия. АНХ, № 10, 1972.
3. Вассоевич Н. Б. Генетическая природа нефти в свете данных органической геохимии. Сб. „Генезис нефти и газа“. „Наука“, 1968.
4. Родионова К. Ф., Максимов С. П. Критерии диагностики нефтегазогенераторных пород. „Советская геология“, № 11, 1970.
5. Тимофеев Г. И. О роли окислительно-восстановительных фаций и катагенеза в процессах битумообразования. „Геология нефти и газа“, № 4, 1968.
6. Успенский В. А. Введение в геохимию нефти. „Недра“, т 1970. Geol. Cong. Mexico City, Section III, Petrol. Geol., 1956.

АзНИИПИнефть

Поступило 22. II 1973

Э. Э. Элизадә, П. А. Шойхет

Азәрбајҹан дәнiz саһәләри үст плиосен чекүнтуләринин ана нефтилил хүсусијәтләrinin гијмәтләндирilmәsinә даир

ХУЛАСЭ

Мәгаләдә Бакы архипелағы саһәләrinidә үст плиосен чекүнтуләринин үзи маддәләринин хүсуси қеокимјәви тәдгигиғин нәтиҗәләри вә онларын үст плиосен һөвзәсинин қеоложи, палеочографи вә башга шәрайтләriniz мә'лumatлары илә гарышылыглы әлагәси үмумиләшdirilmishdir.

Үзи маддәләrin фасиал-кенетик-сапропел вә һумуслу-сапропел типләри мүәjjәn едилмишdir. Мөвчуд амилләрә әсасән, өjrәnilәn чекүнтуләр һәмин саһәләrdә галынылыгларынын азлыгы вә коллекторларынын кифајәт гәдәр олмасына көрә өз нефтегәрәмә ролуну Јери-нә йетирә билмәjib, „Jaхshy“ (Акчагыл) вә „әлвериши“ (Ашерон) ана нефт дәстәләrinә иид едилмишdir.

Үст плиосенин даһа әлвериши қеоложи шәрайтләrә малик олан саһәләrdә перспективилиji гејд едилir.

A. A. Ali-Zade, P. A. Shoikhet

On evaluating oil—generating properties of Upper Pliocene sediments in water areas of Azerbaijan.

SUMMARY

The authors have generalized the results of their own geochemical investigation into the organic matter of Upper Pliocene sediments from different Baku Archipelago areas taking into account geological, paleogeographic and other conditions of the basin.

Facial-genetic types of organic matter have been established: the sapropelitic and the humic-sapropelitic one.

On the basis of diagnostic criteria that are available the sediments under study have been referred to „good“ (Akchagyl) and „favourable“ (Apsheron) oil-generating series. Their oil-producing role could not be realized in these areas because of the insufficient thickness or absence of sufficient oil reservoirs.

Good oil prospects of Upper Pliocene sediments are to be observed in areas characterized by more favourable geological conditions,

УДК (551. 782)

ЛИТОЛОГИ

Академик А. Д. СУЛТАНОВ, Х. М. ШЕЙДАЕВА-КУЛИЕВА

О ЛИТОФАЦИАЛЬНОЙ И ФАУНИСТИЧЕСКОЙ ХАРАКТЕРИСТИКЕ АПШЕРОНСКОГО ЯРУСА Г. БОЗДАГ (АЗЕРБАЙДЖАН)

Вопросу стратиграфического расчленения апшеронских отложений Азербайджана уделялось в последнее время много внимания, и можно сказать, вопрос этот в основном является решенным. Однако существующее расчленение основано на изучении макрофлоры, главным образом, на ее вертикальном распространении и, как оказалось, не вполне удовлетворяет геологов-нефтяников.

Дело в том, что подъем кернового материала разведочных скважин весьма ограничен, а макрофлора имеет чаще всего узко локальную приуроченность, образуя маломощные прослои известняков-ракушечников или же сильно рассеяна в массе глин. Все это вместе взятое исключает возможность получить полный комплекс руководящих окаменелостей, а следовательно, не дает точной ориентировки забоев скважин. В этой связи комплексное изучение апшеронских отложений приобретает важное научное и практическое значение.

В настоящей статье нами рассматривается вопрос расчленения апшеронского яруса г. Боздаг. Апшеронские отложения, принимающие участие в геологическом строении одноименного хребта, представлены мощной толщей песчаных алевритовых и глинистых образований. По литологическому составу и фаунистическим данным эти отложения расчленяются здесь на три подъяруса: нижний, средний и верхний.

Нижнеапшеронский подъярус (280 м) хорошо обнажается в ядре Боздагской антиклинали и на правом берегу Мингечаурского водохранилища, где он представлен светло-серыми, зеленовато-серыми, тонкослоистыми известковистыми глинами с прослойками подчиненных им песчаных и алевритовых образований, часто очень плотных.

Наиболее характерными для этого подъяруса из остракод являются: *Trachyleberis azerbaijanica* (L1v.), *Leptocythere multituberculata* (L1v.), *L. terrucosa* (L1v.), *L. bicornis* (L1v.), *Candona abichi* L1v.

Среднеапшеронский подъярус (480 м) обнажается на левом берегу водохранилища Мингечаур. Литологически отложения этого подъяруса представлены светло-серыми и розовато-серыми слоистыми глинами, которые образуют мощные (20–25 м) пакеты, че-

рующиеся с прослойками и пакетами песчаных и алевритовых пород и характеризуются пышным расцветом фауны остракод, как *Leptocythere baciana* (L1v.), *L. camelli* (L1v.), *L. arecina* (L1v.), *L. andrusotti* (L1v.), *L. saljanica* (L1v.) *L. marica* (L1v.) *L. quadrituberculata* (L1v.), *Caspiolla acronasuta* (L1v.).

Верхнеапшеронский подъярус также очень хорошо обнажен в овраге на левом берегу Мингечаурского водохранилища, где его мощность составляет 580 м. Литологически он выражен однотипной толщей серовато-бурых слоистых глин и желтовато-серых и серых, часто гипсонасыщенных песчаников и алевролитов. Очень легко отмечаются тонкие пропластки вулканического пепла. При переходе от среднего к верхнему апшерону происходит уменьшение количественного состава некоторых видов, как: *Leptocythere camelli* (L1v.), *L. arecina* L1v.)

Наиболее характерными для верхнего подъяруса являются: *Trachyleberis cavernosa* (Schagap), *Tr. bailovi* (L1v.), *Caspiolla orientalis* (L1v.), *Cytherissa bogatschovi* (L1v.) *Caspiocyparis filona* (L1v.). Исчезновение в верхнем подъярусе некоторых остракод среднего апшерона и появление новых групп, по всей вероятности, является результатом быстрого осолонения бассейна в это время, о чем свидетельствуют формы, как *Leptocythere malta* (L1v.), так и появление *Grafiocypria elongata* (Schw.), *Candonella subelipsoida* (Schat.) и др., имеющие непосредственную связь с бакинским ярусом. Несомненно, эти формы указывают на повышенную соленость воды в верхнеапшеронское время, сравнительно с среднеапшеронским.

ЛИТЕРАТУРА

1. Ализаде К. А. Материалы к подразделению апшеронского яруса. Изв. АКИИ, 1936. 2. Султанов А. Д., Алиев А. Г., Акаев В. П., Гадиева Т. М. Литология отложений Апшеронского яруса Азербайджана. Изд-во АН Азерб. ССР. 1963. 3. Султанов К. М. Апшеронский ярус Азербайджана. Баку, 1964.

Институт геологии

Э. Ч. Султанов, Х. М. Шејдајева-Гулијева

**Боздагда (Азэрбајҹан) Абшерон чөкүнүләринин литологи
вә фаунистик характеристикасы**

ХУЛАСЭ

Мүэллифләр Абшерон чөкүнүләринин литологија вә микрофаунасыны өјрәниб, оны үч јарымшәбәје бөлмүшләр:

Алт Абшерон чөкүнүләри—Јашылыгыл-боз рәңкли кийләрдән ташкил олунмушдур—*Trachyleberis azerbaijanica* (L1v.), *Leptocythere multitudinosa* (L1v.).

Орта Абшерон—чәһрајылтыл-боз рәңкли кийләрлә гумдашылган вә өлевитләрин чөвбәләшмәсендән ибарәтдир. *Leptocythere baciana* (L1v.), *L. arecina* (L1v.), *Caspiolla acronasuta* (L1v.).

Үст Абшерон—тунд боз вә сағымтыл рәңкли кийләрдир. *Trachyleberis carerkosa* (Schagap), *Caspiolla orientalis* (L1v.).

A. D. Sultanov Ch. M. Sheydajeva-Kulijeva

About Lithofacies and Faunistic characteristics of Apscheron stage of Bozdag (Azerbaijan)

SUMMARY

Apscheron deposits of Bozdag section are subdivided into 3 substages; lower, middle, upper ones.

Each of the distinguished substages characterised both lithofacially and microfaunistically.

УДК 551. 24

ГЕОЛОГИЯ

Д. М. ДАНИЛЕВСКАЯ, Г. Л. РАСУЛОВ

**ВЫЯВЛЕНИЕ НЕКОТОРЫХ ОСОБЕННОСТЕЙ НОВЕЙШИХ
ДВИЖЕНИЙ ПУТЕМ АНАЛИЗА БАЗИСНЫХ ПОВЕРХНОСТЕЙ
(ПРЕДГОРНЫЕ ЗОНЫ ЮЖНОГО СКЛОНА
БОЛЬШОГО КАВКАЗА)**

(Представлено академиком АН Азербайджанской ССР А. А. Якубовым)

Применение морфометрического метода в поисках новейших тектонических структур во многих районах Советского Союза дало высокую эффективность.

Одной из форм выявления тектонических движений, имеющих место в новейшем этапе развития южных предгорий Большого Кавказа является установление базисных поверхностей и их разностей, которые отражают как региональные, так и локальные, а также современные, новейшие и глубинные тектонические структуры.

По определению В. П. Философова (1960), базисной поверхностью является обобщенная картина продольных профилей однопорядковых долин.

При интерпретации карт базисных поверхностей мы исходили из факта преобладания роли неотектонических движений в формировании структур исследуемого района. Следует отметить, что на составленной карте базисных поверхностей 2-го порядка отражаются новейшие движения, главным образом происходящие в антропогене.

На основании анализа карт базисных поверхностей удалось выявить морфометрические аномалии на различных площадях исследуемого района и проследить их развитие.

На карте базисной поверхности 2-го порядка, построенной с сечением горизонталей в 20 м четко выражаются почти все локальные структуры (антеклинальные и синеклинальные), выявленные геологогеоморфологическими методами. Антеклинальные поднятия выделяются по характерному резкому сгущению изобазит, имеющих различные формы. Наиболее характерными из них являются овальные (Гевандлинская, Каракеллинская антиклинали), эллипсоидные (Кудбарекдагская, Восточно-Дашюзская, Айдынбулагская антиклинали), петлевообразные (Дашюзская антиклиналь), полукольцевые и т. д.

Следует сказать, что сгущение или разрежение изобазит отражает не только локальные поднятия, но и области общих поднятий и опусканий, что дает возможность разделить эти движения по степени

интенсивности. Участкам наиболее интенсивных поднятий соответствует большая кривизна базисной поверхности и, следовательно, на карте более сгущенный рисунок изобазит 2-го порядка.

Как видно из карты базисной поверхности 2-го порядка, наиболее интенсивные тектонические движения как положительного, так и отрицательного знака проявили себя в северо-западной (между р. Алань и р. Алиджанчай) и юго-восточной частях (между р. Геокчай и р. Ахсучай) района.

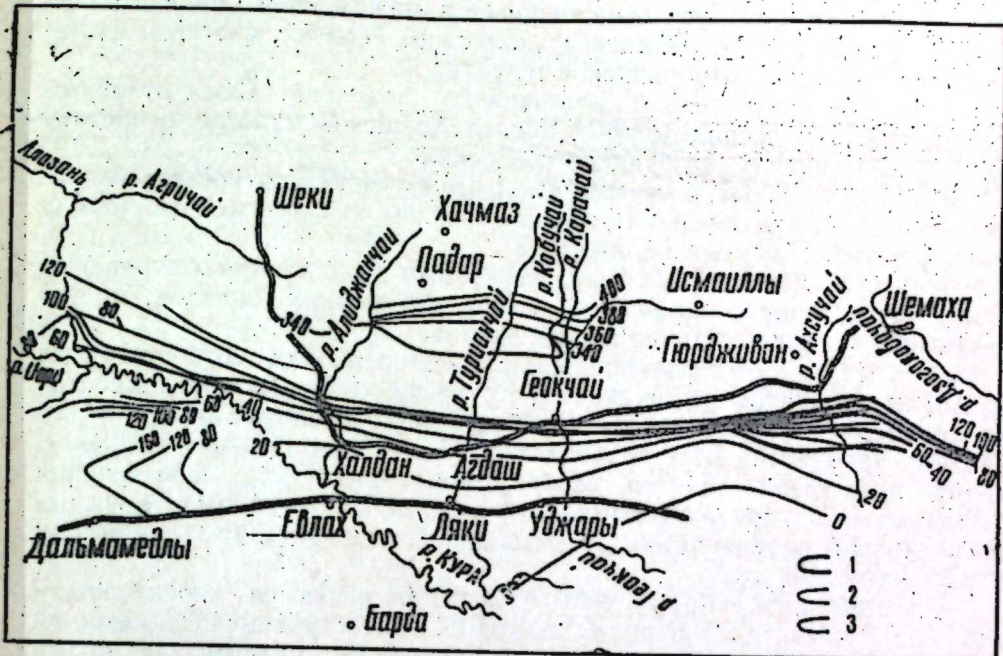


Рис. 1. Карта базисных поверхностей 3—4—5 порядка Южного предгорья Большого Кавказа. Базисная поверхность 3-го порядка (1); 4-го порядка (2); 5-го порядка (3).

Отмечаемые на карте малые заложения между изобазитами указывают на участки новейших тектонических поднятий, которые характерны для южных крыльев антиклинальных структур. К таким относятся крутые южные и юго-западные крылья Западно-Дашюзской, Дашюзской, Кудбарекдагской, Колкашэнской структур. В пределах северных крыльев указанных антиклиналей заложения между изобазитами относительно больше. Значительное разрежение изобазит, а в некоторых случаях даже отсутствие их характерно для участков новейших тектонических опусканий. На площадях новейших опусканий уклоны долин значительно уменьшаются, вследствие чего величина заложения изобазит возрастает в несколько раз. К таким отрицательным структурам можно отнести широкую Арешскую мульду, которая берет начало вблизи юго-восточного погружения Кудбарекдагской и Аджиноурской складок и прослеживается в юго-восточном направлении до Геокчая и Ивановского плато. В пределах этой мульды заложение между изобазитами доходит до 1—3 км, тогда как между указанными изобазитами в пределах южных крыльев антиклинальных складок не превышает 100 м.

С другой стороны, если на северных и западных участках района значение высот изобазит достигает 500 м, то на южных участках эти значения понижаются до 0 м и иногда принимают отрицательные величины (10 м).

Заложения между изобазитами на крайнем юго-восточном участке площади превышают 10–15 км, что свидетельствует об интенсивном погружении этого участка.

Итак, на основании анализа карты базисной поверхности 2-го порядка в исследуемом районе можно выделить несколько участков с различными по интенсивности проявления новейшими движениями.

1 участок интенсивных поднятий. Это междуречье Алахани и Алиджанчай. С севера он ограничивается долиной р. Агричай, с юга — северным бортом Арешской мульды. Кроме того, к участку интенсивных поднятий следует отнести участок междуречья Геокчая и Ахсучая. С севера его ограничивает долина р. Геокчая, с юга он заканчивается Южно-Карамарьянской структурой.

2 участок сравнительно интенсивных поднятий. Сюда относится группа складок, расположенных южнее Арешской мульды, к востоку от нижнего течения Алахани до р. Геокчай.

3 участок слабых погружений. К этим участкам относится Арешская мульда и другие синклинальные прогибы, расположенные между зонами антиклинальных поднятий.

4 участок интенсивных прогибаний. Эти участки прослеживаются к югу от восточного окончания группы боздагских складок, протягивающихся в юго-восточном направлении.

Если на карте базисной поверхности 2-го порядка отображаются локальные поднятия и опускания, то касти базисных поверхностей более высоких порядков позволяют выделить отдельные более региональные территории общего поднятия и опускания. Поэтому для получения качественно нового изображения поверхности и выделения региональных и локальных поднятий и опусканий нами было построено несколько поверхностей, отличающихся друг от друга на единицу порядка (рис. 1).

Базисные поверхности 4-го порядка не являются характерными для нашей области. Они вырисовываются в междуречье Алиджанчай и Геокчай изобазитами высот 340–400 м. Этот участок, видимо, в момент образования базисной поверхности 4-го порядка испытывал относительно меньший подъем по сравнению с северо-западным и юго-восточным участками района.

Данный факт подтверждается также при сопоставлении этой карты с тектонической схемой района. Происходит расширение Арешской мульды за счет погружения Камыкская-Аджибулагской антиклинальной зоны к востоку от долины Алиджанчай.

При анализе карты базисной поверхности 3-го порядка наблюдается нарастание интенсивности новейших движений от центральной части в западном и в восточном направлениях. Это подтверждается наличием изобазит, вырисовывающихся в пределах антиклинальных складок Боздага.

Относительно меньшее заложение между изобазитами базисной поверхности 3-го порядка, имеющее форму дуг выпуклостью обращенных к северу, свидетельствует об интенсивности проявления новейших движений в момент образования данной поверхности.

К югу от этого участка в бассейне р. Кюракчай подковообразно вырисовываются изобазиты, вершины которых почти совпадают с руслом указанной реки. Наблюданное увеличение заложения между изобазитами в юго-восточном направлении свидетельствует о том, что этот участок испытывал погружение в юго-восточном направлении. Если заложение между изобазитами в районе Боздага составляло не более 1 км, то здесь оно превышает 10 км. Изобазиты базисной поверхности, которые вырисовываются в юго-восточной части района, к югу от широты Ахсу, к востоку от Кюрдкубу свидетельствуют о

нарастании новейших движений в северном направлении. Так, например, если заложение между изобазитами высотой 40 и 60 м составляет 4–5 км, то к югу от Ахсу эта величина уменьшается до 1,5–2 км (между изобазитами с высотами 100–129 м). Наблюдается прослеживание изобазит высотой 100 м по всему району. Все остальные изобазиты прерываясь, не прослеживаются в центральной части области. Это объясняется погружением указанной территории, где происходит нарастание порядка долин.

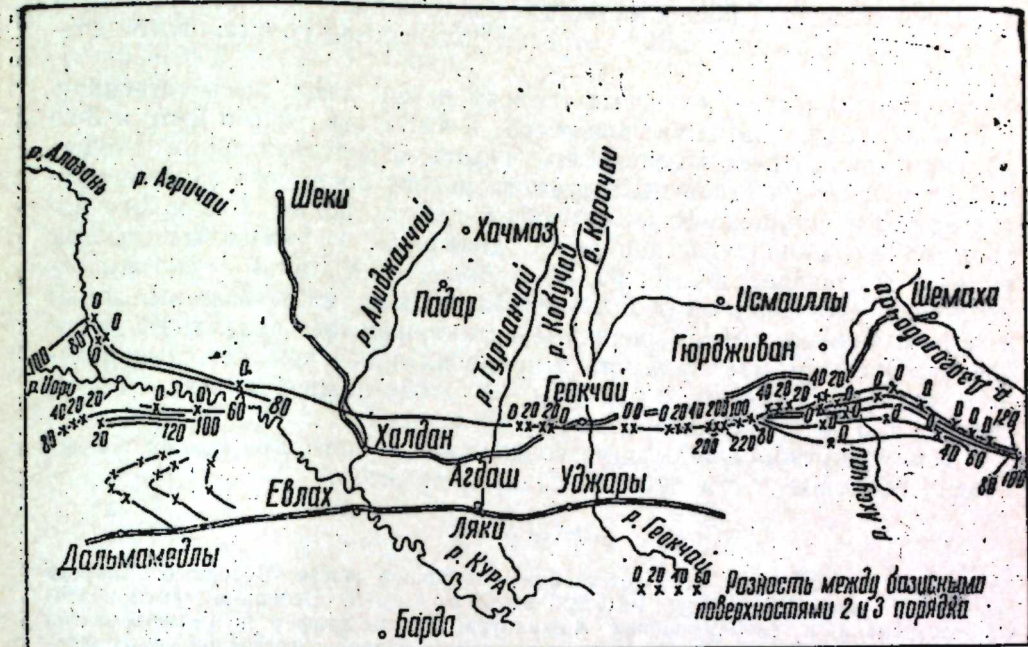


Рис. 2. Карта разности базисных поверхностей 2-го и 3-го порядка Южного предгорья Большого Кавказа

Карта базисной поверхности 5-го порядка отображает качественно новую поверхность. Она главным образом выражает новейшие движения, имеющие место в верхнеплиоценовое время. Как известно из карты, этими движениями охвачены были южная половина области от р. Алахань до р. Ахсу. В пределах этого участка наблюдается непрерывное прослеживание изобазит высотой от 20 до 120 м. Там, где происходит сгущение изобазит происходит интенсивное поднятие структур в новейшем этапе. К таким участкам относятся юго-западные крылья Коджашенских складок (западной, центральной, восточной), Карамарьянская и Южно-Карамарьянская группа складок. В пределах северных крыльев указанных структур происходит увеличение заложений между изобазитами. Такое же увеличение наблюдается в синклинальных прогибах. Например, если заложение в пределах южных крыльев не превышает 1 км, то в пределах синклинальных прогибов, как в юго-западной части Арешской мульды, эта величина измеряется 5 км. Об интенсивном погружении южного и юго-восточного участков района свидетельствует значительное увеличение заложения между изобазитами. Так, в районе г. Агдаш заложение между изобазитами высотой 40 и 20 м составляет 6–7 км. На еще более интенсивное погружение в юго-восточном направлении показывает нарастание заложения между нулевой и двадцатой изобазитами. Эта величина достигает более 20 км. Данный факт подтверждается и нарастанием порядка долин, как было указано выше.

Движения, в результате которых образовалась базисная поверхность 5-го порядка, по времени можно отнести к верхнеплиоценовому неотектоническому этапу.

Итак, базисные поверхности 3-го, 4-го, 5-го порядков, прослеживаются главным образом, в южной депрессионной части зоны исследуемого района. Если базисные поверхности 2-го порядка указывают на более дробные и сравнительно молодые движения, то более высокие порядки характеризуют значительно крупные этапы движения. Разность базисных поверхностей дает возможность проследить новейшие движения за отдельные отрезки плиоцен-антропогенового времени.

Карты разностей базисных поверхностей дают количественную характеристику новейших движений, в частности, карта 2-го и 3-го порядка (рис. 2) дает возможность судить о результативном смещении отдельных участков исследуемого района по высоте за промежуток времени, прошедший между образованием долин 3-го и 2-го порядков. Так, амплитуда новейших движений за указанный отрезок времени составляет 20, 40, 60, 80 и более м. К таким участкам относятся северо-западные (Коджаши-Боздагские антиклинальные зоны) и юго-восточные (Карамарьямское антиклинальное поднятие) части района. Здесь размах поднятий в пределах приосевой северо-восточной части Боздагской структуры за хазар-нижнебакинское время достиг 120 м, а в сводной части—160 м.

Таким образом наибольшие вздымаия в новейшее время испытывали сводовые части антиклинальных структур.

ЛИТЕРАТУРА

1. Ахмедбейли Ф. С. Неотектоника восточной части Большого Кавказа. Изд-во АН Азерб. ССР, Баку, 1966.
2. Гаврилов М. Д. Основные черты новейшей тектоники и геоморфологии Аджиноура. Труды конфер. по геоморфологии Закавказья. Баку, 1953.
3. Геоморфологические методы при нефтегазопоисковых работах. Изд-во „Недра“, 1966.
4. Морфологический метод при геологических исследованиях. Материалы первого межведомственного совещания по морфометрическому методу поисков тектонических структур, состоявшегося в Саратове с 1 по 4 февраля 1962 г. Изд-во Саратовск. Ун-та, 1963.
5. Мусеев М. А. Новейшая тектоника Средне-Куринской впадины. „Уч. зап. АГУ, серия геол.-географ.“, № 1, 1966.
6. Ширинов Ф. А., Баженов Ю. П. Геологическое строение предгорий южного склона Большого Кавказа. Азернефть, 1962.
7. Философов В. П. Морфометрический метод выявления структур. Труды ВНИГНИИ. Изд-во „Недра“, М., 1966.
8. Философов В. П. Некоторые теоретические вопросы морфометрического метода выявления тектонических структур. Изд-во Саратовск. ун-та, 1963.

Институт геологии

Поступило 28. IV 1972

Д. М. Данилевская, Г. Л. Рэсулов

Базис сэтіләринин анализи иәтичесинде жени тектоник нәрәкәтләри бә'зи хүсусијәтләринин мүәյҗән едилемәси
(Бөйүк Гафгазын чәнуб јамачының дағдашы зоналары)

ХУЛАСӘ

Базис сэтіләринин тә'жи едилемәси иәтичесинде өјрәнилән эразиинин мұхтәлиф саһәләриндә морфометрик аномалияларын олмасы мүәйҗәнләшdirилмишdir.

Изобазисләр иәници локал галхмалары, һәтта үмуми галхма вә چекмә саһәләрини әкс етдirmәклә бәрабәр, кәркинилик дәрәчәсинә көрә жени тектоник нәрәкәтләри аյғылмасына ыкман жарадыр.

Жени дөврдә эн чох антик линнлашын тәз һиссәси галхмаја мә'ру з галмышдыр.

D. M. Danilevskaya, G. L. Rasulov

Exposition of some newest movements peculiarities by the analysis of basis surfaces (piedmont zones of great caucasus southern slope)

SUMMARY

Morphometric anomalies were exposed as the result of basic surface determination. That gave the possibility to single out the newest movements according to the intensity.

УДК 553.499 (479.24)

ГЕОЛОГИЯ

Академик М. А. КАШКАЙ, А. А. МАГРИБИ, А. Г. АЛЛАХЯРОВ,
Б. Н. ЭФЕНДИЕВ

ОБ АГКАИНСКОМ МЕСТОРОЖДЕНИИ РТУТИ В
ЦЕНТРАЛЬНОЙ ЧАСТИ МАЛОГО КАВКАЗА

Месторождение ртути Агкая расположено в окрестностях одноименного селения, в 50 км к северо-востоку от районного центра Кельбаджары. Оно приурочено к одной (Агяташ—Агкаинская) из четырех основных ртутоносных зон Центральной части Малого Кавказа, установленных М. А. Кашкаем и Т. Н. Насибовым (1965). О геологии месторождения отрывочные сведения приводятся в отчетах В. М. Аллахвердиева, Х. Х. Фарзуллаева и Х. Х. Раширова.

В настоящей статье освещаются геолого-структурная характеристика, петрография, минералогия руд и их геохимические особенности рассматриваемого месторождения.

В геологическом строении месторождения принимают участие нижнесеноновые кремнисто-серпентитовые сланцы, хлоритизированные туфопесчаники, красноцветные аргиллиты, перекристаллизованные (сахаровидные) известняки. Из интрузивных пород здесь развиты серпентинизированные перidotиты и габброиды. Распространены также мелкие линзо- и штокообразные тела диоритовых порфиритов, кварцевых диоритов, реже гранодиоритов. Из более молодых (миоплиоценовых) магматических образований отмечены андезиты, андезито-дациты, реже липариты, образующие дайки и штокообразные тела.

В структурном отношении месторождение приурочено к одному из сложных узлов Севано-Карабахской тектонической зоны, а именно к стыку Джамилли-Сарыдаш-Агкаинского глубинного разлома с Восточно-Карабахским надвигом.

В пределах месторождения отчетливо проявляются близширотного и северо-восточного (антекавказского) направлений линии разрывов, имеющие важное значение в формировании рудных зон. Вдоль этих разрывов породы сильно изменены, а гипербазиты превращены в листвениты.

На месторождении выявлено шесть рудных зон, среди которых наиболее перспективными являются вторая, пятая и шестая (рис. 1).

Вторая рудная зона прослеживается на 300–320 м при мощности 2–2,5 м и падении ЮЗ 60–65°. Она представлена многочисленными линзообразными лиственитовыми телами, которые по простиранию то разветвляются, то соединяются, а на глубине составляют единое тело.

Вмещающими породами по висячему контакту зоны являются кварц-серпентитовые сланцы, раскристаллизованные известняки, а по лежачему — серпентиниты и габброиды. Оруденение ртути отмечается как в лиственитах, так и во вмещающих породах висячего контакта с содержанием ртути 0,3–0,5%. Оруденение прослеживается на глубину до 150–160 м.

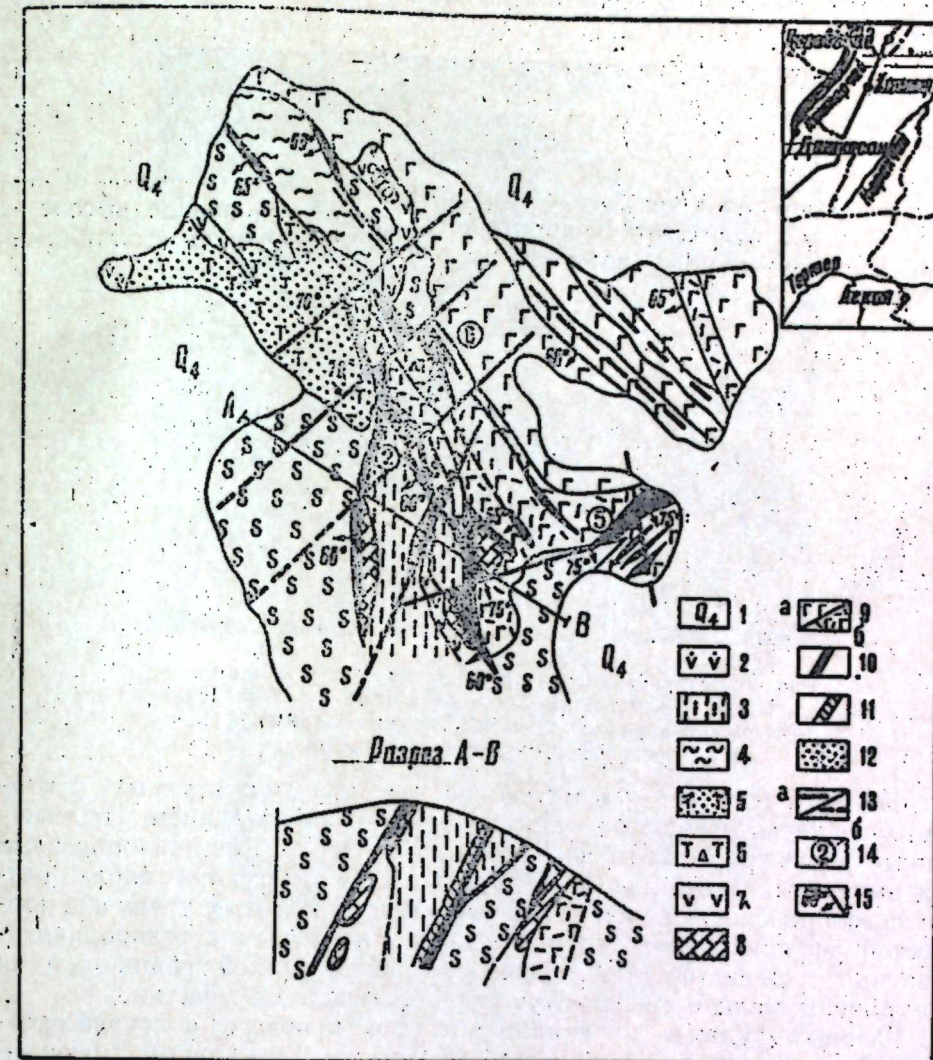


Рис. 1. Схематическая геолого-структурная карта Агкаинского месторождения ртути: 1—современные отложения; 2—неогеновые андезито-дациты; нижнесеноновые; 3—кремнисто-серпентитовые сланцы; 4—красноцветные аргиллиты; 5—туфопесчаники; 6—туфобрекчи; 7—порфириты; 8—известняки перекристаллизованные; 9—постсантонасные габброиды: а—неподвергнутые; б—раздробленные; 10—листвениты рудоносные; 11—рутная минерализация; 12—никелевая минерализация; 13—разрывные нарушения типа сбросо-сдвигов: а—установленные; б—предполагаемые; 14—рудные зоны; 15—элементы залегания.

Пятая рудная зона прослеживается на 110–120 м при мощности 1–10 м и падении ЮВ 70–75°. Представлена она линзовидным лиственитовым телом. Вмещающими породами по висячему контакту зоны являются серпентиниты и габброиды, а по лежачему — измененные габбрисилы. Оруденение ртути отмечается как в лиственитах, так

и во вмещающих их породах лежачего контакта с содержанием ртути от 0,02 до 0,76%. Зона на глубине пока не изучена.

Шестая рудная зона прослежена на 230—250 м при мощности 0,5—1,5 м и падении ЮЗ 65—70°. Представлена сильно окварцованным лиственитовым телом. Вмещающими породами по висячему контакту зоны являются серпентиниты, а по лежачему — габброиды. Оруденение ртути отмечается в лиственитах и вмещающих их породах с содержанием ртути 0,02—0,5%.

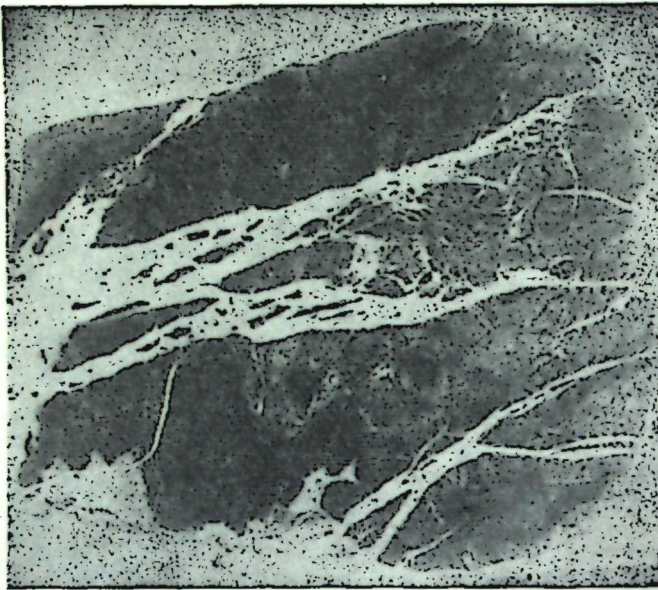


Рис. 2. Брекчиевидная и прожилковая текстуры лиственита. Обломки измененных пород (черное); киноварь (светло-серое); кварцево-карбонатные прожилки (белое). Полированный штук. Натур. величина.

Формы и размеры рудных тел подчиняются структурным фактам. Они характеризуются многоярусным распределением. Промышленные руды прослежены до глубины 150—160 м. Так, жилообразные или вытянутые линзовидные рудные тела располагаются вдоль разрывов, сопровождающихся сетью оперяющих сколовых трещин и плоскостей экранирующих погод. К местам пересечения разноориентированных трещин (по М. А. Кашкею) и зонам мелкой трещиноватости приурочены мелкие гнезда ртути или обогащенные участки.

Главным рудным минералом является киноварь, а другие представлены пиритом, халькопиритом, сфалеритом, никелином, магнетитом, галенитом, гематитом, хромитом; из гипергенных присутствуют мединабарит, халькозин, ковеллин, малахит, азурит, заратит (?), лимонит. Значительно развиты жильные минералы — кварц, кальцит, халцедон, магнезит, барит и др.

Киноварь встречается в самых различных формах, текстурных и структурных соотношениях: в прожилках, линзах и во вмещающих породах, особенно в сочетании с кварцем и кальцитом. Выделяются тонко-, мелко- крупновкрапленные зерна киновари. Преимущественно распространена брекчиевидная текстура сложенная обломками вмещающих пород, скементированных киноварью (рис. 2). Землистая текстура образуется порошкообразными скоплениями киновари в виде налетов и корок в пустотах вмещающих пород и жильных минералах (рис. 3); часто наблюдаются скопления зерен киновари среди других сульфидов. Порфировидная структура обусловлена выделениями более

крупных зерен киновари среди сравнительно мелкозернистой ее массы или среди вмещающих пород.

Микротвердость киновари (определенная микротвердометром ПМТ-3 на полированных шлифах) находится в пределах 49—102 кГ/мм². Средние значения твердости киновари по всему Агкаинскому месторождению колеблются в пределах 58—92 кГ/мм², что соответствует 2,51—2,93. Киноварь характеризуется анизотропией твердости I и II рода. В табл. 1 приводятся данные рентгенограмм.

Таблица 1
Результаты расшифровки рентгенограммы киновари из Агкаинского месторождения¹

№ п.п.	<i>J</i>	$\frac{da}{n}$	Примечание
1	3	3,68 (3,70)	
2	10	3,35 (3,37)	
3	6	3,15 (3,16)	
4	10	2,854 (2,869)	
5	1	2,273 (2,294)	
6	3	2,071 (2,074)	
7	2	1,77 (1,980)	Съемка производилась на аппарате УРС-50-и. Условия съемки: Fe-излуч.; 10 mA; 25 kV

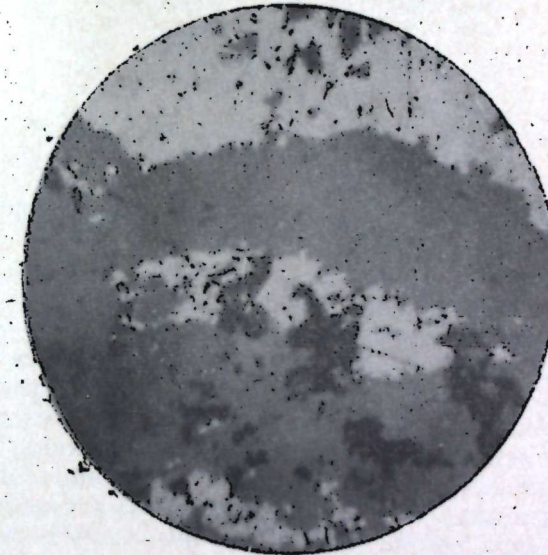


Рис. 3. Киноварь (белое) заполняет пустоты в кальците (серое). Полированный шлиф. Увел. 1:10.

Пирит наиболее распространенный в ассоциации киновари. Встречается в виде вкраплеников (рис. 4), тонких прожилков (мощностью 0,3—0,5 см), гнезд и мелких линз. Линзу сплошной пиритовой руды пересекла скв. № 7 на протяжении 6 м. В зоне первичной минерализации пирит и киноварь ассоциируют с халькопиритом, образующим мелко- и среднезернистые агрегаты, вкраплениники и нитевидные прожилки, а иногда гнездообразные скопления. Микроскопически киноварь, как более поздняя, обволакивает халькопирит. Наиболее тесно халькопирит ассоциирует также со сфалеритом, встречающимся редко

¹ В скобках указаны данные по В. И. Михееву (1957).

в виде мелких вкраплений (0,1—0,2 см). В этой ассоциации магнетит, галенит, гематит, хромит имеют ограниченное распространение.

Метасинабарит, будучи приурочен исключительно к участкам выделения киновари, встречается в виде темно-коричневых корочек на агрегатах киновари в зоне скисления.

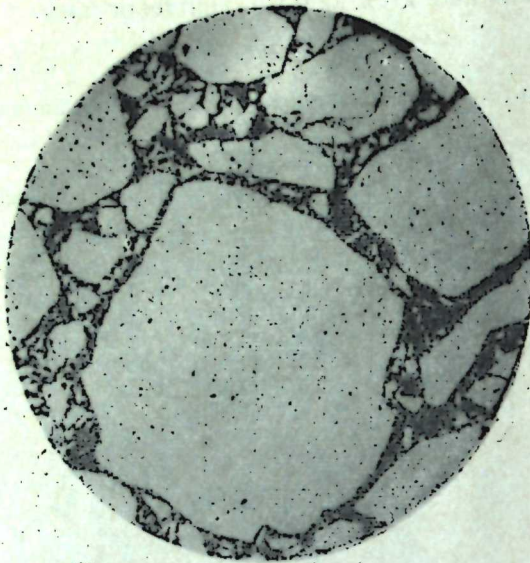


Рис. 4. Пирит (белое), перудиевая масса (черное).
Полированый шлиф. Увел. 90.

Кварц и кальцит образуют прожилки и жилы северо-западного и субмеридионального простирания, мощностью 2—3—10—15 см, к которым приурочивается часто ртутная минерализация. Эти минералы присутствуют в нескольких генерациях. Халцедон, магнезит, барит количественно уступают кварцу и кальциту.

Характер распределения элементов в рудах и во вмещающих их лиственитах изучался методом количественно-спектральных анализов. Всего произведено 110 анализов, результаты которых сведены в табл. 2. Из этих 19 элементов наиболее характерны никель, кобальт, медь, цинк, хром, ванадий, сурьма, мышьяк, марганец, молибден.

Никель главным образом приурочен к лиственитам и входит в состав никелевого хлорита и других никелистых силикатов. Содержание его в лиственитах крайне неравномерное, колеблется — от 0,001 до 0,5%. При этом наблюдается увеличение содержания его от центральных частей лиственитовых тел к контакту их с вмещающими породами. Кобальт встречается несколько реже, чем никель. Он присутствует в виде изоморфной примеси к Fe²⁺ в пирите или совместно с никелем в магнезиально-железистых силикатах.

Значительно меньше фиксируются цинк, ванадий, мышьяк, сурьма, молибден. В отдельных пробах установлены цирконий, галий, скандий, бериллий, иттрий, иттербий, стронций, барий.

Следует отметить, что для большинства элементов характерен малый разброс их концентраций. Исключение представляют никель, хром, марганец, отличающиеся значительно большими колебаниями концентраций этих элементов.

В заключение отметим, что ртутное оруденение на Агкаинском месторождении приурочено к зонам тектонического брекчирования и

контролируется разрывными нарушениями северо-восточного и северо-западного направлений. Оно генетически связано с постмагматической деятельностью миоплиоценовых субвуликанических интрузий андезито-дакитового состава. Устанавливается распространение ртутного оруденения и к северу от месторождения, в связи с чем считаем

Таблица 2
Распространение элементов в рудах и
вмещающих их лиственитах Агкаинского
месторождения

Элементы	Частота встречаемости, %	Содержание, % (от—до)
Никель	100	0,001—0,5
Кобальт	93	0,001—0,02
Молибден	25	0,0001—0,0002
Медь	100	0,0001—0,003
Цинк	32	0,001—0,01
Хром	92	0,003—1,0
Цирконий	8	0,001—0,02
Галий	14	0,001
Скандиний	4	0,003—0,005
Бериллий	7	0,0001
Ванадий	37	0,001—0,02
Иттрий	8	0,003
Иттербий	5	0,001
Сурьма	36	0,005—0,02
Мышьяк	40	0,01
Стронций	7	0,003—0,02
Барий	7	0,01—0,02
Марганец	95	0,001—1,0
Титан	51	0,001—0,5

целесообразным направить дальнейшие поисково-разведочные работы в районы с. Черектар и Майджимек, где развиты ртутноносные лиственитовые зоны. Интерес представляют также нижнесенонские известняки в северо-западной части месторождения. Развитые в них разрывные нарушения сопровождаются джеспорондоподобными породами, содержащими ртутную минерализацию. Выяснение закономерности развития и промышленной значимости ртутных руд должно быть одной из основных задач изучения Агкаинского месторождения.

Ртутное оруденение на Агкаинском местоождении разведано до глубины 150—160 м, где оно увеличивается с глубиной, в связи с чем необходимо изучение нижних горизонтов месторождения, с целью выявления слепых рудных залежей.

ЛИТЕРАТУРА

- Кашкай М. А., Насибов Т. Н. Ртутоносность Севано-Акеринской металлогенической зоны Малого Кавказа. „Геол. рудн. месторожд.“, № 6, 1965.
- Кашкай М. А., Магриби А. А. Отчет о научно-исследовательской работе за 1968—1970 гг. Фонды Ин-та геологии АН Азерб. ССР, 1970.
- Магриби А. А., Мустафаев Б. В., Аллахяров А. Г. О кочубееве из Агкаинского месторождения ртути. „Изв. АН Азерб. ССР, серия наук о Земле“, № 8, 1973.

Институт геологии

Поступило 30. I 1972

М. Э. Гашгай, Э. А. Магриби, Э. Н. Аллахъяров, Б. Н. Эфендиев

Кичик Гафгазын мәркәзи һиссәсендәги Аггаја чиң
јатағы нағында

ХУЛАСЭ

Кичик Гафгазын мәркәзи һиссәсендә Севан—Гарабеғ тектоник зонасының чиң золағында йерләшән Аггаја јатағы Ашағы Сенон яшлы шистләрдән, туфгумдашлырындан, аркиллитләрдән вә эһәнкдашылағындан ибаратdır. Интрузив сүхурлардан перидотитләр, габрондләр вә гранитоидләр кениш яйымышыр. Чаван әмәләкәлмәләр (Миоплиосен) андезитләрдән, андезит-даситләрдән, бә'зән липаритләрдән тәшкүл едилмишdir. Јатагда киновардан әлавә, филиз минералларындан пирит, халкопирит, сфалерит, никелин, галенит, метасиннабарит, халкозин, ковеллин, малахит, азурит, заратит (?) вә с., гејри-филиз минераллардан исә кварс, калцит, магнезит вә баритә раст кәлинир. Филиз вә әтраф сүхурлар үчүн ән сәчијәви элементләр Ni, Co, Cr, V, Sb, As, Mo, Mn-дыр.

Јатаг Миоплиосен яшлы, андезит-дасит тәркибли субвулкан интрузијаларының постмагматик фәәлијәти вә мәнишәни илә әлагәдардыр.

M. A. Kashkai, A. A. Magribi, A. G. Allakhiarov, B. N. Efendiev

On the mercury deposit of Agkala, situated in the
Central part of the Small Caucasus

SUMMARY

The deposit of Agkala is located within the limits of the mercuriferous belt of the tectonic zone of the Central part of the Small Caucasus. Its geological structure includes Low Senonian shales, tuff-sandstones, argillites and chalkstones. As to the intrusive rocks, there are developed peridotites, gabbroids and granitoids. The younger (Mio-Pliocene) formations are represented by andesites, andesite-dacites, seldom liparites.

The deposit is located to the joint of the deep fracture of Djamilly-Saridash—Agkala with the Eastern-Karabah's thrust, where are widely developed offset structural elements of the near-latitudinal and north-easterly (anticaucasian) directions, which are of particular importance in the formation of the deposit. As to the ore minerals, except cinnabar, there are found such as pyrite, chalcopyrite, sphalerite, galenite nichelin, metacinnabarite, chalcocite, covellite, malachite, azurite, zaratite (?), etc., and as for non-metalliferous—quartz, calcite, magnesite and barite.

The Ni, Co, Cr, V, Sb, As, Mo are established as the most characteristic elements in ores and containing them rocks. The deposit is genetically connected with postmagmatic activity of the Mio-Pliocene subvolcanic intrusions of andesite-dacite composition.

АЗӘРБАЙЧАН ССР ЕЛМЛӘР АКАДЕМИЯСЫНЫН МӘРҮЗӘЛӘРИ

ДОКЛАДЫ АКАДЕМИИ НАУК АЗЕРБАЙДЖАНСКОЙ ССР

ТОМ XXX

№ 2

1974

УДК 581 526 533

ГЕОБОТАНИКА

А. Х. ЛЯТИФОВА, В. И. ВАСИЛЕВИЧ

КОЛИЧЕСТВЕННАЯ ОЦЕНКА СВЯЗИ РАСТИТЕЛЬНОСТИ
СУБАЛЬПИЙСКОГО ЛУГА С ЭЛЕМЕНТАМИ МЕЗОРЕЛЬЕФА

(Представлено академиком АН Азербайджанской ССР М. Г. Абуталибовым)

Целью данной работы является установление количественной зависимости между растительностью субальпийского луга, экспозицией и положением на склоне. Достоверную количественную оценку такой зависимости можно получить, применив для вычислений статистические методы анализа.

Работа выполнена по материалам, собранным летом 1970 г. в окрестностях с. Хачбулаг (Дашкесанский район, Азерб. ССР), в восточной части Малого Кавказа. Местность расположена на высоте более 1800 м над ур. моря. Исследовались плато и склоны четырех экспозиций.

Для того, чтобы установить связь растительности луга с фактами среды, нужно определить, различается ли растительность выделенных учетных площадок, и если отличается, то насколько сильно. С этой целью был использован метод дисперсионного анализа, который выполнялся по данным проективного покрытия видов, собранных с 750 прямоугольников (20×50 см). При анализе в качестве меры сходства между учетными площадками мы берем расстояние между описаниями растительности на данных площадках в многомерном пространстве (Васильевич, 1962, 1963, 1967, 1969), что определяется по формуле

$$D_{ij}^2 = \sum_{k=1}^m (x_{ik} - x_{jk})^2,$$

где x_{ik} и x_{jk} —покрытия K -го вида на сравниваемых площадках i и j . При анализе полное варьирование растительности разлагается на следующие компоненты:

- 1-й—на случайное варьирование растительности;
- 2-й—на варьирование растительности в пределах части склона и по склону;
- 3-й—на варьирование растительности между отдельными частями склонов.

Обработка данных проводилась по частям склонов (верхнее, нижнее). Каждая отдельная часть включала определенное количество площадок (прямоугольников) и составляла одну группу. Группа ха-

Таблица 1

Данные коэффициента сходства (D^2) как расстояния в многомерной системе координат

Слоны	Амплитуда D^{2a} в верх. части склона	Среднее	Амплитуда D^2 в нижн. части склона	Среднее
Плато	1,45—5,60	3,90		
Южный	0,94—7,11	2,74	1,03—13,22	4,01
Северный	0,47—3,87	1,40	0,24—3,86	1,29
Западный	1,40—6,21	2,92	0,53—5,45	1,74
Восточный	1,38—7,15	2,99	1,73—12,21	4,23

рактеризовалась средним квадратом, на котором значения покрытий видов равны арифметическим из значений покрытий (точнее их квадратных корней). Определение D^2 проводилось в пределах каждого прямоугольника, учетной площадки, групп площадок,

Таблица 2

Данные коэффициента сходства (D^2) между всеми частями

Слоны и частей их	Плато	Северный		Восточный		Южный		Западный	
		в. ч.	и. ч.	в. ч.	и. ч.	в. ч.	и. ч.	в. ч.	и. ч.
		1	2	3	4	5	6	7	8
1	—	6,74	6,59	2,74	7,83	6,71	11,18	5,26	6,01
2	—	—	0,75	3,60	4,79	14,65	19,22	2,00	0,53
3	—	—	—	2,95	3,96	14,54	18,97	2,81	0,59
4	—	—	—	—	—	6,99	9,86	2,12	2,47
5	—	—	—	—	—	13,58	17,17	5,63	4,74
6	—	—	—	—	—	—	—	7,71	11,92
7	—	—	—	—	—	—	—	11,08	16,29
8	—	—	—	—	—	—	—	—	1,05

площадок по склону, всех групп площадок. Полученные при этом данные приводятся в табл. 1 и 2. Чем меньше значение полученного коэффициента, тем более сходны учетные площадки по растительности. Из табл. 1 видно, что значения D^2 на северном склоне незначительны и мало отличаются по его частям. На следующих трех склонах средние значения данного коэффициента более значительны и

Таблица

Дисперсионный анализ связи растительности с рельефом

Слоны	Северный	Южный	Западный	Восточный
Процент варьирования	12,4	13,7	10,2	24,4

отличаются по частям склона, что вызвано неоднородностью рельефа и действием случайных факторов. Из табл. 2 видно, что значения D^2 наиболее высокие на южном склоне, что указывает на варьирование растительности, связанное с действием экспозиции и положения на склоне.

Следующим этапом определялись внутриквадратные, внутригрупповые и межгрупповые дисперсии для всех 150 учетных площадок. При сравнении полученных дисперсий пользовались критерием Фишера (F). Чем больше $F_{\text{фак}}$ превышает $F_{\text{таб}}$, при 95%-ном доверительном уровне, тем сильнее влияние факторов. Полученные показатели

вошли в обработку при определении процента варьирования растительности луга, приходящегося на различия между группами площадок. Полученные при этом данные приводятся в табл. 3.

Чем сильнее влияние рельефа, тем выше процент варьирования установлено ($F_{\text{фак}} < F_{\text{таб}}$). Следовательно, варьирование здесь определяется действием других неучитываемых факторов. В пределах южного склона положение на склоне определяет 13,7% варьирования растительности, в пределах северного склона — 12,4%, в пределах восточного склона — 24,4%. При этом квадраты корреляционного отношения восточном — 0,49, северном — 0,35, западном — 0,32.

Таблица
Дисперсионный анализ связи растительности луга с рельефом
(варьирование приведено к варьированию отдельных прямоугольников)

Источник варьирования	s^2	n_0	f	Сумма квадратных отклонений	Процент варьирования
Экспозиции	4,12	18X5	3	1112	22,5
Положение на склоне	1,08	18X5	97	97	1,7
Взаимодействие фак-в	3,81	18X5	4	1372	27,0
Варьирование внутри группы	2,60	8	136	1772	34,7
Варьирование внутри учетной площадки	1,32	—	544	718	14,2

Следующим этапом определяли процент варьирования растительности луга под влиянием каждого фактора в отдельности (табл. 4). Рассматриваемые факторы вместе определяют около 50,0% варьирования растительности, а 35,0% варьирования определяется действием ряда неучитываемых факторов. Действие случайных факторов составляет около 14,0%.

Выводы

1. Варьирование растительности луга внутри учетной площадки вызывается действием случайных факторов.
2. Варьирование растительности в пределах склона определяется действием рельефа.
3. Варьирование растительности между склонами вызвано действием экспозиции.

Институт ботаники

Поступило 25. VI 1971

А. Х. Латифова, В. И. Василевич

Биткиниин мезорелејеф элементләрилә элагэсинин
мигдарча [гијмэтләндирilmәси]

ХУЛАСЭ

Мәгеләдә субалп чәмәнләринин битки өртујүнүн јамачларын мухтәлиф мәйиллекләри вә чәһәтләрдән асылы олараг мигдарча дәјишиләри изаһ олуумушдур. Мигдарча дәјишиләр дисперсион анализ үсүлү илә ерәнилмишdir.

Апарылан тәдгигатдан ашагыдағы нәтичәләр чыхарылмышды:

- Бејүк саһәләрдә биткиләрин мигдарча дәйишмәси тәсадуфи олур.
- Биткиләрин мигдарча дәйишмәси јамачларын һүндүрлүкчә йерләшмәсендән асылыдыр.

A. H. Latifova, V. I. Vasilevich

**The qualitative appreciation of connection of the vegetation
with the elements of the mesorelief**

SUMMARY

The qualitative dependence of the vegetable cover of subalpine grassland from the exposition and position on the slope was studied by the authors. Method of the dispersion analysis was used for processing the qualitative data.

АЗЭРБАЙЧАН ССР ЕЛМЛӘР АКАДЕМИЯСЫНЫН МӘРУЗӘЛӘРИ
ДОКЛАДЫ АКАДЕМИИ НАУК АЗЕРБАЙДЖАНСКОЙ ССР

ТОМ XXX

№ 2

1974

УДК 63:581.5 (47. 924)

АГРОКЛИМАТОЛОГИЯ

Б. Г. МАМЕДОВ

БИОМЕТРИЧЕСКАЯ ХАРАКТЕРИСТИКА КУЛЬТУРЫ ТАБАКА

(Представлено академиком АН Азербайджанской ССР В. Р. Волобуевым)

Данные наблюдений стандартной сети станций, характеризующие режим метеорологических элементов над естественной подстилающей поверхностью не могут полностью удовлетворить запросы сельского хозяйства. Поскольку режим метеорологических элементов над естественной подстилающей поверхностью существенно отличается от режима метеорологических элементов на сельскохозяйственных полях, особую важность и практическую значимость приобретает изучение фитоклимата, особенно с учетом биометрических характеристик посевов.

Однако особенности формирования фитоклимата табачной плантации почти не освещены в литературе.

В данной работе на основе специально проведенного эксперимента, выявляется биометрическая характеристика посевов табака, имеющая важное значение как при изучении закономерностей формирования фитоклимата на табачной плантации, так и для разработки агротехники, обеспечивающей создание оптимальных условий роста и развития культуры.

Биометрическая характеристика посевов табака

Нами производились специальные биометрические измерения на табачной плантации колхоза им. Самеда Вургужа Закатальского района Азербайджанской ССР в период май—август 1968 г. В начале наблюдений высота растений не превышала 20 см, а к концу вегетации растения достигали уже 160—180 см высоты. Площадь листьев оценивалась по методу Губенко [5], а накопление сухой биомассы определялось взвешиванием. Для характеристики вертикального распределения площади листьев и стеблей, а также сухой биомассы производился срез растений через каждые 20 см высоты, после чего производился пересчет на квадратный метр.

$$S = \frac{S_a}{S_n} m^2/m^2,$$

где S —индекс листовой поверхности; S_a —площадь листьев; S_n —площадь почвы.

Анализ полученных материалов позволяет заключить, что табак в отличие от других культур, является более динамичным в росте. После каждой фазы развития слой максимального развития листовой поверхности повышается.

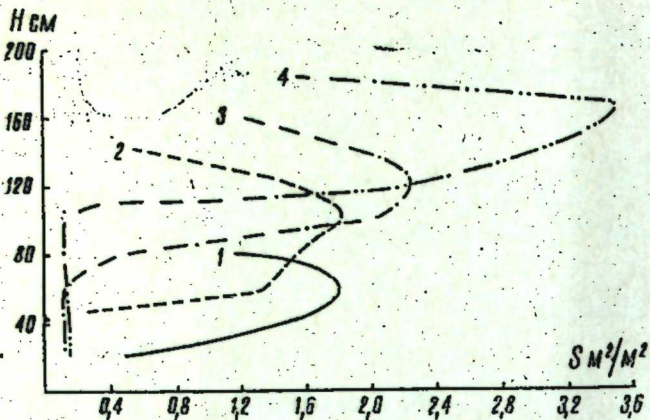


Рис. 1. Вертикальное распределение листовой поверхности в посевах табака по фазам развития: 1—созревание листьев второй ломки; 2—созревание листьев третьей ломки; 3—созревание листьев четвертой ломки; 4—созревание листьев пятой-шестой ломки.

Если у других культур для всего вегетационного периода можно выделить постоянный уровень расположения основной листовой поверхности, то для культуры табака это невозможно. Например, исследования З. А. Мищенко показали, что в течение вегетативного развития хлопчатника и сорго наиболее активным слоем жизнедеятельности растений, где происходит максимальное нарастание листовой поверхности и накопление биомассы, является уровень, равный половине высоты растений [8].

Максимальное развитие листовой поверхности в фазе созревания листьев первой ломки приходится на высоту 0–20 см, а в фазе созревания листьев второй ломки на уровень 20–40 см.

Уменьшение площади листовой поверхности в нижнем слое происходит в результате уборки созревших листьев.

С наступлением фазы созревания листьев второй ломки наблюдается бурный рост и развитие растений. В этой фазе за 12 дней рост

Биометрические характеристики посевов табака

Фаза развития	Высота роста, см	Индекс, м ² /м ² поверхности		Вес сухой биомассы, г/м ²
		листьев	стеблей	
Созревание листьев 1 ломки	40	2,39	0,14	164,8
Созревание листьев 2 ломки	80	4,40	0,35	354,4
Созревание листьев 3 ломки	140	6,36	0,65	980,4
Созревание листьев 4 ломки	160	7,23	0,96	1022,0
Созревание листьев 5–6 ломки	180	9,90	1,41	1776,4

увеличивается на 40 см, а индекс листовой поверхности увеличивается на 2,1 м²/м². Такой характер роста наблюдается в течение всего вегетационного периода табака (см. рис. 1).

В фазе созревания листьев третьей ломки максимум листовой поверхности находится на высоте 80–100 см. Индекс листовой поверхности равен 6,35 м²/м². В этой фазе до высоты 40 см общая площадь обезлиственных стеблей не превышала 0,12 м²/м², что объясняется отсутствием внизу листьев в результате первой и второй ломки.

Для фазы созревания листьев четвертой ломки характерен такой же быстрый рост и развитие. Высота растений достигает теперь 160 см. Индекс листовой поверхности увеличивается в основном за счет нарастания площади листьев, расположенных выше уровня 80 см, которые составляют примерно 90% всей массы. Ниже этого слоя листья почти отсутствуют. Индекс листовой поверхности превышает 7,0 м²/м².

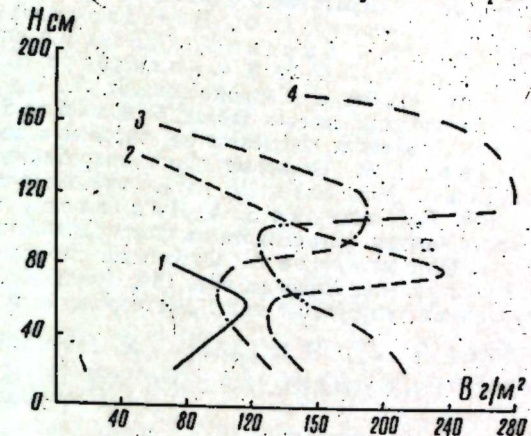


Рис. 2. Вертикальное распределение сухой биомассы в посевах табака по фазам развития: 1—созревание листьев второй ломки; 2—созревание листьев третьей ломки; 3—созревание листьев четвертой ломки; 4—созревание листьев пятой-шестой ломки.

Он достигает максимума в фазе созревания листьев пятой–шестой ломки ($S = 9,90 \text{ м}^2/\text{м}^2$). Этому способствует появление в данной фазе боковых побегов и многочисленных пасынков. Слой максимального развития листовой поверхности расположен на уровне 140–160 см. От этого уровня вниз до слоя 80–100 см идет постепенное уменьшение листовой поверхности, а ниже 80 см наблюдается резкий спад листовой поверхности. В этой фазе на нижних ярусах листья отсутствуют.

Накопление биомассы по вертикали и слой ее максимума в основном совпадает с уровнем наибольшей листовой поверхности, который перемещается вверх. После уборки листьев второй ломки в нижних слоях почти нет нарастания органического вещества. Незначительное увеличение биомассы в этих слоях идет за счет утолщения стеблей. Площадь листовой поверхности и биомасса табака интенсивно нарастают в течение всего вегетационного периода (таблица, рис. 1, 2).

В отличие от табака у других культур наблюдается некоторое уменьшение площади листовой поверхности к концу вегетации [8]. Сравнение индекса листовой поверхности табака с другими однолетними культурами показывает, что табак не имеет себе равных по величине этого индекса. Если учесть, что один табачный лист имеет размер 55×40 см, а на каждом растении около 30 листьев, то становится ясным, насколько большую площадь занимает растение табака.

Таким образом в течение всего вегетационного периода табака наиболее активный слой жизнедеятельности растений, где расположена основная листовая поверхность и связанное с ним накопление биомассы, очень изменчив по вертикали и во времени.

В наиболее активных слоях жизнедеятельности растений должны происходить замечательные изменения в распределении основных метеорологических элементов, приводящие к формированию фитоклиматов.

табачной плантации. Изучение и использование биометрических характеристик позволяет выявлять закономерности фитоклимата в зависимости от морфометрических показателей растений.

ЛИТЕРАТУРА

1. Бар В. П. Влияние температурного фактора на урожай и качество табака. "Табак", 1954, № 1, 2. Бучинский А. Ф., Володарский Н. И., Асмаев П. Г. "Табаководство", М., 1959. 3. Бырдин Ю. Палетка для определения площадей табачных листьев. Табак, М., 1952, № 3. 4. Гольцберг И. А. Микроклимат и его значение в сельском хозяйстве. Гидрометеоиздат, Л., 1957. 5. Губенко Ф. Таблица для определения площади листьев табака. 6. Жапбасбаев М. Распределение основных метеорологических элементов на рисовом поле. Труды ГГО, вып. 147, 1963. 7. Ибрагимова Э. А. Основные черты микроклимата хлопкового поля (в условиях Азербайджана). Материалы IV науч. конф. молодых ученых; ИГ АН Азерб. ССР. Баку, 1965. 8. Мишенко З. А., Николаева З. И., Купченко Г. С. Особенности формирования фитоклимата на полях хлопчатника и сорго. Труды ГГО, вып. 248, 1969. 9. Отрыганиев А. Отношение табака к воде. В кн: Все-союзн. НИИ табака и махорки им. Микояна, вып. 144. Краснодар, 1947. 10. Судакевич Ю. Е. Микроклимат кукурузного поля. "Метеорология и гидрология", № 6, 1958.

Институт географии

Поступило 23. VII 1971

Б. Н. Мамедов

Түтүн биткисинин биометрик режими

ХУЛАСЭ

Мэгаләдә түтүнүн инкишафы вә бөјүмәси үзәриндә апарылмыш биометрик мүшәндәләрин нәтичәләри, набелә јарпаг сәттинин јерләшмәсини вә түтүн әкинидә гурү биомассанын топланмасыны характеризә едән рәгәмләр верилмишdir.

Әлдә едилмиш материалларын тәһлили нәтичесинде мүәјјән едилмишdir ки, јарпаг сәттинин јерләшмә сәвијјәси вә биомассанын артымы бутүн векетасија дөврүндә шагули истигамәтдә олдугча дәјишкәндир. Белә сәвијјәдә түтүн плантасијасынын фитонглим јарадылмасына кәтириб чыхаран әсас метеорологи елементләrin пајланмасындә вә нәзәрә чарпаачаг дәјишикликләр олур.

B. Mamedov

Biometrical [character of culture tobacco

SUMMARY

In the article there are expounded the result of the biometrical observations for the growth and development of tobacco and there are given figures characterizing the disposition of the leaf surface and the pilings of the dry biomass on the tobacco sowing.

By the analysis of the received materials it is ascertained that the level of the disposition of the main leaf surface and the growing of the biomass in the course of the whole vegetation period is remarkably changeable by the vertical. In these levels there take place noticeable changes in the distribution of the main meteorological elements, bringing to the formation of the fitoclimate of the tobacco plantation.

УДК 631.41+631.432.1

ПОЧВОВЕДЕНИЕ

С. А. КУРБАНОВ

ИЗМЕНЕНИЯ ЗАПАСОВ ВОДЫ В ГРУНТАХ ЮЖНОЙ МУГАНИ АЗЕРБАЙДЖАНСКОЙ ССР

(Представлено академиком АН Азербайджанской ССР В. Р. Воловуевым)

Южная Мугань—ценный в природохозяйственном отношении район Азербайджана. Она является важной зоной для развития высококачественных сортов хлопчатника.

Однако на значительных площадях Южной Мугани хозяйство сталкивается с прогрессирующими явлениями засоления почв.

В связи с этим на Южной Мугани совершенно очевидна необходимость применения мелиоративных мероприятий, направленных к оздоровлению земельного фонда, в первую очередь, к упорядочению неблагоприятного в настоящее время состояния грунтовых вод.

На основании данных непосредственных наблюдений, а также имеющихся указаний ряда авторов и исследователей (Воловуев, 1965) можно констатировать, что на Южной Мугани режим грунтовых вод в основном определяется орошением. Вполне естественно, что должная эффективность применения мелиоративных мероприятий будет обеспечена при условии знания состояния грунтовых вод, характера их режима, а также факторов их слагающих, на массиве орошения выше канала им. Азизбекова.

На основании составленных карт глубины залегания уровня грунтовых вод за 1938, 1950, 1963 и 1968 гг. нами определено среднее изменение запасов воды в грунтах Южной Мугани (выше канала им. Азизбекова) Азербайджанской ССР.

При этом для получения представления о среднем режиме уровня грунтовых вод за периоды: 1938—1950, 1950—1963, 1963—1968 гг. по известной формуле М. М. Крылова определялись средние изменения высоты положения уровня грунтовых вод.

Так, формула М. М. Крылова:

$$\Delta h = \frac{\pm (h_1 + h_2) \Delta \omega_{1-2} \pm (h_2 + h_3) \Delta \omega_{2-3} \pm}{2\omega}$$

где h_1, h_2 —глубины до грунтовых вод, соответствующие принятым градациям на карте;
 $\Delta \omega_{1-2}, \Delta \omega_{2-3}$ —приращение площадей к концу балансового периода в принятых градациях глубин.
 ω —общая площадь района.

Знак перед скобками зависит от того, увеличивалась (минус) или уменьшилась (плюс) площадь с данной градацией глубин залегания уровня грунтовых вод. По картам для каждого периода в отдельности планировались площади равных глубин по принятым интервалам (1,0—3,0; 3,0—5,0; 5,0—10,0; 10,0—20,0; 20,0—40,0).

Далее подсчитывалось увеличение или уменьшение площадей по данной градации глубин залегания уровня грунтовых вод и определялось среднее изменение высоты положения их по периодам, а также средняя годовая величина в пределах рассмотриваемого массива.

Результаты расчетов, приведенные в таблице, дадут нам возможность сделать выводы в отношении изменения площадей на разных уровнях грунтовых вод в Южной Муганни.

Изменения площадей на разных уровнях грунтовых вод в Южной Мугани выше канала им. Азибекова

№ п/р	Расчетные годы	Распределение площадей по глубине залегания уровня грунтовых вод по периодам, га	Глубина залегания уровня грунтовых вод от поверхности земли, м						Измен. высоты грунтовых вод за период, м	Средняя годовая измен. высота уровня грунтов. вод, м	
			1,0—3,0	3,0—5,0	5,0—10,0	10,0—20,0	20,0—40,0	40,0+			
1	1938 по 1950	Общая пло-щадь $\omega=37000$	За 1938	—	1368	15 500	18 332	18 00			
			За 1950	—	1665	7 875	15 669	5 291	500		
		Увеличение пло-щадей		7 665	6 507	169	—	—	5,19	0,40	
		Уменьшение пло-щадей	—	—	—	13 041	1 300	—			
2	1950 по 1963	Общая пло-щадь $\omega=37000$	За 1950	166	7 875	15 669	5 291	500			
			За 1963	12 530	14 983	8,787	700	—			
		Увеличение пло-щадей		4,865	7 108	—	—	—	2,68	0,20	
		Уменьшение пло-щадей	—	—	6 882	4,591	500	—			
3	1963 по 1968	Общая пло-щадь $\omega=37000$	За 1963	12,530	14 983	8 787	700	—			
			За 1968	20 948	10 892	5 160	—	—			
		Увеличение пло-щадей		8 418	—	—	—	—	1,01	0,21	
		Уменьшение пло-щадей	—	4 091	3 627	700	—	—			

Прежде чем приступить к анализу изменения запасов воды в грунтовых водах Южной Муганни, считаем необходимым выявить факторы, влияющие на уровень грунтовых вод.

Помимо рассмотрения и анализа среднего изменения высоты положения уровня грунтовых вод, по каждому периоду в отдельности,

представляет интерес и сравнительное рассмотрение по годам для одного и того же периода.

По расчетам, результаты которых приведены в таблице, для периода с 1938—1950 гг., среднее изменение уровня грунтовых вод составляет 5,19 м, а среднегодовое изменения 0,40 м.

По второму периоду с 1950—1963 гг., среднее изменение уровня грунтовых вод составляет 2,63 м, а среднегодовое пополнение лишь—0,20 м.

Так как глубина уровня грунтовых вод от поверхности земли в первом периоде, т. е. с 1938—1950 гг., на основной площади массива была более 5,0 м, то поэтому суммарное испарение составило незначительную долю в общем балансе грунтовых вод.

Но при интенсивном орошении склоны подъема уровня грунтовых вод стала большей.

С 1950 по 1963 гг. основная часть площади степи имеет высокое стояние уровня грунтовых вод—меньше 5,0 м почти около 60% общей площади.

Это обстоятельство создало условие для повышения суммарного испарения.

По третьему периоду (1963—1968 гг.) среднее пополнение уровня грунтовых вод за период составляет 1,01 м, а среднегодовое изменение уровня грунтовых год больше, чем во втором периоде и составило 0,21 м.

Это явление особенно заметно по району конуса выноса р. Болгарчай.

Как нам известно, после 1963 г., т. е. в период 1963—1968 гг. на р. Болгарчай построено водохранилище, в котором полностью собираются паводковые воды, и на фоне водохранилища увеличились орошающие площади в Южной Муганни, выше канала им. Азибекова.

Кроме того, немалое значение имеют фильтрационные воды из водохранилища, которые пополняют грунтовые воды ниже расположенного массива.

Необходимо также иметь в виду своеобразный характер освоения Южной Муганни.

Зная среднее изменение высоты положения уровня грунтовых вод в данном вертикальном сечении потока для балансового периода, переходим к определению изменения запасов воды в грунтах.

Для этого используем следующие зависимости, которые приводим в записи Г. С. Ефимова.

$$E = 0,01 d \Delta h (\beta_{\text{пол}} - a),$$

где d —объемный вес сухого грунта в долях единицы,

Δh —изменение высоты уровня грунтовых вод,

$\beta_{\text{пол}}$ —полная влагоемкость в процентах к весу грунта,

a —средняя естественная влажность грунтов от уровня грунтовых вод до высоты изменения запасов воды.

Так, для первого периода, (1938—1950 гг.) изменение запасов воды в грунтах составляет:

$$E_1 = 0,01 \times 1,7 \times 5,19 \times 25 = 2,206 \text{ м} = 2206 \text{ мм}$$

Для второго периода (1950—1963 гг.) изменение запасов грунтовых вод будет:

$$E_2 = 0,01 \times 1,6 \times 2,63 \times 28 = 1,178 = 1178 \text{ м.м.}$$

Наконец, для третьего периода (1963—1968 гг.) изменение запасов воды в грунтах составляет:

$$E_3 = 0,01 \times 1,5 \times 1,01 \times 30 = 0,456 \text{ м} = 456 \text{ мм}$$

Зная изменение запасов воды в грунтах за все три периода (1938—1968 гг.), мы можем определить общее изменение запасов

сов воды в грунтах за 31 год в условиях Южной Мугани (выше канала им. Азизбекова).

Эта величина составляет:

$$E = E_1 + E_2 + E_3 = 2206 + 1178 + 456 = 3840 \text{ мм}$$

или $E = 38400 \text{ м}^3/\text{га}..$

Как видим, запас грунтовых вод в пределах Южной Мугани (выше канала им. Азизбекова) за 31 год орошения пополнился на очень большую величину.

Это и обусловило значительный подъем грунтовых вод и как следствие, развитие опасного засоления почв.

ЛИТЕРАТУРА

1. Волобуев В. Р. Генетические формы засоления почв Куро-Араксинской низменности. Баку, 1965.
2. Крылов М. М. Основы мелиоративной гидрогеологии Узбекистана. Изд-во АН Узбекск. ССР, 1959.
3. Кац Д. М. Контроль режима грунтовых вод на орошаемых землях. М., 1967.
4. Ефимов Г. С. Водный баланс и районирование дренажа в Туркменской ССР. Ашхабад, 1968.

Азгипроводхоз

Поступило 14. XI 1970

С. А. Гурбанов

Жералты суларын еңтијатынын Азәрбајҹан ССР Чәнуби Муган торпагларында дәјишилмәси

ХҮЛАСӘ

Мә’лумдур ки, мелиорасија еңтијачы олан торпаглары мелиорасија васитесилә јаҳшылашдырмаг учун, биринчи иөвбәдә, жералты суларын торпагын шәраптинә тә’сир едән амилләрини билмәк ла-зымдый.

Мәгала жералты суларын еңтијатынын айры-айры мүддәтләрдә, јәни 1938—1950; 1950—1963 вә 1963—1968-чи илләр арасында дәјишилмәсиянә һәэр едилмишdir. Несабатлар Чәнуби Муган торпагларынын 1938—1950; 1963—1968-чи илләрдә апарылмыш һидрокеологи җаҳтарышларын нәтижәсindә тәртиб едилмиш жералты суларын сәвијјә дәрринлиji хәритәләрindән истифадә олунараг М. М. Крыловун мә’лум формулу эсасында апарылмышдыр.

S. A. Kurbənov

Variation of water reserves in the south Mugan
Azerbaijan SSR grounds

SUMMARY

The object of the present paper is to establish the meliorative conditions relative to the regime of ground-water level in south Mugan of Azerb. SSR. An average variation of water reserves in the south Mugan ground above the channel by Azizbekov in Azerb. SSR have been determined on the basis of made up maps of the ground-water level depth of occurrence for 1938, 1950, 1963 and 1968 years.

УДК 576—895. 4

ПАРАЗИТОЛОГИЯ

Л. В. МУЛЯРСКАЯ, З. Ф. ВЕРДИЕВА

НОВЫЙ ВИД ТРОМБИКУЛИДЫ *MICROTROMBICULA TRAUBI* (*ACARIFORMES, TROMBICULIDAE*) ИЗ АЗЕРБАЙДЖАНА

(Представлено академиком АН Азербайджанской ССР М. А. Мусаевым)

При изучении тромбikuлид, собранных с мелких млекопитающих, был обнаружен новый для науки вид, названный *Microtrombicula traubi*, именем крупного специалиста по этой группе клещей—доктора Роберта Трауба.

Microtrombicula traubi MuJarskaja et Verdjeva sp. n.

Голотип—препарат № 12006, с *Meriones persicus* Blaaf., высота местности около 1600 м. над ур. моря, вблизи сел. Госмальян Лерикского района Азербайджанской ССР, 20. IX, 1966 г., leg. Вердиева З. Ф., хранится в Институте зоологии АН Азерб. ССР. Тело слабонапитавшихся—овальной формы, сильно напитавшихся—продолговато-овальной формы с выступающими плечами и небольшой перетяжкой сзади кокса III. Длина тела голотипа 404,7 μ , ширина—205,2 μ .

SIF = 6B—B—2—3. 1. 1—1. 0. 0. 0

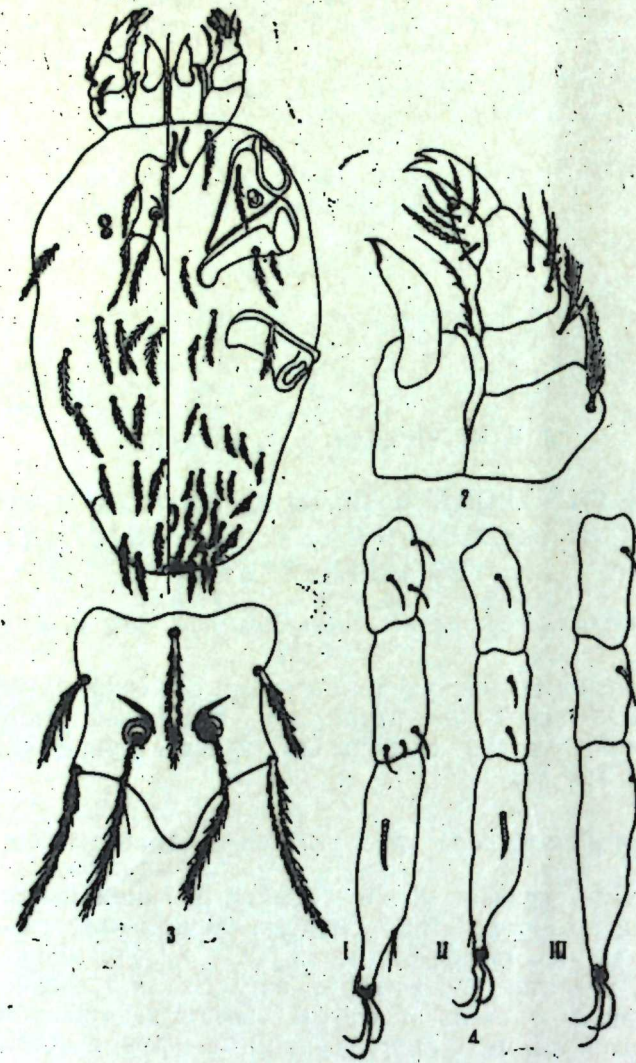
Гнатосома. Длина—53,2 μ , ширина—70 μ .

Хелицеры. Базальный членник неправильно-четырехугольной формы 22,4 μ высоты, 19,6 μ ширины. Дистальный членник 16,8 μ длины, с явственным зубчиком и *tricuspid cap* на вершине. Щетинка на гнатокосах опушена длинными, густыми бородками.

Пальцы неширокие. Щетинка на бедре пальцы недлинная, с многочисленными недлинными, густо сидящими бородками; на голени-пальцы щетинка несколько тоньше, бородки на ней более редкие и длинные. На плюсне пальцы все щетинки перистые и расположены на небольшом участке в боковой части плюсны. Коготь пальцы из двух зубцов. Внешний зубец меньше внутреннего. Лапка пальцы в виде вытянутого конуса с 5 опущенными щетинками и одной редкол перистой (1—2 тонкие длинные бородки), которая иногда кажется голой. Галеальная щетинка довольно мощная, с редкими бородками.

IP_p = B—B—B. B. B.

Идиосома. Спинная сторона. Щиток небольшой, пятиугольной формы с хорошо развитыми передне-боковыми плечами. Передний край щитка волнистый, боковые почти прямые или слегка вогнутые,



задний оттянут в виде острого угла лишь слегка закругленного на самой вершине. Щиток и коксы очень редко и грубо пунктированы. $AL < AM < PL$; AM расположена впереди линии, соединяющей основание AL , немного отступая от верхнего края щитка. AL расположены на боковых краях щитка, PL на несколько оттянутых задних. Щетинки щитка несколько отличаются между собой: AL более тонкие и бородки на них более тонкие и длинные; у PL основание щетинок более мощное и бородки более толстые и короткие; AM по характеру ствола и длине бородок занимает промежуточное положение; бородки на AM наиболее многочисленные. Основания сенсиллы расположены выше линии, соединяющей основания PL . Сенсиллы не длинные, довольно толстые с мелкими бородками в проксимальной половине и 12–15 длинными бородками в дистальной. Кристы расположены несколько косо под основаниями сенсилл. Глаза парные, расположенные не на окулярной пластинке.

$$ID = 2H + 6. 4. 6. 6. 4. 4 = 32$$

Спинные щетинки не длинные, но со сравнительно толстыми стволами и плохо прилегающими бородками. Ряды щетинок четкие. Длиннее несколько длиннее.

Брюшная сторона: $fSt = 2, 3$; $fCx = 1. 2. 1$; $fp = 7. 7. 7$
 $fV = 10. 10. 8. 8. 4. 2 = 42$

Стандартные промеры *M. trauli* sp. n.

	AW	PW	SB	ASB	PSB	SD	AP	AM	AL	PL
Голотип	42,0	43,2	16,8	25,2	24,0	48,0	20,4	25,2	21,6	34,8
	42,0	44,4	18,0	26,4	25,2	51,6	24,6	25,2	21,6	34,8
	38,4	40,8	16,8	24,0	21,6	48,0	19,2	25,2	19,2	33,6
Среднее	39,7	43,0	17,4	25,4	24,1	49,8	21,0	28,2	21,4	33,8

	Sens	H	DSA/DSP	VSA/VSP	pa	pm	pp	lp
Голотип	31,2	36,0	30/27,6	24/24	156,8	134,4	176,4	467,6
	43,2	37,2	32,4/28,8	24/26,4	170,8	148,8	182,0	501,6
	31,2	32,4	30/24	16,8/24	156,8	126,0	162,0	444,8
Среднее	35,6	31,3/25,3	16,4/28,3	16,4/28,3	168,6	142,5	177,4	488,5

Щетинки верхних рядов гораздо тоньше, чем щетинки, расположенные в задней половине тела. Анальная щель узкая, длинная, хорошо заметная, расположенная в самой задней части брюшка, на уровне предпоследнего ряда щетинок. Вокруг анальной щели своеобразно располагаются брюшные щетинки и имеется орнамент на хитине. Коксы I треугольной формы с удлиненным острым углом, направленным к медиальной линии тела. Щетинка коксы I с длинными, многочисленными неприлегающими бородками. Основание ее расположено в верхнем наружном углу коксы, гораздо выше устригмы. Кокса ног II продолговатая, с ущерблеными нижним краем; на ней расположаются недалеко друг от друга 2 щетинки—одна из них обычной величины опущенная густыми неприлегающими бородками, расположена в средней части коксы у нижнего внутреннего края, и вторая, меньших размеров и менее опущенная, у самого нижнего, внутреннего угла коксы. Кокса III также имеет ущербленный нижний край. Щетинка этой коксы расположена на верхнем, примерно в средней части коксы.

Число соленидиев: 1 нога: 3 *genualae*, 2 *tibiala*, 1 *micro-tibiala*, 1 *tarsala*, *pretarsala*; II нога: 1 *genualae*, 2 *tibiala*, 1 *tarsala*, *pretarsala*; III нога: 1 *genualae*, 1 *tibiala*. На лапке III недалеко от основания членика расположена тонкая и недлинная *mastitarsala*. Длина лапки III 54 μ , ширина в наиболее широкой части, у основания членика 13,2 μ , т. е. длина лапки больше, чем ее ширина в 4,1 раза. Коготки серповидной формы; эмподий более длинный, тонкий и менее изогнутый.

Типовой материал. Паратипы—препараты Л—№ 11974 „а“, „б“, „в“, Л—№ 12042, Л—№ 12011, с *Meriones persicus*, близ сел. Гедары Лерикского р-на, 18. IX. 1966, leg. З. Ф. Вердиева, Л—№ 12016, Л—№ 12026 с *M. persicus*, сел. Госмальян Лерикского р-на, 20. IX. 1966, leg. З. Ф. Вердиева, Л—№ 12042, Л—№ 12034, с *M. persicus* сел. Калахан Лерикского р-на, 22. IX. 1966, leg. З. Ф. Вердиева. Местность расположена в так называемой Диабарской котловине и при-

легающих участках горной степи на высоте 1200—1600 м. над ур. моря. Всего собрано 87 клещей этого вида.

Хозяева. *Meriones persicus* Blanf., *Allactaga Williamsi* Thomas, *Mus musculus* L. Предположительные станции—разнотравная степь, осыпи скал. Место локализации—в ушной раковине, вокруг ануса. При жизненный цвет оранжево-красный.

Таксономические замечания. Очень близок к *Microtrombicula perissochaeta* Traub and Nadchatram, 1966, от которого в основном отличается конфигурацией щитка (относением AW. к PW вытянутым задним краем щитка, основаниями сенсилил, расположеными ближе к линии, соединяющей основания PL), конфигурацией пелицер, характером опущенности сенсилил, количеством и опущенностью щетинок тела, более толстыми ногами.

ЛИТЕРАТУРА

Traub R. and M. Nadchatram. Notes on chiggers of the genus *Microtrombicula* Ewing, 1956 (Acarina, Trombiculidae) from Pakistan and India, with description of five new species. J. Med. Ent., vol. 3, n. 3—4: 305—321. 1966.

Поступило 22. XII 1970

Институт воологии

Л. В. Мулјарскаја, З. Ф. Вердијева

Microtrombicula traubi (Acariformes, Trombiculida)
кэнэлэрлийн Азэрбајчандада яхи нөвүү

ХУЛАСЭ

Хырда мэмэлиләрдән йығылмыш тромбикулид кэнэлэрлини өјрәнәркән елм үчүн яхи нөв ашкар едилшишdir. Нэмийн нөв *Microtrombicula* Ewings, 1950 чинсинэ мэнсубдур.

Умуми формулу: SJF=6B-B-2-3. 1. 1-1-1. 0. 0. 0

Голотти паразитләри Азэрбајчан ССР ЕА Зоологија Институтуда сахланылыр.

L. V. Muljarskaja, Z. F. Verdieva

New species of Mites *Microtrombicula traubi*

(Acariformes, Trombiculidae)

From Azerbaijan

SUMMARY

A description and drawings are presented of new Trombiculinae species of the genera *Microtrombicula* Ewing, 1966.

Synthetic identification formula:

SJF = 6B — B — 2 — 3. 1. 1 — 1 — 1. 0. 0. 0

A new species was found in Lenkoran region on the small Rodentia—*Meriones persicus* Blanf., *Allactaga williamsi* Thomas and *Mus musculus* L.

АЗЭРБАЙЧАН ССР ЕЛМЛӘР АКАДЕМИЈАСЫНЫН МӘРҮЗӘЛӘРИ
ДОКЛАДЫ АКАДЕМИИ НАУК АЗЕРБАЙДЖАНСКОЙ ССР

ТОМ XXX

№ 2

1974

УДК 612. 451 : 577. 174. 5. 615. 361. 45

МЕДИЦИНА

Ф. М. МИРСАЛИМОВ, Р. А. ГУСЕЙНОВА, С. Б. СУЛЕЙМАНОВА,
В. И. ИСМАЙЛОВ

О ФУНКЦИОНАЛЬНЫХ И МОРФОЛОГИЧЕСКИХ ИЗМЕНЕНИЯХ
В НАДПОЧЕЧНОЙ ЖЕЛЕЗЕ ПОСЛЕ ДЛИТЕЛЬНОГО ВВЕДЕНИЯ
КОРТИЗОНА И АДРЕНАЛЭКТОМИИ

(Представлено академиком АН Азербайджанской ССР М. А. Топчибашевым)

Известно, что после односторонней адреналэктомии оставшийся надпочечник, компенсаторно гипертрофируясь в основном восстанавливает функции удаленного, благодаря чему организм животного сохраняет жизнеспособность [1, 3, 4, 9, 12, 13].

В настоящей работе представляются экспериментальные данные о компенсаторных процессах в надпочечниках после односторонней адреналэктомии, произведенной у животных на фоне гипофункции железы, вызванной введением кортизон-ацетата.

О развитии компенсаторных процессов в оставшейся железе судили по показателям биохимических проб в сопоставлении с результатами морфологических исследований надпочечников.

Опыты проводились на 12 беспородных собаках—самцах весом 12—25 кг.

Кортизон-ацетат вводился внутримышечно в дозе 5 ед./кг. веса в течение 20 дней ежедневно.

Функциональное состояние коры оставшегося надпочечника изучалось до начала опытов после инъекций кортизона, а также на 5, 10, 20, 30, 60, 90, 120-й дни после операции односторонней адреналэктомии определением в суточной моче экскреции с 17-оксикиртистеронидов по методу Сильбера и Портера в модификации М. А. Креховой [5] и суммарных 17-кетостеронидов по методу Циммерман в модификации М. А. Креховой [6], а также исследованием 11-оксикиртистеронидов в плазме периферической крови флюорометрическим методом Ю. А. Панкова и И. Я. Усватовой [10].

Для изучения функциональных разрезов коры надпочечников до и после введения кортизона, а также в различные сроки после адреналэктомии ставилась нагрузочная пробы с АКТГ.

Полученные результаты подвергнуты статистической обработке по методике рекомендованной И. А. Ойвиным [8].

При морфологическом изучении удаленных надпочечников пары

финовые и замороженные срезы окрашивались гематоксилином по ван-Гизону и суданом III на выявление жира.

Опыты показали, что уже на 10-й день введения кортизона у всех собак появлялась вялость, потеря аппетита, депигментация шерсти; на 20-е сутки все эти явления усиливались—выпадала шерсть, нередко возникали кишечные расстройства, наступала кахексия (собаки теряли в весе в среднем 1,5–3 кг).

Подобные изменения у различных лабораторных животных при введении кортизона наблюдали и другие авторы [2, 7, 11].

Результаты изучения функционального состояния коры надпочечников у собак показали, что уже на 10-й день введения кортизона отмечается статистически достоверное снижение изучаемых параметров по сравнению с нормой: 17-окс- $1,55 \pm 0,16$ мг; 17-КС- $2,79 \pm 0,21$ мг; 11-окс- $5,86 \pm 0,468$ %.

В норме эти показатели составляли соответственно: 17-окс- $1,95 \pm 0,12$ мг; 17-КС- $3,4 \pm 0,23$ мг; 11-окс- $6,74 \pm 0,22$ %.

К 20-му дню введения гормона показатели функционального состояния коры надпочечников еще более снизились: 17-окс- $1,32 \pm 0,22$ мг; 17-окс- $1,50 \pm 0,66$ мг; 11-окс- $5,63 \pm 0,52$ %.

Нагрузка с АКТГ в конце введения препарата существенных сдвигов в экскреции гормонов не вызвала, что свидетельствовало о значительном снижении резервных возможностей коры надпочечников в этот период исследования.

На 5–6-й день после отмены кортизона собакам производилась операция односторонней адреналэктомии слева.

Результаты морфологических исследований обнаружили значительные изменения в надпочечнике.

Эти изменения выражались в атрофии пучковой зоны. В сетчатой и клубочковой зонах атрофия была незначительна.

Соединительнотканная капсула оказалась резко неравномерно утолщенной. Клубочковая зона в одних участках атрофична, в других—пролиферирована. В цитоплазме клеток этой зоны отмечался незначительный липоидоз.

Пучковая зона резко и неравномерно атрофирована. В некоторых случаях ширина этой зоны уменьшилась в 1,5–2 раза по сравнению с контролем. Некоторые атрофированные участки пучковой зоны были замещены гиперплазированными элементами клубочковой зоны. За счет этого ширина последней увеличилась в 2–2,5 раза. В других участках наблюдалась очаговая гиперплазия "светлых" и "темных" клеток, сочетающаяся с разрастанием соединительной ткани.

Большинство клеток этой зоны—компактные, "светлые" клетки мало. Количество липидов в цитоплазме клеток несколько уменьшено.

Во всех случаях после левосторонней адреналэктомии в надпочечнике отмечалась выраженная гиперемия, очаговые и диффузные кровоизлияния во все слои железы, которые особенно выражены в капсule, сетчатой зоне и в мозговом слое.

Изучение показателей функционального состояния оставшегося правого надпочечника показало, что средние уровни суточной экскреции с мочой 17-окс на 5–10–20–30-ые дни после операции оставались на низких уровнях и приближались к исходной величине лишь на 60-й день после операции, составляя 81% нормальной величины ($M=1,58 \pm 0,14$ мг).

Что же касается экскреции 17-КС с мочой, то средний уровень его содержания возвращается к дооперационной величине уже в 20-й день после операции ($M=1,85 \pm 0,66$ мг). На 60-й день этот показатель равен $2,86 \pm 0,21$ мг, что все же на 14% выше уровня, соответствующего нормальной величине.

Содержание 11-окс в плазме периферической крови в послеоперационном периоде снизился с 3,19 до $1,92 \pm 0,1$, т. е. в среднем на операционного уровня, что свидетельствовало о значительном снижении компенсаторных процессов в коре оставшегося надпочечника.

В то же время ответная реакция на АКТУ-нагрузку была очень слабой (17-ОКС увеличились на 12,5%, 17-КС—на 2,09%; 11-ОКС на 29%).

При микроскопическом исследовании через 60–70 дней после односторонней адреналэктомии в субстально-резецированном правом надпочечнике были обнаружены фиброз, коллагенизация капсулы, субкапсулярного слоя и очаговый фиброз во всех слоях коры. Отмечалась гипертрофия и гиперплазия "светлых" и "темных" клеток пучковой зоны с выраженным липидозом последней. Во всех случаях гиперемия, кровоизлияния в надпочечнике выражались слабо или совсем отсутствовали.

У двух собак в оклонадпочечниковой ткани и в толще капсулы обнаруживались железнестые сбразования—интрагенальные тельца, состоящие из "темных" и "светлых" клеток пучковой и клубочковой зон в виде скоплений и пластов, которые скружены толстым слоем соединительной ткани с пролиферативно-клеточной реакцией. Цитоплазма этих клеток содержала много крупных и мелких липидных капель.

Таким образом, результаты наших исследований показали, что длительное введение кортизона вызывает уменьшение веса тела собак; снижает концентрацию коэтистероидов и их метаболитов в периферической крови и моче; вызывает выраженную атрофию пучковой зоны и уменьшение липидов в цитоплазме клеток этой зоны. В условиях гипофункции железы развитие компенсаторных процессов после односторонней адреналэктомии характеризуется медленным нарастанием показателей функциональной деятельности оставшегося надпочечника; морфологически в оставшейся железе компенсаторные процессы выражались в гипертрофии и гиперплазии пучковой зоны коры надпочечника и сбразовании в оклонадпочечниковой ткани интрагенальных телец, состоящих из кортикальных элементов.

На основании полученных данных, можно заключить, что при длительном введении кортизона, возникающие в железе структурные изменения и связанное с этим уменьшение экскреции гормонов, приводят к значительным нарушениям в развитии компенсаторных процессов в оставшемся надпочечнике.

ЛИТЕРАТУРА

1. Бородин А. Д. "Проблемы эндокринологии", 1971, № 2, стр. 68. 2. Гончаров Н. П. "Проблемы эндокринологии и гормонотерапии", 1966, № 1, стр. 78.
3. Вольфенсон Л. Г. Бюллетень экспериментальной биологии и медицины, 1946, № 1–2, стр. 63. 4. Войткевич А. А., Полузотов А. И. Регенерация надпочечной железы, М., 1970. 5. Крехова М. А. В кн. Н. А. Юдаева "Химические методы определения стероидных гормонов в биологических жидкостях". М., 1961.
6. Крехова М. А. В кн. "Методы клинической биохимии гормонов и медиаторов". М., 1969. 7. Мохорт Н. А. Проблемы эндокринологии и гормонотерапии, 1966, № 1, стр. 75. 8. Ойвин И. А. Патологическая физиология и экспериментальная терапия, 1960, № 4, стр. 76. 9. Харлова Г. В. Бюллетень экспериментальной биологии и медицины, 1964, № 10, стр. 104–108. 10. Панков Ю. А., Усватова И. Я. Методы исследования некоторых гормонов и медиаторов. М., 1965. 11. Юдаев Н. А., Афиногенова С. А. Проблемы эндокринологии и гормонотерапии. М., 1960, № 1, стр. 19. 12. Вопус В. Endroczi E. "Endokrinologie". 1963, 45, 3–4, стр. 147–151.
13. Pellegrino C., Ricci P. D., Tongiani R. Exper. Res., 1963, 31, 1, 167.

Институт экспериментальной и клинической медицины

Поступило 22. VI 1972

Ф. М. Мирсалимов, Р. А. Гусейнова, С. Б. Сулейманова, В. И. Исмаилов
Кортизонун узүн мүддәт инјексијасындан вә адреналектомијадан
сонра бөјрәкүстү вәзида кедән функционал вә морфологи
дәжишикликлэр нағында

ХУЛАСЭ

Мәгәләдә габетчадан кортизон алмыш вә биртәрәфли адреналектомија олунмуш итләрдә бөјрәкүстү вәзинин габыг маддәсинде кедән компенсатор өзосесләр нағында мә'лумат верилмишидир.

Тәчрүбәләрни нәтичәси көстәрир ки, нејвана узүн мүддәт кортизон вүрүлдүгән сонра гәнди вә сидикдә кортикостероидләрни вә онларның метаболитләрниң концентрасијасы өз алыш. Бөјрәкүстү вәзинин чәкиси дә онун габыг маддәсинин несабына азалып.

Вәзидә олан морфологи дәжишикликлэр вә буунулла әлагәдар оларыг бөјрәкүстү, вәзи һормонларының өз алмасы дикәр бөјрәкүстү вәзидә компенсатор өзосесләрниң әсаслы сурәтдә позулмасына сәбәб олур.

E. M. Mirsalimov, R. A. Guseynova, S. B. Suleymanova, V. I. Ismailov

About the functional and morphological changes in the adrenal of dogs after the prolonged injection of cortizon and adrenalectomia

SUMMARY

In the work there are the data of the study of compensatorial processes in cortex of adrenal remained after one-sided adrenalectomia at the dogs got the cortizon preliminarily.

The results of the investigations showed that the prolonged injection of cortizon reduces the concentration of kortikosteroids and their metabolites in the peripheral blood, causes the decrease of the weight of adrenals at the expense of the atrophy of bundles zone.

Appearing in the adrenal structural changes and connected with the decrease of adrenal hormones lead to significant breaches in the development of compensatorial processes in the remaining adrenal.

АЗӘРБАЙЧАН ССР ЕЛМЛӘР АКАДЕМИЈАСЫНЫН МӘРҮЗӘЛӘРИ
ДОКЛАДЫ АКАДЕМИИ НАУК АЗЕРБАЙДЖАНСКОЙ ССР

ТОМ XXX

№ 2

1974

УДК 608 (-II): 811 (Араб)

ЭДӘБИЙДА ТАРИХИ

Е. З. ӘЗИЗОВ

ХҮРРӘМИЛӘР ҺӘРӘКАТЫНЫН IX ӘСР ӘРӘБ ПОЕЗИЯСЫНДА ЭКСИ

(Азәрбајҹан ССР ЕА академики Ի. Араслы тәгдим етмисидир)

Азәрбајҹан халгынын әрәб ишғалчыларына гаршы ән әзәмәтли чыхышы Бәбәкин башчылығы илә 20 илдән сох (816—837) давам етмиш Хүррәмиләр һәрәкатыдыр. Хилафәтни сијаси вә иғтисади һәјатына бөյүк тә'сир көстәрмеш бу үсҗан онун ичтимай фикриндә дәдәрин из-бурахмышдыр ки, буку һәмин дөвр әрәб поезијасыны тәддиг едәркән әјани сурәтдә көрмәк мүмкүндүр.

Әрәб әдәбијатында Хүррәмиләр һәрәкатына өз јарадычылығында даһа сох яер верән (30-а јаҳын гәсидә) һәмкин һадисәләрин мұасири вә дөврүн ән мәшһүр шаири Эбу Тәммам (804—846) олмушшурас¹, әрәб поезијасынын башга бир көркемли нұмајәндәси әл-Бүнүтури (822—897) дә бу мөвзү илә әлагәдар беш гәсидә йазмышды². Бундан әләвә, бир сыра шаир еә дөвләт хадымларинин дә ше'р јарадычылығында Хүррәмиләр һәрәкатына тохунулмушшур. Гејд етмәк лазымдыр ки, бүтүн бу мүәллифләр үсҗана дүшмән мұнасибәт бәсләмишләр.

Вәзир Мүһәммәд ібн Абд ал-Мәлик әз-Зәјјат (елуб 847) хәлифә Әл-Му'tәсимә (833—842) гошдуғу сир мәднијәсіндә онун һөкмранлыг етдиши лөврдә баш көрмеш мүһүм һадисәләрдән сөһбәт ачаркән. Хүррәмиләр һәрәкатына да дәрд бејт аյрымшыдыр. Мүәллиф үмуми шәкилдә үсҗанын сон күнләгиги, јәни Бәзз галасы этрағындақы дәүүшләри ләсвер едәрәк, әрәб гошунарның гүдрәтини көстәрмәжечалышы шыдыр:

وسيقت بابك كأس حتف مرة
بفوارس سجعوا الـنـا يـاـونـه
وتحـالـدـ الزـحـفـانـ يـوـمـاـ كـامـلاـ
وـالـقوـسـ يـخـضـبـ بالـلـذـىـ يـرـوـنـهـ
حتـىـ رـأـيـتـ الـخـرـمـيـةـ رـبـضـةـ
وـالـبـلـدـ أـنـكـرـتـ الـفـجـاجـ رـبـنـيـهـ
يـبـكـىـ الـذـينـ تـخـرـمـواـ مـنـ أـهـلـهـ
وـنسـاءـ بـابـكـ حـسـرـاـ يـيـكـيـهـ³

¹ Бах: Азизов Э. Абу Таммам и движение хуррамитов. Конференция молодых научных сотрудников и аспирантов (тезисы докладов), АН СССР Институт Востоковедения, М., 1972.

² Бах: Эзизов Е. З. Әл-Бүнүтуринин Хүррәмиләр һәрәкаты илә бағыл гәсидәләри нағында. АДУ-нын елми әсәрләре (шөргүнчелеги сериясы), 1973, № 2 (чапададыр).

³ ديوان الوزير معاذ بن عبد الله الرازي (جميل سعيد)، القاهرة ١٩٦٩، ص ٩١

(Бабәкә, ону изләјәрәк, низәләрини һазыр тутмуш атлылар васитәсилә ачы. Әлүм гәдәниң ичирдин.)

Бутун күнү ики гошун үз-үзә кәлди вә көј гуршағы учлары итиләнимиш [гылынч вә низәләрлә] гырызы рәнкә бојадылды.

Та ки, Хүррәмиләри құлұнч шәкилдә итаётдә көрдүн, дәрәләр исә Бәззин наләсінни экс етдири.

[Бәззин] әһлиндән хүррәмилини гәбул едәнләр ағлајыр вә Бабәкән гадынлары һәсрәтлә она көз јашы ахыдырлар).

Афшинин әлеҗинә тәшкіл едилмиш мәһкемәдә әсас иттиһамчы олан әз-Зәјјат⁴ ғәсидәнин сонунда бу һадисәни гәләмә алмышдыр.

Шаирин Бабәк һаттында даға ики бејти мә'лумдур ки, бүнлар да онун диванына салынмамышдыр. Әт-Тәбәри Бабәкин фил үзәринде Сәмарра шәһеринә кәтирилмәсіндән јазаркән һәмин бејтләри дә гејд едир:

قد خضب الفيل كعاده
يحمل شيطان خرسان
والفيل لا تخضب أعضاؤه
الا الذي شأن من الشأن⁵

(Фил адәти үзәрә бәзәдилди. О, Хорасан шејтаныны апарыр. Филин бәдәни յалныз шан-шәһрәтли бир адам үчүн бәзәдилир).

Көрүндују кими, хәлифәнин вәзири белә, халг гәһрәмәнин гаршы олан нифрәтинә бахмајараг, онун әзәмәттенин инкар едә билмир.

Ибн әл-Мү'тәзз өзүнү мәшһүр „Tabagat әш-шү'ара“ китабында Маһмуд әл-Варрагын⁶ кәнизи Сәкәнин бир ғәсидәсінни вермишdir ки, орада Хүррәмиләр һәрәкатындан баһс едилir.

Хәлифә әл-Мү'тәсими тә'рифләјәрәк, онун ғүввәт вә гүдрәттини габарыг шәкилдә көстәрмәк мәгсәди илә мүәллиф Хүррәмиләр үзәринде чалымыш гәләбәдән сөһбәт ачыр:

كبابك وأخيه اذ سما لها
بيان لشوا والجيد خلاص
فذاك بالجسر نصب لاعيون وهذا
بسر من را على سامي النرا راسى⁷

(Бабәк вә гардаши кими ким учалдыса, бојун вә башларыны [Эл-Мү'тәсим] ити гылынча оғурлады. Бири нұмајиши етдирилмәк үчүн көрпүдә гојулду, дикәри Суррамәнрада [Сәмаррада] һүндүр бир тәпәдә һәрәкәтсиз дајанды).

Сонунчы, бејтдә Бабәккін Сәмарра шәһеринде чәзаландырылмасы, онун гардаши Абдуллаһын исә Ichār ibn İbrahîm тәрәфиндән Багдадда әл-ајағы кәсилилдикдән сонра көрпүнүн үстүндә гојулмасы нәзәрәдә тутулмушdur⁸.

Сәкән Хүррәмиләр һәрәкатыны хилафәти кәркин һалда сахлаја чидди бир ғүввә сајылдығыны ашағыдақы кими ифадә етмишdir:

شما عصا الدين فاغتراب جهاهمما بعصبة شهورت في الحرب والباس⁹

([Бабәк вә гардаши] динин әлеҗинә үсјан галдырылдар вә «чанилликләrinә көрә ғүввәт вә мұнарибәдә шәһрәт тапмыш бир дәст илә бирликдә жалана ујдулар).

طبرى، تاريخ الرسل والملوك، القاهرة ١٩٦٨، ج ٢

⁴ Даһа сонра: Әт-Тәбәри.

⁵ Әт-Тәбәри IX, сәh. 54.

⁶ Эрәб әдебијатында зүйділә ше'ринин көркемли нұмајәндәси кими танынмы Маһмуд әл-Варрагын (әл. 844) көзәл кәнисләрни олмушdur ки, онлардан ән мәшһүр шайр Сәкәнdir.

⁷ Даһа сон 1. би-әл-Мү'тәзз. طبقات الشعراء، القاهرة ١٩٥٦، ص ٣٧.

⁸ Даһа сон 1. باب: Әт-Тәбәри. IX, сәh. 53—54.

⁹ Ибн әл-Мү'тәзз. Сәh. 423.

Эслиндә бутун нәзәр-диггәттini әл-Мү'тәсимин мәденинин даһа тәктәрәглы, даһа образлы алымасына јөнелдән мүәллиф хәлифә гошулары тәрәфиндән газанылан гәләбәни үлвиәшdirмәк үчүн „имам мүлкүнүн шан-шәһрәттini азалтмаға, мәмләкәти алчалтмаға чалышан“ үсјанчыларын вүс'эт вә әзәмәттini дә е'тираф етмәли олмушdur.

Шаирә ғәсидәнин сонунда әналини горхутмаг үчүн Бабәккін башы кәсилиб, Хорасана қөндәрилдикдән сонра бәдәниин Сәмарра шәһәриндә асылдығыны тәсвир едир.

Рагиб әл-Исфәhani Сәкәнин Хүррәмиләр һәрәкаты илә әлагәдар башга бир ғәсидәсіндән үч бејт верир ки, бүнларда Бабәккін мәндирилдиң фил вәсф олунур¹¹.

VIII—IX әсрләрин мәшһүр шаири Әл-Һүсејн ибн әд-Дәһhак (772—864) Бизанс дөвләти илә хилафәт арасында кедән мұнарибәдә әрәбләрин гәләбәсіндән¹² сонра Афшинә յаздығы бир мәднијәсіндә бу сәркәрдәнин Хүррәмиләр үсјанынын җатырылмасында ојнадығы (7 бејт) әввәлиндә шаир онун шан-шәһрәттini, дејүш заманы гәһрәманлығыны гәләмә алыр. Сонраки ики бејтдә Афшинин шучәти һагында айлын тәсәввүр ојатмаг үчүн мүәллиф әрәб гошунлары тәрә-Бабәккін әлә кечирилмәсіннін ҳатырлады:

لم يدع بالبد من ساكتاً كاملاً إرب
رعن حجلين نجياً للنسم¹³

([Афшин] Бәззәдә Ирәм [дағығын] дағықтыларына бәнзәр харабалыглардан башга, бир сакини белә галмаға гојмады. Сонра Бабәккін пешман олмуш әсир кими буховларда кәтирди).

Сокуичу бејтләрдә исә Афшинин Бизанс гошунларыны бөјүк мәрлубијәтә дүчар етмәсі тәсвир слүнмушdur.

Әл-Һүсејн ибн әд-Дәһhак Амуриjjә нағиселәрилә әлагәдар, хәлифә Әл-Мү'тәсимә յаздығы башга бир ғәсидәсіндә дә Хүррәмиләр һәрәкатына тохунмушdur. Шаирин диванында һәмин ғәсидәнин յалныз ики бејти верилмишdir. Һалбуки, Әл-Мәс'уди бу ғәсидәнин узун олдуғуну гејд едерәк, ондан дәрд бејт мисал кәтирмишdir ки, бүнлардан ахырынчысы көтүрдүйүмүз мөвзү илә бағылдыр:

يا رب قد أملك من بايك فاجعل لتوقيهم العقبى
(Ja rabb, artyg сән Бабәккі арадан галдырыдын, онларын Феофили¹⁴ үчүн дә белә агибәт гисмет елә).

Бурада шаирин, Хүррәмиләр һәрәкатыны Бизанс кими гүдрәтли бир дөвләтин башладығы мұнарибә илә мұғајисә етмәсі айлын нәзәрә чарпыр. Бу исә һәмин үсјана хилафәтдә чох чидди мұнасибәт бәсләндирини парлаг сурәтдә ифадә едир.

Дөврүнүн тақыныш шаирләриндән олан Эли ибн Әл-Чәһим (804—863) дә хәлифә әл-Мү'тәсимә һәср етдиң мәднијәләриндән биригүдә Бабәккін айнын чәкмишdir. Әл-Мү'тәсимин ислам дининин мәнкәмләнмәсін үргүнда көстәрдији хидмәтләрини садалајаркән шаир

¹⁰ Бах: Әт-Тәбәри, IX, сәh. 53.

راغب الأصفهان، كتاب محاضرات الأدباء ومحاورات الشعراء والبلغاء، بيروت

¹¹ ١٩٦١، ح ٣، ص ٩٩

¹² 838-чи илдә Бизанс һөкмдары Феофил 100 минилік гошунла хилафәт үзәринә үткүм етмиш вә Афшин 30 минилік гошунла бизанслыларын әсас гүввәләрни бөјүк мәглубијәтә угратмышдыр. 22 июл 838-чи илдә Афшинин иштиракы илә Феофилин мәнкәмләндириламиш Амуриjjә галасы әрәбләр тәрәфиндән алымышдыр.

¹³ أشعار الخليع الحسين بن الصحاح، عبدالستار احمد فراج، بيروت ١٩٦٠، ج ١، ص ٩٩

¹⁴ Јенә орада, сәh. 24.

Абд ил-Малик аз-Зайят, Ибрахим ибн ал-Махли и др.) и даже сам халиф ал-Мутасим посвятили этому событию немало касыл. В статье показано, что все авторы видели в движении хуррамитов грозную опасность для арабской империи.

Е. З. Азизов

Reflection of the Khurrami movement on Arabian poetry of the 9th century

SUMMARY

The greatest action of the Azerbaijan people against Arabian invaders was the Khurrami movement. This movement exerted great influence on the political and economical life of the caliphate, and retained deep tracks on social thoughts of the caliphate.

In this article the poems of the outstanding arabian poets and political figures of the 9th century connected with this theme are considered.

МҮНДӘРИЧАТ

Ријазијјат

- Н. Т. Аббасов. Чәбрләр үзәриндә биквазисадә фундаментал ғәзәлар
 А. И. Вабов. Адамар борабәрсизліјү үмумиләшдирмәси үзә
 С. Ж. Ағакишиев. М' чохлугунун синиғләрә 7 графының 3-ком-
 понентләринин тапылмасы үсулу илә бөлүмәси
 Т. М. Сафаров. Үмумиләшмиш Дирихле сыралары үчүн галыгы
 комплекс Таубер теоремләри
 З. Һ. Кәримов вә С. А. Бағыров. Механики өтүрмәләрин опти-
 маль конструкция едилемәснәндә һәндеси програмлашдырма методунун тәтбиғи

Физика

- Г. А. Ахуидов, В. М. Салманов, І. П. Шаронов. GaSe вә
 InSe кристалларында лазер шүаларының тә'сири илә «дәјишидирмәк» эффекти

Полимерләр кимјасы

- С. М. Элијев, В. Б. Һусејнов, М. А. Агајева, А. А. Сәр-
 кисјан, А. Г. Фәтуллајев. Олигобутадијенстиролун термики поли-
 мерләшмәси

Кимја

- М. А. Шаһкәлдијев, Р. М. Шамхалов, Е. А. Казымов.
 Ароматик карбонидрокенеләрин тенклөхексенлә алкилләшмәснәндән алышан мән-
 сулларын тәркиби һаггында

Гејри-үзви кимја

- П. Н. Рустамов, В. Б. Черствова, Г. Г. Һусејнов.
 PrBIS₃ вә GbBIS₃ бирләшмәләринин синтези

Кимја

- С. М. Элијев, Н. И. Һусејнов, Р. И. Һусејнов. Изопропе-
 нилстиrol илә акрилонитрилин биркә олигомерләшмәси

Кеолокија

- Г. Э. Элизадә, Х. С. Чабаров. Палинолокија тәдгигатына әса-
 сән Азәрбајчанын шимал-гәрб һиссесиндәki агчакил чөкүнтуләринин биткиләри
 һаггында мә'лumat

Нефткеолокијасы

- Ә. Э. Элизадә, П. А. Шохет. Азәрбајчан дәниз саһеләри үст
 плюсен чөкүнтуләринин ана нефтлилк хүсусијәтләринин гијмәтләндирilmәснә
 дайр

Литолокија

- Ә. Ч. Султанов, Х. М. Шејдајева-Гулијев. Боздағы
 (Азәрбајчан) Абшерон чөкүнтуләринин литологи вә фаунистик характеристикасы

3
7
9
12
16

21
23
28

33
38

42
46

50
91

Кеолокија	
Д. М. Данилевскаја, И. Л. Расулов. Базис сэтләринин анализи иетичесинде јени тектоник һәрәкәтләрни бә'зи хүсусијәтләринин мүэйjen едилмәси (Бөјүк Гафгазын чәнуб јамачынын дагъаны зоналары)	52
М. Э. Гашгай, Э. А. Мәгреби, Э. И. Алланјаров, Б. Н. Эфәидиев. Кичик Гафгазын мәркәзи иңссесиндеки Aggra чиңәјатагы нағында	58
Кеоботаника	
А. Х. Дәтифова, В. И. Василjeвич. Биткилијин мезорелјеф элементләрилә әлагәсинин мигдарча гијметләндирilmәси	65
Агроглимшұнаслыг	
Б. Н. Мәммәдов. Түтүн биткисинин биометрик режими	69
Торпагшұнаслыг	
С. А. Гурбапов. Іералты сұларын ентијатынын Азәрбајҹан ССР Чәнуби Муган торпагларында дәјишилмәси	73
Паразитолокија	
Л. В. Мултарскаја, З. Ф. Вердијева. <i>Microtrombicula traubii</i> (<i>Acariformis, Trombiculida</i>) көнөлоринин Азәрбајчанда јени нөвү	77
Тиbb	
Ф. М. Мирсәлимов, Р. Э. Нүсејнова, С. Б. Сүлејманова, В. И. Исмаилов. Кортизонун узун мүддәт инјексијасындан вә адреналектомијадан соңра бөйрәкстү вәзидә кедән функционал вә морфологи дәјишиллекләр нағында	81
Әдәбијат тарихи	
Е. З. Эзизов. Хүррәмиләр һәрәкатынын IX эср әрәб поезијасында экси	85

СОДЕРЖАНИЕ

Математика

Н. Т. Аббасов. Пространства над алгебрами с биквазипростыми фундаментальными группами	3
А. И. Вагабов. Об обобщении неравенства Адамара	7
С. Я. Агакишиева. Разбиение множества M на классы методом нахождения 3-компонент графа L	9
Т. М. Сафаров. Комплексные тауберовы теоремы с остаточным членом для общих рядов Дирихле	12
З. Г. Керимов, С. А. Багиров. Применение метода геометрического программирования при оптимальном конструировании механических передач	16

Физика

Г. А. Ахундов, В. М. Салманов, Ю. П. Шаронов. Эффект переключения в селенидах галлия и индия под действием лазерного излучения	21
--	----

Химия полимеров

С. М. Алиев, В. Б. Гусейнов, М. А. Агаева, А. А. Саркисян, А. К. Фатуллаева. Термическая полимеризация олигобутадиенстироволов	23
--	----

Химия

М. А. Шахгельдиев, Р. М. Шамхалов, Э. А. Кязимов. О составе продуктов алкилирования ароматических углеводородов циклогексеном	28
---	----

Неорганическая химия

П. Г. Рустамов, В. Б. Черствова, Г. Г. Гусейнов. Синтез соединений PrBiS_3 и GdBiS_3	33
--	----

Химия

С. М. Алиев, Н. И. Гусейнов, Р. И. Гусейнов. Соолигомеризация изопропенилстирова акрилонитрилом	38
---	----

Геология

К. А. Ализаде, Х. С. Джабарова. Новые данные о флоре акчагыльских отложений в северо-западной части Азербайджана по данным палинологии	42
--	----

Геология нефти

Академик А. А. Ализаде, П. А. Шойхет. К оценке нефтематериальных свойств верхнеплиоценовых отложений морских площадей Азербайджана	46
--	----

Литология

Академик А. Д. Султанов, Х. М. Шейдаева-Кулиева. О литофациальной и фаунистической характеристикае аштеронского яруса г. Боздаг (Азербайджан)	50
---	----

Геология

Д. М. Данилевская, Г. Л. Расулов. Выявление некоторых особенностей
--

стей новейших движений путем анализа базисных поверхностей (предгорные зоны южного склона Большого Кавказа)

Академик М. А. Кашкай, А. А. Магриби, А. Г. Аллахяров, Б. Н. Эфендиев. Об агакинском месторождении ртути в центральной части Малого Кавказа

Геоботаника

- А. Х. Лятифова, В. И. Василевич. Количественная оценка связи растительности субальпийского луга с элементами мезорельефа 52

Агроклиматология

- Б. Г. Мамедов. Биометрическая характеристика культуры табака 65

Почвоведение

- С. А. Курбанов. Изменения запасов воды в грунтах Южной Мугани Азербайджанской ССР 69

Паразитология

- Л. В. Мулярская, З. Ф. Вердиева. Новый вид тромбikuлиды *Microtrombicula traubii* (Acariformes, Trombiculidae) из Азербайджана 73

Медицина

- Ф. М. Мирсалимов, Р. А. Гусейнова, С. Б. Сулейманова, В. И. Исмайлова. О функциональных и морфологических изменениях в надпочечной железе после длительного введения кортизона и адреналектомии 77

История литературы

- Э. З. Азизов. Отражение движения хуррамитов в арабской поэзии IX в. 81

81

58

65

69

73

77

81

85

Сдано в набор 4/I 1974 г. Подписано к печати 8/IV 1974 г. Формат бумаги 70×108¹/₁₆.
Бум. лист. 3,00. Печ. лист 8,22. Уч.-изд. лист. 6,8. ФГ 05533. Заказ 8.
Тираж 760. Цена 40 коп.

Типография „Красный Восток“ Государственного комитета Совета
Министров Азербайджанской ССР по делам издательств,
полиграфии и книжной торговли. Баку, Ази Асланова, 80.

ПРАВИЛА ДЛЯ АВТОРОВ

1. В «Докладах Академии наук Азербайджанской ССР» помещаются краткие сообщения, содержащие законченные, еще не опубликованные результаты научных исследований, имеющих теоретическое или практическое значение.

В «Докладах» не публикуются крупные статьи, механически разделенные на ряд отдельных сообщений, статьи полемического характера без новых фактических данных, статьи с описанием промежуточных опытов без определенных выводов и обобщений, работы непринципиальные, описательного или обзорного характера, чисто методические статьи, если предлагаемый метод не является принципиально новым, а также статьи по систематике растений и животных (за исключением описания особо интересных для науки находок).

Статьи, помещаемые в «Докладах», не лишают автора права последующей публикации того же сообщения в развернутом виде в других изданиях.

2. Поступающие в «Доклады» статьи рассматриваются Редакционной коллегией только после представления их академиком по специальности. Каждый академик может представить не более 5-ти статей в год.

Статьи членов-корреспондентов Академии наук Азербайджанской ССР принимаются без представления.

Редакция просит академиков при представлении статьи указывать дату получения ее от автора, а также наименование раздела, в котором статья должна быть помещена.

3. В «Докладах» публикуется не более трех статей одного автора в год.

4. В «Докладах» помещаются статьи, занимающие не более четверти авторского листа — около 6—7 страниц машинописи (10 000 печатных знаков), включая рисунки.

5. Все статьи должны иметь резюме на английском языке; кроме того, статьи, написанные на азербайджанском языке, должны иметь: резюме на русском языке и наоборот.

6. В конце статьи должны быть указаны название научного учреждения, в котором выполнена работа, и номер телефона автора.

7. Опубликование результатов работ, проведенных в научных учреждениях должно быть разрешено дирекцией научного учреждения.

8. Статьи (включая и резюме), должны быть напечатаны на машинке через два интервала, на одной стороне листа и представляются в двух экземплярах. Формулы должны быть вписаны четко и ясно, при этом прописные буквы должны быть подчеркнуты (черным карандашом) двумя черточками снизу, а строчные — сверху, буквы греческого алфавита надо обводить красным карандашом.

9. Цитируемая в статье литература должна приводиться не в виде подстрочных сносок, а общим списком (вподбор), в алфавитном порядке (по фамилии автора), в конце статьи с обозначением ссылки в тексте порядковой цифрой. Список литературы должен быть оформлен следующим образом:

а) для книг: фамилия и инициалы автора, полное название книги, номер тома, город, издательство и год издания;

б) для статей в сборниках (трудах): фамилия и инициалы автора, название статьи, название сборника (трудов), том, выпуск, место издания, издательство, год, страница;

в) для журнальных статей: фамилия и инициалы автора, название статьи, название журнала, год, том, номер, (выпуск), страница.

Ссылки на неопубликованные работы не допускаются (за исключением отчетов и диссертаций, хранящихся в научных учреждениях).

10. На обороте рисунков должны быть указаны фамилия автора, название статьи и номер рисунка. Отпечатанные на машинке подписи к рисункам представляются на отдельном листе.

11. Авторы статей должны указывать индекс статьи по Унифицированной десятичной классификации (УДК) и прилагать реферат для «Реферативного журнала».

12. Авторы должны избегать повторения одинаковых данных в таблицах, графиках и в тексте статьи.

Ввиду небольшого объема статей выводы помещаются лишь в необходимых случаях.

13. В случае представления двух или более статей одновременно необходимо указывать желательный порядок их помещения.

14. Корректура статей авторам как правило не посыпается. В случае посылки корректуры допускается лишь исправление ошибок типографии.

15. Редакция выдает автору бесплатно 15 отдельных оттисков статьи.

Индекс
76355

40 гэн.
коп.